

**В.В.Обуховський**

**Збірка задач  
для контрольних робіт  
з електродинаміки**



**Видавництво Київського національного університету  
імені Тараса Шевченка**

**Київ - 2003**



Б.В.Обуховський

Збірка задач  
для контрольних робіт  
з електродинаміки

**Видавництво Київського національного університету  
імені Тараса Шевченка**

**Київ - 2003**

## З м і с т

Передмова . . . . .	6
§1 Математичний апарат електродинаміки . . . . .	7
§1.1 Умови задач . . . . .	17
§2 Електростатика . . . . .	25
§2.1 Умови задач. . . . .	30
§3 Магнетостатика . . . . .	39
§3.1 Умови задач. . . . .	44
§4 Електромагнітні властивості речовин. . . . .	54
§4.1 Умови задач. . . . .	61
§5 Поширення електромагнітних хвиль . . . . .	71
§5.1 Умови задач. . . . .	80
§6 Інтерференція та дифракція та електромагнітних хвиль . . . . .	87
§6.1 Умови задач . . . . .	92
§7 Випромінювання електромагнітних хвиль . . . . .	102
§7.1 Умови задач . . . . .	108
§8 Випромінювання антен. . . . .	119
§8.1 Умови задач. . . . .	123
Додатки . . . . .	
А Дельта-функція та її властивості . . . . .	131
Б Теорія лишків . . . . .	135
В Інтеграли Френеля . . . . .	139
Г Пуассонівські інтеграли . . . . .	142
Д Деякі означені інтеграли. . . . .	144
Е Розклад Фур'є . . . . .	146
Ж Одиниці вимірів та фізичні константи.	149
Література . . . . .	153

## Передмова

Ця збірка включає в себе задачі, які призначені для закріплення теоретичного матеріалу з курсу Класичної електродинаміки. За основу взято завдання, які на протязі багатьох років використовувались автором на радіофізичному факультеті Київського національного університету імені Тараса Шевченка при проведенні практичних занять з електродинаміки. Частина задач відноситься до традиційного типу, а частина є оригінальною. До збірки також включено довідковий і теоретичний матеріал.

Звичайно, в кожному університеті в залежності від наявності тих чи інших кафедр є специфічні потреби в практичному опанування конкретних розділів електродинаміки. При цьому курси різних викладачів відрізняються розстановкою акцентів. В процесі відбору задач автор також не зміг цього уникнути, тому в збірці є частина матеріалу (наприклад, задачі по дифракції випромінювання в гаусівських системах), яка потребує вивчення спеціальних методів.

Нумерація задач в межах кожного параграфа ведеться окремо. Номери формул теоретичної частини починаються із номера розділу, а формули доданків – із відповідної літери.

Автор щиро дякує В.В.Лемешко, В.М.Нечаєву, Н.Л.Сітнікову, Л.Ф.Михайлена, за терпіння і велику роботу.

Київ, 2003 р.

## §1. Математичний апарат електродинаміки.

**1. Скалярним добутком векторів**

$$\vec{A} = \vec{i} A_x + \vec{j} A_y + \vec{k} A_z; \quad \vec{B} = \vec{i} B_x + \vec{j} B_y + \vec{k} B_z \quad (1.1)$$

(де  $\vec{i}$ ,  $\vec{j}$  і  $\vec{k}$  – одиничні вектори по осях координат  $X, Y, Z$ ) називається скаляр, що дорівнює

$$(\vec{A}\vec{B}) = \vec{A}\vec{B} = \vec{B}\vec{A} = A_x B_x + A_y B_y + A_z B_z. \quad (1.2)$$

**2. Векторним добутком векторів  $\vec{A}$  і  $\vec{B}$  називається вектор  $\vec{C}$ , який напрямлено по перпендикуляру до площини, що містить  $\vec{A}$  і  $\vec{B}$ , а за абсолютною величиною дорівнює площі паралелограма, побудованого на цих векторах:**

$$\begin{aligned} \vec{C} = [\vec{A}\vec{B}] &= \begin{vmatrix} \vec{i} & \vec{j} & \vec{k} \\ A_x & A_y & A_z \\ B_x & B_y & B_z \end{vmatrix} = \\ &= (A_y B_z - A_z B_y) \vec{i} + (A_z B_x - A_x B_z) \vec{j} + (A_x B_y - A_y B_x) \vec{k}; \end{aligned} \quad (1.3.a)$$

Довжина вектора  $C$ :

$$|\vec{C}| = |[\vec{A}\vec{B}]| = AB \sin(\vec{A}, \vec{B}). \quad (1.3.b)$$

Напрям вектора  $\vec{C} = [\vec{A}\vec{B}]$  визначається вимогою, щоб вектори  $\vec{A}$ ,  $\vec{B}$  і  $\vec{C}$  утворювали правогвинтову систему. Властивість векторного добутку:

$$[\vec{A}\vec{B}] = -[\vec{B}\vec{A}] \quad (1.3.b)$$

**3.** Змішаним добутком векторів  $\vec{A}$ ,  $\vec{B}$  і  $\vec{C}$  називається скаляр, що чисельно дорівнює об'єму паралелепіпеда, побудованого на цих векторах:

$$[\vec{A} [\vec{B} \vec{C}]] = [\vec{B} [\vec{C} \vec{A}]] = [\vec{C} [\vec{A} \vec{B}]] \quad (1.4)$$

**4. Подвійний векторний добуток векторів  $\vec{A}$ ,  $\vec{B}$  і  $\vec{C}$  :**

$$[\vec{A} [\vec{B} \vec{C}]] = \vec{B} (\vec{A} \vec{C}) - \vec{C} (\vec{A} \vec{B}). \quad (1.5)$$

**5. Оператор “набла”** (вектор)

$$\nabla = \vec{i} \frac{\partial}{\partial x} + \vec{j} \frac{\partial}{\partial y} + \vec{k} \frac{\partial}{\partial z}. \quad (1.6)$$

**6. Градієнт** функції  $\varphi$  є вектор, що напрямлений в бік зростання функції і дорівнює

$$\text{grad } \varphi = \nabla \varphi = \vec{i} \frac{\partial \varphi}{\partial x} + \vec{j} \frac{\partial \varphi}{\partial y} + \vec{k} \frac{\partial \varphi}{\partial z}, \quad (1.7)$$

**7. Дивергенція** вектора  $\vec{A}$  (в декартових координатах) :

$$\text{div } \vec{A} = (\nabla \cdot \vec{A}) = \frac{\partial A_x}{\partial x} + \frac{\partial A_y}{\partial y} + \frac{\partial A_z}{\partial z}. \quad (1.8)$$

**8. Ротор (вихор)** вектора (в декартових координатах) :

$$[\nabla \times \vec{A}] = \text{rot } \vec{A} = \begin{vmatrix} \vec{i} & \vec{j} & \vec{k} \\ \frac{\partial}{\partial x} & \frac{\partial}{\partial y} & \frac{\partial}{\partial z} \\ A_x & A_y & A_z \end{vmatrix}. \quad (1.9)$$

**9. Оператор Лапласа (лапласіан)** в декартових координатах :

$$\Delta \equiv \frac{\partial^2}{\partial x^2} + \frac{\partial^2}{\partial y^2} + \frac{\partial^2}{\partial z^2} \quad (1.10)$$

**Лапласіан** скалярної функції  $f$  (в декартових координатах):

$$\Delta f = \frac{\partial^2 f}{\partial x^2} + \frac{\partial^2 f}{\partial y^2} + \frac{\partial^2 f}{\partial z^2}. \quad (1.11)$$

**10.** Деякі диференційні співвідношення:

$$\begin{aligned} \operatorname{div} \operatorname{grad} f &\equiv \nabla^2 f \equiv \Delta f; \\ \operatorname{rot} \operatorname{grad} f &\equiv [\nabla (\nabla f)] \equiv 0; \\ \operatorname{div} \operatorname{rot} \vec{A} &\equiv \Delta [\nabla \vec{A}] \equiv 0; \\ \operatorname{rot} \operatorname{rot} \vec{A} &\equiv [\nabla [\nabla \vec{A}]] \equiv \operatorname{grad} \operatorname{div} \vec{A} - \Delta \vec{A}; \\ \operatorname{div} [\vec{A} \vec{B}] &\equiv \vec{B} \operatorname{rot} \vec{A} - \vec{A} \operatorname{rot} \vec{B}. \end{aligned} \quad (1.12)$$

**11. Теорема Остроградського-Гауса**

$$\int_V \operatorname{div} \vec{A} dV = \oint_S \vec{A} d\vec{S}. \quad (1.13)$$

Тут  $dS$  – елемент замкненої поверхні  $S$ , що обмежує об'єм  $V$ . Вектор  $d\vec{S}$ , напрямлений вздовж зовнішньої нормалі до поверхні.

**12. Теорема Стокса**

$$\int_S \operatorname{rot} \vec{A} \cdot d\vec{S} = \oint_L \vec{A} d\vec{l}, \quad (1.14)$$

Тут  $dl$  – елемент замкненого контуру  $L$ , що обмежує поверхню  $S$ . Напрям обходу контуру  $L$  утворює із напрямом елемента поверхні інтегрування  $d\vec{S}$  правогвинтову систему. Інтеграл  $\oint_L \vec{A} d\vec{l}$  називається *циркуляцією* вектора  $\vec{A}$  по контуру  $L$ .

### 1 Криволінійні координати

В довільній ортогональній системі координат  $q_1, q_2, q_3$  квадрат елемента довжини визначається як

$$dl^2 = h_1^2 dq_1^2 + h_2^2 dq_2^2 + h_3^2 dq_3^2, \quad (1.15)$$

а елемент об'єму

$$dV = h_1 h_2 h_3 dq_1 dq_2 dq_3, \quad (1.16)$$

Вище використано такі означення для коефіцієнтів Ламе

$$h_i = \sqrt{\left(\frac{\partial x}{\partial q_i}\right)^2 + \left(\frac{\partial y}{\partial q_i}\right)^2 + \left(\frac{\partial z}{\partial q_i}\right)^2} \quad (1.17)$$

(останні можуть бути функціями координат).

Диференціальні операції в довільній системі криволінійних координат :

- **градієнт**

$$(grad \varphi)_i = \frac{1}{h_i} \frac{\partial \varphi}{\partial q_i}, \quad (1.18)$$

- **дивергенція**

$$div \vec{A} = \frac{1}{h_1 h_2 h_3} \left[ \frac{\partial}{\partial q_1} (h_2 h_3 A_1) + \frac{\partial}{\partial q_2} (h_1 h_3 A_2) + \frac{\partial}{\partial q_3} (h_1 h_2 A_3) \right] \quad (1.19)$$

- **ротор**

$$rot \vec{A} = \begin{vmatrix} \frac{e_1}{h_2 h_3} & \frac{e_2}{h_1 h_3} & \frac{e_3}{h_1 h_2} \\ \frac{\partial}{\partial q_1} & \frac{\partial}{\partial q_2} & \frac{\partial}{\partial q_3} \\ h_1 A_1 & h_2 A_2 & h_3 A_3 \end{vmatrix}; \quad (1.20)$$

- **лапласіан (оператор Лапласа)**

$$\Delta \varphi = \frac{1}{h_1 h_2 h_3} \left[ \frac{\partial}{\partial q_1} \left( \frac{h_2 h_3}{h_1} \frac{\partial \varphi}{\partial q_1} \right) + \frac{\partial}{\partial q_2} \left( \frac{h_1 h_3}{h_2} \frac{\partial \varphi}{\partial q_2} \right) + \frac{\partial}{\partial q_3} \left( \frac{h_1 h_2}{h_3} \frac{\partial \varphi}{\partial q_3} \right) \right] \quad (1.21)$$

Нижче наводяться для довідок вирази для диференціальних операторів в двох найбільш уживаних системах координат – сферичній і циліндричній.

• **Сферична система координат:**

$$x = r \sin \vartheta \cos \alpha, y = r \sin \vartheta \sin \alpha, z = r \cos \vartheta; \quad (1.22)$$

$$h_r = l, h_\vartheta = r, h_\alpha = r \sin \vartheta; \quad (1.23)$$

$$\text{grad } \varphi = \vec{e}_r \frac{\partial \varphi}{\partial r} + \frac{\vec{e}_\vartheta}{r} \frac{\partial \varphi}{\partial \vartheta} + \frac{\vec{e}_\alpha}{r \sin \alpha} \frac{\partial \varphi}{\partial \alpha}; \quad (1.24)$$

$$\text{div } \vec{A} = \frac{1}{r^2} \frac{\partial}{\partial r} (r^2 A_r) + \frac{1}{r \sin \vartheta} \frac{\partial}{\partial \vartheta} (A_\vartheta \sin \vartheta) + \frac{1}{r \sin \vartheta} \frac{\partial A_\alpha}{\partial \alpha}; \quad (1.25)$$

$$(\text{rot } \vec{A})_r = \frac{1}{r \sin \vartheta} \left[ \frac{\partial}{\partial \vartheta} (A_\alpha \sin \vartheta) - \frac{\partial A_\vartheta}{\partial \alpha} \right]; \quad (1.26)$$

$$(\text{rot } \vec{A})_\vartheta = \frac{1}{r \sin \vartheta} \frac{\partial A_r}{\partial \alpha} - \frac{1}{r} \frac{\partial (r A_\alpha)}{\partial r}; \quad (1.27)$$

$$(\text{rot } \vec{A})_\alpha = \frac{1}{r} \frac{\partial (r A_\vartheta)}{\partial r} - \frac{1}{r} \frac{\partial A_r}{\partial \vartheta}; \quad (1.28)$$

$$\Delta \varphi = \frac{1}{r^2} \frac{\partial}{\partial r} \left( r^2 \frac{\partial \varphi}{\partial r} \right) + \frac{1}{r^2 \sin \vartheta} \frac{\partial}{\partial \vartheta} \left( \sin \vartheta \frac{\partial \varphi}{\partial \vartheta} \right) + \frac{1}{r^2 \sin^2 \vartheta} \frac{\partial^2 \varphi}{\partial \alpha^2}. \quad (1.29)$$

• **Циліндрична система координат:**

$$x = r \cos \alpha, \quad y = r \sin \alpha, \quad z = z; \quad (1.30)$$

$$h_r = 1, \quad h_\alpha = r, \quad h_z = 1; \quad (1.31)$$

$$\text{grad } \varphi = \vec{e}_r \frac{\partial \varphi}{\partial r} + \frac{\vec{e}_\alpha}{r} \frac{\partial \varphi}{\partial \alpha} + \vec{e}_z \frac{\partial \varphi}{\partial z}; \quad (1.32)$$

$$\text{div } \vec{A} = \frac{1}{r} \frac{\partial}{\partial r} (r A_r) + \frac{1}{r} \frac{\partial A_\alpha}{\partial \alpha} + \frac{1}{r} \frac{\partial A_z}{\partial z}; \quad (1.33)$$

$$(\text{rot } \vec{A})_r = \frac{1}{r} \frac{\partial A_z}{\partial \alpha} - \frac{\partial A_\alpha}{\partial z}; \quad (1.34)$$

$$(\text{rot } \vec{A})_\alpha = \frac{\partial A_z}{\partial z} - \frac{\partial A_z}{\partial r}; \quad (1.35)$$

$$(\text{rot } \vec{A})_z = \frac{1}{r} \frac{\partial}{\partial r} (r A_\alpha) - \frac{1}{r} \frac{\partial A_\alpha}{\partial \alpha}; \quad (1.36)$$

$$\Delta \varphi = \frac{1}{r} \frac{\partial}{\partial r} \left( r \frac{\partial \varphi}{\partial r} \right) + \frac{1}{r^2} \frac{\partial^2 \varphi}{\partial \alpha^2} + \frac{\partial^2 \varphi}{\partial z^2} \quad (1.37)$$

Інші системи криволінійних координат (еліпсоїдальні, тороїдальні та ін.) розглянуто в [13-14].

### *Матриці і тензори*

Сукупність чисел  $a_\alpha$

$$\begin{pmatrix} a_{11} & a_{12} & a_{13} \\ a_{21} & a_{22} & a_{23} \\ a_{31} & a_{32} & a_{33} \end{pmatrix} = \hat{a} \quad (1.38)$$

зветься **матрицею**  $\hat{a}$ , а самі числа  $a_\alpha$  – **елементами матриці**.

**Транспонована матриця**  $\hat{a}^\tau$  може бути знайдена із основної  $\hat{a}$  шляхом заміни рядків на стовпчики

$$a_{\alpha\beta}^\tau = a_{\beta\alpha}. \quad (1.39)$$

**Добутком**  $\hat{a}\hat{b}$  двох матриць  $\hat{a}$  і  $\hat{b}$  зветься матриця  $\hat{c}$ , що визначається співвідношенням:

$$c_{\alpha\beta} = a_{\alpha\gamma} b_{\gamma\beta}. \quad (1.40)$$

**Комутуючі** матриці задовольняють співвідношенню:

$$\hat{a}\hat{b} = \hat{b}\hat{a}, \quad (1.41)$$

**Символ Кронекера:**

$$\delta_{\alpha\beta} = \begin{cases} 1 & \text{при } \alpha = \beta, \\ 0 & \text{при } \alpha \neq \beta. \end{cases} \quad (1.42)$$

**Визначник матриці третього порядку:**

$$\begin{aligned}
|\hat{a}| &= \begin{vmatrix} a_{11} & a_{12} & a_{13} \\ a_{21} & a_{22} & a_{23} \\ a_{31} & a_{32} & a_{33} \end{vmatrix} = \\
&= a_{11} \begin{vmatrix} a_{22} & a_{23} \\ a_{32} & a_{33} \end{vmatrix} - a_{21} \begin{vmatrix} a_{12} & a_{13} \\ a_{32} & a_{33} \end{vmatrix} + a_{31} \begin{vmatrix} a_{12} & a_{13} \\ a_{22} & a_{23} \end{vmatrix} = \quad (1.43) \\
&= a_{11}a_{22}a_{33} + a_{12}a_{22}a_{33} + a_{11}a_{23}a_{31} + a_{21}a_{32}a_{13} - \\
&\quad - a_{13}a_{22}a_{31} - a_{12}a_{21}a_{33} - a_{23}a_{32}a_{11}.
\end{aligned}$$

**Зворотна матриця:**

$$\hat{a}^{-1} \hat{a} = \hat{a} \hat{a}^{-1} = \hat{I}, \quad (1.44)$$

$$a_{\alpha\gamma}^{-1} a_{\gamma\beta} = a_{\alpha\gamma} a_{\gamma\beta}^{-1} = \delta_{\alpha\beta}. \quad (1.45)$$

Матричні елементи зворотної матриці  $\hat{a}^{-1}$  можуть бути знайдені за правилом:

$$a_{\alpha\beta}^{-1} = \frac{A_{\beta\alpha}}{|\hat{a}|}, \quad (1.46)$$

Тут  $A_{\beta\alpha}$  – алгебраїчний додаток визначника матриці (1.38) по відношенню до елемента  $a_{\beta\alpha}$ . Зворотна матриця існує, якщо визначник  $|\hat{a}| \neq 0$ .

**Симетрична** матриця  $\hat{s}$  має властивість:

$$s_{\alpha\beta} = s_{\beta\alpha}, \quad (1.47)$$

**Антисиметрична** матриця  $\hat{a}$  має властивість:

$$a_{\alpha\beta} = -a_{\beta\alpha}. \quad (1.48)$$

Довільну квадратну матрицю  $\hat{b}$  можна подати у вигляді суми симетричної і антисиметричної частин:

$$\hat{b} = \hat{s} + \hat{a}, \quad (1.49)$$

де

$$\hat{s} = \frac{1}{2}(\hat{b} + \hat{b}^\tau), \quad \hat{a} = \frac{1}{2}(\hat{b} - \hat{b}^\tau). \quad (1.50)$$

Операції повороту, відбиття, інверсії описуються *лінійним перетворенням*:

$$x'_\alpha = \sum_\beta a_{\alpha\beta} x_\beta, \quad (1.51)$$

де  $x'_\alpha$  – компоненти вектору після перетворення, а матричні елементи  $a_{\alpha\beta}$  являють собою косинуси кутів між осями вихідної і оберненої систем координат (декартових).

Лінійне перетворення координат вигляду (1.51) звєтється *ортогональним*, якщо коефіцієнти  $a_{\alpha\beta}$  задовольняють умові:

$$a_{\alpha\beta}^{-1} = a_{\beta\alpha}. \quad (1.52)$$

Вектором  $\vec{A}$  звєтється сукупність величин  $A_\alpha$ , які при ортогональному перетворенні координат змінюються за законом:

$$A'_\alpha = a_{\alpha\beta} A_\beta, \quad (1.53)$$

Тут величини  $A'_\alpha$ , являють собою компоненти вектору в штрихованій системі координат. По повторюючимся індексам розуміється операція підсумовування, а знак суми при цьому може не писатися.

Тензор другого рангу при ортогональному перетворенні координат змінюється за законом:

$$T'_{\alpha\beta} = a_{\alpha\gamma} a_{\beta\delta} T_{\gamma\delta}, \quad (1.54)$$

де  $T'_{\alpha\beta}$  – компоненти того ж тензору в штрихованій координатній системі

Закон перетворення компонент тензору третього рангу має такий вигляд:

$$T'_{\alpha\beta\gamma} = a_{\alpha\delta} a_{\beta\sigma} a_{\gamma\rho} T_{\delta\sigma\rho}. \quad (1.55)$$

Ортогональне перетворення координат, що полягає в одночасній зміні знаків усіх координат, звється *інверсією*. Оператор інверсії:

$$\hat{I} = \begin{pmatrix} -1 & 0 & 0 \\ 0 & -1 & 0 \\ 0 & 0 & -1 \end{pmatrix} \quad (1.56)$$

або  $I_{\alpha\beta} = -\delta_{\alpha\beta}$ . Після інверсії права система координат змінюється на ліву.

Якщо однокомпонентна величина не змінює свій знак при інверсії, тобто

$$\hat{I}\varphi(\vec{r}) = +\varphi(\vec{r}) \quad (1.57)$$

то вона звється *скаляром*. Якщо однокомпонентна величина змінює свій знак при інверсії

$$\hat{I}\varphi(\vec{r}) = -\varphi(\vec{r}) \quad (1.58)$$

то вона звється *псевдоскаляром*.

*Полярний вектор*  $\vec{p}$  при інверсії змінює знак, а *аксіальний вектор*  $\vec{A}$  – ні.

$$\hat{I}\vec{p}(\vec{r}) = -\vec{p}(\vec{r}) \quad (1.59)$$

$$\hat{I}\vec{A}(\vec{r}) = +\vec{A}(\vec{r}) \quad (1.60)$$

Внаслідок скалярного добутку тензору  $T_{\alpha\beta}$  на вектор  $A_\beta$  утворюється інший вектор

$$B_\alpha = T_{\alpha\beta} A_\beta \quad (1.61)$$

Цю операцію звуть також *згорткою*.

Абсолютно антисиметричним одиничним (псевдо)тензором третього рангу звється сукупність величин  $e_{\alpha\beta\gamma}$ , що змінюють знак при перестановці будь-яких двох індексів. Зрозуміло, що при цьому будуть відмінні від нуля лише ті компоненти цього тензора, у яких

індекси  $\alpha$ ,  $\beta$  і  $\gamma$  відмінні між собою. Наприклад,  $e_{123} = 1$ , а інші відмінні від нуля компоненти дорівнюють 1 або  $-1$ , зважаючи на те, парне чи непарне число утворюють перестановки індексів 123.

Зазначимо деякі властивості згорток абсолютно антисиметричного тензору:

$$\begin{aligned} e_{\alpha\beta\gamma} e_{\alpha\beta\gamma} &= 6, \\ e_{\alpha\beta\gamma} e_{\lambda\beta\gamma} &= 2\delta_{\alpha\lambda}, \\ e_{\alpha\beta\gamma} e_{\lambda\mu\gamma} &= \delta_{\alpha\lambda} \delta_{\beta\mu} - \delta_{\alpha\mu} \delta_{\beta\lambda}, \\ e_{\alpha\beta\gamma} e_{\lambda\mu\nu} &= \begin{vmatrix} \delta_{\alpha\lambda} & \delta_{\alpha\mu} & \delta_{\alpha\nu} \\ \delta_{\beta\lambda} & \delta_{\beta\mu} & \delta_{\beta\nu} \\ \delta_{\gamma\lambda} & \delta_{\gamma\mu} & \delta_{\gamma\nu} \end{vmatrix}. \end{aligned} \quad (1.62)$$

За допомогою абсолютно антисиметричного тензору  $e_{\alpha\beta\gamma}$  векторний добуток можна записати у вигляді:

$$[\vec{a} \times \vec{b}]_a = e_{\alpha\beta\gamma} a_\beta b_\gamma. \quad (1.63)$$

Більш детальні відомості про вищезгаданий математичний апарат, що використовується в електродинамічних задачах, можна знайти в [1,4,6,8,14].

### §1.1. Математичний апарат електродинаміки. Умови задач.

**№ 100.** Знайти градієнт від функцій :

а)  $\varphi = (\vec{a} \cdot [\vec{b} \times \vec{r}])$ ,

б)  $\varphi = \frac{(\vec{a} \cdot \vec{r})}{|\vec{r}|^3}$ ,

в)  $\varphi = \operatorname{tg}((\vec{k} \cdot \vec{r})^2)$ ,

де  $\vec{a}, \vec{b}, \vec{k}$  – сталі вектори.

**№ 101.** Знайти дивергенцію від функцій:

а)  $\vec{A} = [\vec{a} \times \vec{r}]$ ,

б)  $\vec{A} = \vec{a}(\vec{b} \cdot \vec{r})$ ,

в)  $\vec{A} = [\vec{a} \times \vec{r}] \cdot \operatorname{tg}(\vec{k} \cdot \vec{r})$ ,

де  $\vec{a}, \vec{b}, \vec{k}$  - сталі вектори.

**№ 102.** Знайти ротор від функцій:

а)  $\vec{B} = [\vec{a} \times \vec{r}] \exp(-(\vec{b} \cdot \vec{r}))$ ,

б)  $\vec{B} = \vec{a}(\vec{b} \cdot \vec{r}) \operatorname{sh}(\vec{k} \cdot \vec{r})$ ,

в)  $\vec{B} = [\vec{a} \times \vec{r}] \cdot \operatorname{tg}(\vec{k} \cdot \vec{r})$ ,

де  $\vec{a}, \vec{b}, \vec{k}$  - сталі вектори.

**№ 103.** Знайти  $\Delta \vec{A}$  (лаплас) від функцій:

а)  $\vec{A} = \vec{r}(\vec{a} \cdot \vec{r})$ ,

б)  $\varphi = \frac{(\vec{a} \cdot \vec{r})}{|\vec{r}|}$ ,

в)  $\vec{A} = [\vec{a} \times \vec{r}] \cdot \cos(|\vec{a}| \cdot |\vec{r}|)$ ,

де  $\vec{a}, \vec{b}$  – сталі вектори.

**№ 104.** Знайти функції  $u(|\vec{r}|)$ , які залежать тільки від модуля  $|\vec{r}|$  і задовольняють умові  $\operatorname{div}(u(|\vec{r}|) \cdot \vec{r}) = 0$ .

**№ 105.** Знайти функції  $u(|\vec{r}|)$ , які залежать тільки від модуля  $|\vec{r}|$  і задовольняють умові  $\operatorname{rot}(u(|\vec{r}|) \cdot \vec{r}) = 0$ .

**№ 106.** Знайти дивергенцію та вихор таких векторів:

- а)  $[[\vec{a} \times \vec{r}] \times \vec{b}]$ ,
- б)  $\vec{r} \exp(\vec{a} \vec{r})$ ,
- в)  $[\vec{a} \times \vec{r}]$ ,
- г)  $(\vec{r})^2 [\vec{a} \times \vec{r}]$ ,
- д)  $[\vec{r} \times [\vec{a} \times \vec{r}]]$ .

**№ 107.** Виразити через елементарні похідні такі вирази

- а)  $\operatorname{grad}(\vec{r} \cdot [\vec{A}(\vec{r}) \times \vec{r}])$ ,
- б)  $\operatorname{grad}([\vec{A}(\vec{r}) \cdot \vec{B}(\vec{r})])$ ,
- в)  $\operatorname{div}[\vec{A}(\vec{r}) \times \vec{B}(\vec{r})]$ ,
- г)  $\operatorname{rot}[\vec{B}(\vec{r}) \times \vec{A}(\vec{r})]$ ,
- д)  $[(\vec{K} \times \vec{\nabla}) \vec{B}(\vec{r}) \times \vec{A}(\vec{r})]$ ,

де  $\vec{A}, \vec{B}$  – функції, що залежать лише від модуля  $|\vec{r}|$ , а  $\vec{K}$  – сталий вектор.

**№ 108.** Інтеграл по об'єму  $\int_V (\operatorname{grad} f(|\vec{r}|) \cdot \operatorname{rot} \vec{F}(|\vec{r}|)) dV$  перетворити в інтеграл по поверхні  $S$ , що оточує цей об'єм ( $V$  - довільний об'єм).

**№ 109.** Обчислити інтеграли

а)  $\oint_S \vec{r} [\vec{a} \times \vec{n}] dS$ ,

$$\text{б) } \oint_S [\vec{a} \times \vec{r}] \vec{n} dS,$$

де  $\vec{a}$  – сталій вектор,  $S$  - коло одиничного радіуса на плоскій поверхні,  $\vec{n}$  – орт нормалі до поверхні.

**№ 110.** Інтеграл  $\oint_S r^4 d\vec{S}$  по замкненій поверхні  $S$  перетворити в інтеграл по об'єму, що охоплюється поверхнею  $S$ .

**№ 111.** Інтеграл по замкненій поверхні  $S$   $\oint_S [\vec{n} \times \vec{b}] r^2 d\vec{S}$  перетворити в інтеграл по об'єму, що охоплюється поверхнею  $S$  ( $\vec{b}$  – сталій вектор,  $\vec{n}$  – орт нормалі до відповідної точки поверхні).

**№ 112.** Інтеграл по замкненому контуру  $\oint_L r^4 d\vec{l}$  перетворити в інтеграл по поверхні, що спирається на контур  $L$ .

**№ 113.** Функцію  $\vec{U}$ , що фігурує в рівнянні

$$\int_V (\vec{A} \times \operatorname{rot} \operatorname{rot} \vec{B} - \vec{B} \times \operatorname{rot} \operatorname{rot} \vec{A}) dV = \int_S [(\vec{B} \times \operatorname{rot} \vec{A}) - \vec{U}] dS$$

виразити через функції  $\vec{A}(\vec{r}), \vec{B}(\vec{r})$ .

**№ 114.** Скалярна функція  $\Psi \equiv \Psi(\vec{r})$  задовольняє хвилевому рівнянню  $\Delta \Psi + k^2 \Psi = 0$ , а векторна функція  $\vec{L} = \operatorname{grad} \Psi$ . Знайти функцію  $\vec{F}$ , що задовольняє рівнянню  $\vec{F} = \Delta \vec{L} + k^2 \vec{L}$ .

**№ 115.** Скалярна функція  $\Psi \equiv \Psi(\vec{r})$  задовольняє хвилевому рівнянню  $\Delta \Psi + k^2 \Psi = 0$ , а векторна функція  $\vec{M} = \operatorname{rot}(\vec{a} \Psi)$ . Знайти функцію  $\vec{F}$ , що задовольняє рівнянню  $\vec{F} = \Delta \vec{M} + k^2 \vec{M}$ , якщо  $\vec{a}$  - сталій вектор.

**№ 116.** Скалярна функція  $\Psi \equiv \Psi(\vec{r})$  задовольняє хвилевому рівнянню  $\Delta \Psi + k^2 \Psi = 0$ , а векторна функція  $\vec{N} = \operatorname{rot} \operatorname{rot}(\vec{a} \Psi)$ .

Знайти функцію  $\vec{F}$ , що задовольняє рівнянню  $\vec{F} = \Delta \vec{N} + k^2 \vec{N}$ , якщо  $\vec{a}$  - сталий вектор.

**№ 117.** Показати, що тензор другого рангу симетричний в декартовій системі відліку, залишається симетричним і в системі відліку, що повернута на довільний кут  $\alpha$  відносно попередньої системи координат.

**№ 118.** Чому дорівнює величина згортки  $F = S_{ik} A_{ik}$ , якщо тензор  $S_{ik}$  – симетричний, а тензор  $A_{ik}$  – антисиметричний?

**№ 119.** Довести, що шпур  $Sp\hat{D}$  (тобто сума діагональних компонент) тензора другого рангу  $\hat{D}$  є інваріантом відносно обертань системи координат.

**№ 120.** Записати матрицю перетворення компонент вектору при інверсії координатних осей одночасно із обертанням декартової системи координат навколо осі  $z$  на кут  $\alpha$ .

**№ 121.** Довести, що можна знайти такий вектор  $\vec{F}$ , компоненти якого при обертаннях системи координат перетворюються як компоненти антисиметричного тензора другого рангу  $\hat{A}$ .

**№ 122.** Є симетричний тензор другого рангу  $\epsilon_{ik}$ . Знайти компоненти тензору  $\epsilon_{ik}^{-1}$ , зворотного до  $\epsilon_{ik}$ .

**№ 123.** Є тензор третього рангу  $\chi_{ijk}$ , симетричний по всім циклічним перестановкам індексів. Знайти компоненти оберненого тензору  $\chi_{ijk}^{-1}$ .

**№ 124.** Є антисиметричний тензор другого рангу  $\epsilon_{ik}$ . Знайти компоненти тензору  $\epsilon_{ik}^{-1}$ , зворотного до  $\epsilon_{ik}$ .

**№ 125.** Є тензор третього рангу  $\chi_{ijk}$ , що задовольняє умовам  $\chi_{ijk} = \chi_{jik} = -\chi_{ikj}$ . Знайти компоненти тензору  $(\chi_{ijk})^{-1}$ , зворотного до  $\chi_{ijk}$ .

**№ 126.** Інфінітезимальним оператором звється оператор (матриця) повороту системи координат на нескінченно малий кут  $\beta$ . Показати, що інфінітезимальна матриця  $\hat{a}$  може бути записана у вигляді  $\hat{a} = 1 + \beta \cdot \hat{\varepsilon}$ , де  $\hat{\varepsilon}$  – деяка антисиметрична матриця ( $\varepsilon_{ik} = -\varepsilon_{ki}$ ).

**№ 127.** Є подвійна згортка  $\sum_{ik} A_{ikl} B_{ik}$  тензорів третього і другого рангу. Вона утворює вектор чи псевдовектор?

**№ 128.** Є згортка  $T_{ik} P_{ik}$ , де  $T_{ik}$  – тензор другого рангу, а  $P_{ik}$  – псевдотензор другого рангу. Ця згортка утворює скаляр чи псевдоскаляр?

**№ 129.** Компоненти абсолютно антисиметричного тензора третього рангу  $e_{ikl}$  мають таку властивість:  $e_{ikl} = -e_{ilk} = -e_{kil} = -e_{lki}$  (тобто при перестановці будь-яких двох індексів величина  $e_{ikl}$  змінює знак). Для ненульових компонент виконується умова нормування  $|e_{ijk}| = 1$ . Знайти коефіцієнти  $K_{1,2}$  в рівностях:

$$\text{а)} \sum_l e_{ikl} e_{lmn} = K_1 \cdot \delta_{im} \delta_{hn} - \delta_{in} \delta_{rm}, (\text{answer: } K_1 = 1, K_2 = 2)$$

$$\text{б)} \sum_{kl} e_{ikl} e_{klm} = K_2 \cdot \delta_{im}.$$

**№ 130.** Використовуючи абсолютно антисиметричний тензор  $e_{ikl}$  записати вирази для

- a) компонент векторного добутку двох векторів  $\vec{A}$  і  $\vec{B}$ ,
- б) вихору вектору  $\vec{A}$

**№ 131.** Є три полярних вектори  $\vec{n}_1, \vec{n}_2, \vec{n}_3$ . Які незалежні псевдоскаляри можна утворити із них, якщо можна використовувати операції згортки з абсолютно антисиметричним тензором  $e_{ikl}$ ?

**№ 132.** Нехай  $\vec{n}$  – одиничний вектор, усі просторові напрямки якого рівноімовірні. Знайти середнє значення таких виразів:

$$\begin{aligned} & \langle n_i \rangle, \\ & \langle n_i n_k \rangle, \\ & \langle n_i n_k n_l \rangle, \\ & \langle n_i n_k n_l n_m \rangle. \end{aligned}$$

**№ 133.** Нехай  $\vec{n}$  – одиничний вектор, усі просторові напрямки якого рівноімовірні, а  $\vec{a}, \vec{b}$  – сталі вектори. Знайти середні значення для таких виразів:

$$\begin{aligned} & \langle (\vec{a} \cdot \vec{n})^2 \rangle, \\ & \langle (\vec{a} \cdot \vec{n})(\vec{b} \cdot \vec{n}) \rangle, \\ & \langle (\vec{a} \cdot \vec{n})\vec{n} \rangle, \\ & \langle [\vec{a} \times \vec{n}]^2 \rangle. \end{aligned}$$

**№ 134.** Знайти усереднені по всім напрямкам значення таких виразів:

- a)  $\langle [\vec{a} \times \vec{n}] \cdot [\vec{b} \times \vec{n}] \rangle,$
- б)  $\langle (\vec{a} \cdot \vec{n})(\vec{b} \cdot \vec{n})(\vec{c} \cdot \vec{n}) \rangle,$
- в)  $\langle (\vec{a} \cdot \vec{n})(\vec{b} \cdot \vec{n})(\vec{c} \cdot \vec{n})(\vec{d} \cdot \vec{n}) \rangle,$

якщо  $\vec{n}$  – одиничний вектор, усі напрямки якого рівноімовірні,  $\vec{a}, \vec{b}, \vec{c}, \vec{d}$  – сталі вектори.

**№ 135.** Виразити в циліндричній системі координат такі оператори:

- а)  $\operatorname{div} \vec{A},$
- б)  $\operatorname{rot} \vec{A},$

- в)  $\Delta \varphi$ ,  
г)  $\operatorname{grad} \varphi$ .

**№ 136.** Виразити в сферичній системі координат такі оператори:

- а)  $\operatorname{div} \vec{A}$ ,  
б)  $\operatorname{rot} \vec{A}$ ,  
в)  $\Delta \varphi$ ,  
г)  $\operatorname{grad} \varphi$ .

**№ 137.** Обчислити  $\vec{A} = \operatorname{grad} \left( \frac{\vec{p} \times \vec{r}}{r^3} \right)$  ( $\vec{p}$  – сталий вектор),

скориставшись виразом для градієнта у сферичних координатах.

**№ 138.** Обчислити  $\vec{B} = \operatorname{rot} \left( \frac{\vec{p} \times \vec{r}}{r^3} \right)$  ( $\vec{p}$  – сталий вектор),

скориставшись виразом для вихору у сферичних координатах.

**№ 139.** Обчислити  $\vec{C} = \operatorname{div} \left( \frac{\vec{p} \times \vec{r}}{r^3} \right)$  ( $\vec{p}$  – сталий вектор),

скориставшись виразом для дивергенції у сферичних координатах.

**№ 140.** В сферичній системі координат знайдіть загальний вигляд розв'язку рівняння Лапласа для скалярної функції  $\varphi$ , яка залежить тільки:

- а) від  $r$ ,  
б) від  $\theta$ ,  
в) від  $\alpha$ .

**№ 141.** В циліндричній системі координат знайдіть загальний вигляд розв'язку рівняння Лапласа для скалярної функції  $\varphi$ , яка залежить тільки:

- а) від  $r$ ,  
б) від  $\alpha$ ,  
в) від  $z$ .

**№ 142.** Знайти рівняння силових ліній для полів:

- a)  $\vec{A}(\vec{r}) = -\vec{i} y + \vec{j} x$  ,  
b)  $\vec{A}(\vec{r}) = \vec{i} \frac{1}{x} + \vec{j} \frac{1}{y} + \vec{k} \frac{1}{z}$  ,  
c)  $\vec{A}(\vec{r}) = \vec{i} x^2 + 2 \vec{j} z$  ,  
d)  $\vec{A}(\vec{r}) = \vec{i} x^2 + \vec{j} y^2 + \vec{k} z^2$  .

## §2. Електростатика. Теоретичні основи.

В основі класичної теорії електрики лежить **закон Кулона** (Ch.A.Coulomb, 1785р.):

$$\vec{F}_2(\vec{r}_v) = \frac{q_1 q_2 (\vec{r}_2 - \vec{r}_1)}{[\vec{r}_2 - \vec{r}_1]^3} \quad (2.1)$$

(вперше експериментально встановлений Cavendish у 1773 р.). Основними величинами, що характеризують електростатичне поле, є його напруженість  $\vec{E}(\vec{r})$  і потенціал  $\varphi(\vec{r})$ .

**Напруженістю поля** в точці  $\vec{r}$  називається сила, що діє на одиничний позитивний пробний заряд, що поміщено в дану точку.

Стаціонарне електричне поле може бути виражене через потенціал  $\varphi$  у такий спосіб:

$$E = -\text{grad } \varphi . \quad (2.2)$$

### **Rізниця потенціалів поля**

$$U = \varphi(\vec{r}_2) - \varphi(\vec{r}_1) \quad (2.3)$$

між точками простору  $\vec{r}_2$  і  $\vec{r}_1$  чисельно дорівнює роботі, яку необхідно виконати проти сил електричного поля, щоб перенести позитивний одиничний заряд з першої точки простору в другу.

В електростатиці справедливий **принцип суперпозиції**: електростатичне поле системи декількох зарядів являє собою суму полів, створених кожним зарядом окремо. У загальному випадку цей заряд може складатися з об'ємних, поверхневих, лінійних і точкових зарядів.

Точковий заряд  $q$  створює електричне поле з потенціалом і напруженістю

$$\varphi(\vec{r}) = \frac{q}{|\vec{r} - \vec{r}'|}, \quad \vec{E}(\vec{r}) = \frac{q(\vec{r} - \vec{r}')}{|\vec{r} - \vec{r}'|^3}, \quad (2.4)$$

де  $\vec{r}$  і  $\vec{r}'$  - радіуси-вектори відповідно точки спостереження і точки розташування заряду. У випадку, якщо заряди розподілені з об'ємною щільністю  $\rho(\vec{r}')$ , то

$$\left. \begin{aligned} \varphi(\vec{r}) &= \int_V \frac{\rho(\vec{r}') dV'}{|\vec{r} - \vec{r}'|} \\ \vec{E}(\vec{r}) &= \int_V \frac{\rho(\vec{r}') (\vec{r} - \vec{r}') dV'}{|\vec{r} - \vec{r}'|^3} \end{aligned} \right\}. \quad (2.5)$$

Якщо заряди розподілені по поверхні  $S$  із щільністю  $\sigma$  і по контуру  $L$  з щільністю  $\chi$ , то

$$\varphi(r) = \int_S \frac{\sigma(r') dS'}{|r - r'|} + \int_L \frac{\chi(r') dl'}{|r - r'|}. \quad (2.6)$$

Якщо заряджена система знаходиться в зовнішньому електричному полі  $\vec{E}$ , то на неї діє сила  $\vec{F}$

$$\vec{F} = \int_V \rho \vec{E} dV, \quad (2.7)$$

і момент сили  $\vec{N}$

$$\vec{N} = \int_V [\vec{r} \times \vec{E}] \rho dV. \quad (2.8)$$

В окремому випадку системи, що має дипольний момент  $\vec{d}$ , співвідношення (2.7) і (2.8) набувають вигляду

$$\vec{F} = \text{grad} (\vec{d} \cdot \vec{E}) \quad (2.9)$$

$$\vec{N} = [\vec{d} \times \vec{E}]. \quad (2.10)$$

Для електричного поля виконується теорема Гаусса

$$\oint_S \vec{E} d\vec{S} = 4\pi Q, \quad (2.11)$$

де  $Q$  – повний заряд, розміщений усередині замкненої поверхні  $S$ .

У випадку статичного (нерухомого) розміщення електричних зарядів напруженість електричного поля задовільнює рівнянням

$$\operatorname{rot} \vec{E} = 0, \quad (2.12)$$

$$\operatorname{div} \vec{D} = 4\pi\rho \quad (2.13)$$

(частковий випадок рівнянь Максвела).

Електричні поля задовільняють таким граничним умовам :

$$[\vec{n} \times (\vec{D}_2 - \vec{D}_1)] = 0, \quad (2.14)$$

$$E_{2n} - E_{1n} = 4\pi\sigma. \quad (2.15)$$

Тут індекси 1 і 2 відзначають характеристики електричного поля по різні сторони границі поділу. Одиничний вектор  $\vec{n}$  нормалі до цієї поверхні спрямовано з першого середовища в друге.

У статичному випадку потенціал  $\varphi$  задовільняє рівнянню Пуасона

$$\nabla^2 \varphi = -\frac{4\pi\rho}{\epsilon}. \quad (2.16)$$

Граничні умови для потенціалу:

$$\varphi_1 = \varphi_2, \quad (2.17)$$

$$\frac{\partial \varphi_1}{\partial n} - \frac{\partial \varphi_2}{\partial n} = 4\pi\sigma. \quad (2.18)$$

Відзначимо, що при наявності поверхневих зарядів умова неперервності (2.17) виконується тільки в тому випадку, коли поверхнева густина заряду  $\sigma$  не обертається на нескінченність.

Потенціал поля на великих відстанях  $r \gg l$  від зарядженої системи можна подати у виді розкладу

$$\varphi = \frac{Q}{r} + \frac{(\vec{d} \cdot \vec{r})}{r^3} + \frac{D_{\alpha\beta} x_\alpha x_\beta}{2r^5} + \dots \quad (2.19)$$

У випадку точкових зарядів використовуються такі позначення:

дипольний момент

$$\vec{d} = \sum_{i=1}^N e_i \vec{r}_i , \quad (2.20)$$

тензор квадрупольного моменту

$$D_{\alpha\beta} = \sum_{i=1}^N e_i (3x_{i\alpha}x_{i\beta} - r_i^2 \delta_{\alpha\beta}) . \quad (2.21)$$

У випадку неперервного розподілу зарядів використовуються такі означення:

$$\left. \begin{array}{l} \text{повний заряд} \quad Q = \int \rho(\vec{r}) dV , \\ \text{дипольний момент} \quad \vec{d} = \int \vec{r} \rho(\vec{r}) dV , \\ \text{квадрупольний} \\ \text{момент} \quad D_{\alpha\beta} = \int (3x_{\alpha}x_{\beta} - r^2 \delta_{\alpha\beta}) \rho(\vec{r}) dV . \end{array} \right\} (2.22)$$

У випадку точкових зарядів об'ємну густину заряду  $\rho(\vec{r}, t)$  й об'ємну щільність струму  $\vec{j}(\vec{r}, t)$  можна виразити через дельта-функції

$$\rho(\vec{r}, t) = \sum_{i=1}^N q_i \delta(\vec{r} - \vec{r}_i(t)) , \quad \vec{j}(\vec{r}, t) = \sum_{i=1}^N q_i \vec{v}_i \delta(\vec{r} - \vec{r}_i(t)) \quad (2.23)$$

Електростатична енергія взаємодії системи точкових зарядів

$$U = \sum_{n \neq m} \frac{q_n q_m}{|\vec{r}_n - \vec{r}_m|} . \quad (2.24)$$

*При наявності об'ємних зарядів ця енергія може бути записана у вигляді*

$$U = \iint_V \frac{\rho_1(\vec{r}) \rho_2(\vec{r}')}{|\vec{r} - \vec{r}'|} dV dV' . \quad (2.25)$$

Потенційна енергія системи зарядів розподілених з об'ємною густиною  $\rho(\vec{r})$  в зовнішньому електричному полі з потенціалом  $\varphi(\vec{r})$  визначається виразом

$$U = \int_V \rho(\vec{r})\varphi(\vec{r})dV . \quad (2.26)$$

Енергія електростатичного поля

$$W = \frac{1}{8\pi} \int_V E^2 dV \quad (2.27)$$

може бути перетворена до еквівалентного вигляду

$$W = \frac{1}{2} \int_V \rho \varphi dV . \quad (2.28)$$

Максвеловський тензор напруги

$$T_{\alpha\beta} = \frac{1}{4\pi} \left( E_\alpha E_\beta - \frac{1}{2} E^2 \delta_{\alpha\beta} \right) \quad (2.29)$$

дозволяє виразити електростатичну об'ємну силу (2.7) через інтеграли

$$F_\alpha = \int_V \rho E_\alpha dV = \oint_S T_{\alpha\beta} n_\beta dS , \quad (2.30)$$

де  $\vec{n}$  - орт зовнішньої нормалі до замкнутої поверхні  $S$ , що обмежує об'єм  $V$ . Звідси випливає, що об'ємна сила  $\vec{F}$  еквівалентна системі поверхневих сил, прикладених до зовнішньої границі області  $V$ .

## §2.1. Електростатика. Умови задач.

**№ 200.** Знайти напруженість електричного поля  $\vec{E}$ , потенціал якого дорівнює  $\varphi = (\vec{a}[\vec{b} \times \vec{r}])$ . ( $\vec{a}, \vec{b}$  – сталі вектори).

**№ 201.** Знайти напруженість електричного поля  $\vec{E}$ , потенціал якого дорівнює  $\varphi = (\vec{k} \cdot \vec{r}) \cdot \cos(\vec{k} \cdot \vec{r})$ . ( $\vec{k}$  – сталий вектор).

**№ 202.** Знайти напруженість електричного поля  $\vec{E}$ , потенціал якого дорівнює  $\varphi = \varphi_0 \cdot \operatorname{th}(\vec{b} \cdot \vec{r}) \sin(\vec{k} \cdot \vec{r})$ . ( $\vec{b}, \vec{k}$  – сталі вектори,  $\varphi_0$  – константа).

**№ 203.** Методом Пуассона знайти потенціал  $\varphi$  та напруженість поля  $\vec{E}$ , що утворюється рівномірно зарядженою кулею радіуса  $a$  з діелектричною проникністю  $\epsilon$ . Густина заряду  $\rho_0$ . Зовнішнє середовище – вакуум.

**№ 204.** Методом Пуассона знайти потенціал  $\varphi$  поля нескінченно довгого циліндра радіуса  $R_0$ , зарядженого з об'ємною густинною  $\rho = b|\vec{R}|$ ,  $b - \text{const}$ . Зовнішнє середовище – вакуум.

**№ 205.** Методом Пуассона знайти потенціал  $\varphi$  і напруженість  $\vec{E}$  поля, яке утворюється нескінченним рівномірно зарядженим циліндром радіуса  $R_0$ . Діелектрична проникливість циліндра  $\epsilon$ , об'ємна густина заряду  $\rho_0$ . Зовнішнє середовище – вакуум.

**№ 206.** За допомогою рівняння Пуассона знайти потенціал та напруженість поля, що утворюється нескінченно довгим зарядженим циліндром радіуса  $R_0$  зарядженого з об'ємною

густинуо  $\rho = bR^2$ ,  $b - const$ ,  $R$  – відстань від осі системи. Зовнішнє середовище – вакуум.

**№ 207.** Простір між двома концентричними сферами  $R_1$  та  $R_2$  ( $R_1 < R_2$ ) заряджений з об'ємною густинуо  $\rho = \frac{a}{r^4}$ . Знайти потенціал поля, утвореного такою системою.

**№ 208.** Частинка із зарядом  $+|q|$  знаходиться в електричному полі з потенціалом  $\phi(\vec{r}) = a \cdot x \cdot (x - x_0)^2 + b((y - y_0)^2 + (z - z_0)^2)$ , де  $a > 0, b > 0$ . Чи досягається стан стійкої рівноваги в точці  $\vec{r}_0 = \{x_0, y_0, z_0\}$ ?

**№ 209.** Частинка із зарядом  $q > 0$  знаходиться в електричному полі з потенціалом  $\phi(\vec{r}) = a \cdot \cos(\vec{k} \cdot \vec{r})$ , де  $a > 0$ . Знайти точки стійкої рівноваги заряду.

**№ 210.** Рівномірно заряджені дротини знаходяться одна від одної на відстані  $a$ . Вони несуть лінійні заряди  $b_1$  та  $b_2$  (на одиницю довжини). При деякому співвідношенні між  $b_1$  та  $b_2$  серед поверхонь рівного потенціалу будуть колові циліндри. Знайти це співвідношення, а також радіуси та положення центрів циліндричних поверхонь рівного потенціалу.

**№ 211.** Чотири заряди розташовано у верхівках квадрата зі стороною  $a$ . Величини зарядів чергуються у такій послідовності:  $+q_0, -q_0, +q_0, -q_0$  (плоский квадруполь). Знайти потенціал і поле такого квадруполя на відстані  $|r| > a$  від центру системи.

**№ 212.** На поверхні циліндра радіуса  $a$  розташовано чотири рівновіддалених одна від одної нескінчених нитки. Вони заряджені з однаковою лінійною густинуо  $|\gamma|$ , але знаки зарядів чергуються (якщо обходити циліндр вздовж кола). Знайти потенціал і поле такого квадруполя на відстані  $|r| > a$  від центру системи.

**№ 213.** Лінійний квадруполь утворено чотирма зарядами, що розташовані вздовж осі  $z$  на відстані  $a_0$  один від одного. Всі заряди рівні за величиною, але їхні знаки чергуються в такій послідовності:  $+ - + -$ . Знайти поле та рівняння силових ліній квадруполя на відстані  $|r| \gg a_0$  від його центру.

**№ 214.** Лінійний квадруполь утворено трьома зарядами, що розташовані на відстані  $a_0$  один від одного у такій послідовності:  $-q_0, +2q_0, -q_0$ . Знайти потенціал та електричне поле, утворене таким квадруполем на відстані  $|r| \gg a_0$  від його центру.

**№ 215.** Заряди розташовані у вершинах правильного шестикутника так, що їх знаки в сусідніх вершинах є протилежними. Абсолютні значення всіх зарядів дорівнюють  $q_0$ . Шестикутник вписується у коло радіуса  $R_0$ . Знайти потенціал і поле такої системи.

**№ 216.** У центрі діелектричної сфери радіуса  $a$  з діелектричною проникністю  $\epsilon$  знаходиться точковий заряд  $q$ . Знайти сумарну величину зв'язаного заряду на поверхні сфери.

**№ 217.** Потенціал електростатичного поля заданий такою функцією:

$$\varphi = \begin{cases} -ax + bx^2, & x > 0 \\ +ax + bx^2, & x < 0 \end{cases}$$

Знайти розподіл зарядів, що утворюють таке поле.

**№ 218.** В сферичної системі координат потенціал поля в вакуумі задається такою функцією:

$$\varphi = \begin{cases} \frac{q}{r} & (r > a) \\ -\frac{1}{2} \frac{q}{a^3} r^2 + C_1 & (r < a) \end{cases}$$

де  $q$  та  $a$  – сталі. Знайти константу  $C_1$ , якщо відомо, що на сфері  $|r|=a$  поверхневий заряд відсутній. Визначити електричне поле  $\vec{E}$  та розподіл зарядів всередині сфери.

**№ 219.** Знайти розподіл зарядів, що утворює в просторі потенціал  $\varphi(\vec{r}) = \varphi_0 \left( \frac{a}{|r|} + 1 \right) \exp\left(-\frac{2|r|}{a}\right)$  ( $\varphi_0, a$  – константи системи).

**№ 220.** Проводяча куля радіуса  $R_0$  несе заряд  $q_0$ . Вона занурена до половини в однорідний рідкий діелектрик із діелектричною проникливістю  $\epsilon$ . Знайти поле цієї системи.

**№ 221.** Заряджена проводяча куля з радіусом  $R_0$  занурена до половини у рідкий діелектрик з проникністю  $\epsilon$ . Заряд кулі дорівнює  $q_0$ . Знайти розподіл зарядів на поверхні кулі.

**№ 222.** Поле утворюється металевою кулею радіуса  $R_0$  з зарядом  $q$ . Знайти потік поля крізь диск радіуса  $R_0$ , що знаходиться на відстані  $R_0$  від центра кулі. Площа розташування диску перпендикулярна до радіус-вектора  $\vec{R}_0$ .

**№ 223.** Поле утворюється в вакуумі рівномірно зарядженою ниткою. Лінійна густина зарядів дорівнює  $\chi$ . В просторі біля нитки  $\epsilon$  прямокутник  $a \times b$ , розташований таким чином, що два ребра довжиною  $a$  паралельні зарядженій нитці, а два інші ребра  $b$  перпендикулярні до неї. Відстань по нормалі між центром квадрату та ниткою дорівнює  $b$ . Обчислити потік вектора напруженості поля нитки крізь поверхню прямокутника.

**№ 224.** Нескінчена пряма нитка заряджена рівномірно з лінійною густиною заряду  $\chi$ . Вона розташована в центрі діелектричного циліндра радіуса  $R_0$ , який характеризується

діелектричною проникливістю  $\epsilon$ . Зовні цього циліндра - вакуум. Визначити поверхневу густину зарядів на границі діелектрика.

**№ 225.** Нескінчена площа  $x = 0$  заряджена з густиною, що змінюється за періодичним законом  $\sigma = \sigma_0 \sin(ay)$ , де  $\sigma_0$ ,  $a$  – сталі,  $\{y, z\} \in (-\infty, +\infty)$ . Знайти потенціал  $\varphi(\vec{r})$  цієї системи зарядів.

**№ 226.** Нескінчена площа  $x = 0$  заряджена з густиною, що змінюється за періодичним законом  $\sigma = \sigma_0 \cos(ay)\cos(bz)$ , де  $\sigma_0$ ,  $a$ ,  $b$  – сталі,  $\{y, z\} \in (-\infty, +\infty)$ . Знайти потенціал  $\varphi(\vec{r})$  цієї системи зарядів.

**№ 227.** Електричний заряд розподілено в просторі за періодичним законом

$$\rho = \rho_0 \sin(ax)\cos(by)\sin(cz), \{x, y, z\} \in (-\infty, +\infty)$$

(нескінчена тривимірна просторова гратка). Знайти потенціал електростатичного поля, що утворюється цією граткою.

**№ 228.** Нескінчено тонкий плоский лист діелектричного матеріалу має розміри  $L_x \rightarrow \infty, L_y \rightarrow \infty$ . Його розділили на дві половини щілиною завширшки  $d_0$ . Поверхня листа рівномірно заряджена з поверхневою густиною  $\sigma_0$ . Знайти напруженість електричного поля такої системи на великих відстанях від щілини з точністю до членів другого порядку по малому параметру  $\alpha = \frac{d_0}{|\vec{r}|} \ll 1$ .

**№ 229.** Куля радіусу  $r_0$  заряджена сферично-симетричним чином з об'ємною густиною  $\rho = \beta r^3$ . Знайти потенціал та енергію електростатичного поля, що створюється такою кулею.

**№ 230.** Простір між двома концентричними сферами радіусів  $R_0$  та  $R_1 > R_0$  заряджений з об'ємною густиною  $\rho = bR^{-2}$ . Знайти енергію електростатичного поля.

**№ 231.** Знайти енергію електростатичного поля сфери радіуса  $R_0$ , по об'єму якої рівномірно розподілено заряд  $Q$ .

**№ 232.** Об'ємна густота заряду у середині кулі радіуса  $R_0$  задана таким чином:  $\rho(\vec{r}) = \vec{a} \cdot \vec{r}$ , де  $\vec{a}$  – сталій вектор, а  $\vec{r}$  - радіус-вектор, проведений із центра кулі. Знайти напруженість електричного поля всередині та зовні кулі, а також енергію електростатичного поля.

**№ 233.** Напруженість електричного поля має таку просторову залежність:  $\vec{E} = \frac{l_0 \vec{r}}{|\vec{r}|^3} (1 + b|\vec{r}|) \exp(-b|\vec{r}|)$ . Визначити розподіл об'ємної

густини заряду, що створює таке поле, і електростатичну енергію цього поля.

**№ 234.** Об'ємна густота заряду електронної хмари атому водню в основному стані має таку просторову залежність:

$$\rho(\vec{r}) = \frac{e_0}{\pi a_0^3} \exp\left(-\frac{2r}{a_0}\right). \quad \text{Знайти поле та енергію взаємодії}$$

електронної хмари в з ядром.

**№ 235.** У центрі діелектричної сфери радіуса  $R_0$  знаходитьться точковий заряд  $Q_0$ . Знайти поверхневу густину зарядів  $\sigma$  на поверхні сфери, якщо діелектрична проникність сфери задається таким розподілом:  $\epsilon(r) = 1 + (\epsilon_0 - 1) \frac{a^2}{a^2 + r^2}$ .

**№ 236.** Плоский конденсатор заповнений на одну чверть діелектриком з  $\epsilon = \epsilon_0$ , а інша частина конденсатора порожня. Площа обкладинок –  $S_0$ , відстань між обкладинками –  $d$ . Нехтуючи крайовими ефектами знайти ємність  $C$  такого конденсатора.

**№ 237.** Плоский конденсатор заповнений діелектриком з  $\varepsilon(x) = \varepsilon_0 \left( \frac{x+a}{a} \right)$ , де  $a$  – відстань між обкладинками. Координата  $x$  вимірюється від однієї обкладки до іншої по нормальні. Площа обкладинок -  $S_0$ . Нехтуючи крайовими ефектами знайти ємність  $C$  такого конденсатора.

**№ 238.** Знайти ємність циліндричного конденсатора з радіусами обкладинок  $R_1$  і  $R_2$  ( $R_1 < R_2$ ) та діелектричною проникливістю  $\varepsilon$ . Довжина конденсатора  $L$ . Границями ефектами знехтувати.

**№ 239.** Нехтуючи крайовими ефектами знайти ємність  $C$  циліндричного конденсатора з радіусами обкладинок  $R_1$  та  $R_2$  ( $R_1 < R_2$ ), якщо всередині конденсатора знаходиться діелектрик з таким розподілом діелектричної проникності:  $\varepsilon(r) = \varepsilon_0 \left( \frac{R_1}{R} \right) \left( 1 + \frac{R_2}{R} \right)$ .

Довжина конденсатора  $L$ .

**№ 240.** Сферичний конденсатор з радіусами обкладинок  $a$  та  $b$  ( $a < b$ ) заповнений діелектриком із змінною діелектричною проникливістю:  $\varepsilon(r) = \varepsilon_0 \left( \frac{a^2}{a^2 + r^2} \right)^2$ , де  $\varepsilon_0$  – константа. Знайти ємність  $C$  такого конденсатора.

**№ 241.** Знайти ємність сферичного конденсатора із радіусами обкладинок  $R_1$  і  $R_2$ . Між обкладинками знаходиться діелектрик з проникливістю  $\varepsilon$ , що заповнює половину внутрішнього простору (як зображене на малюнку).

**№ 242.** Сферичний конденсатор з радіусами обкладинок  $a$  та  $b$  ( $b > a$ ) заповнений діелектриком  $\epsilon(|\vec{r}|) = \epsilon_0 \left(\frac{a}{r}\right)^2$ . Знайти ємність цього конденсатора.

**№ 243.** Дводротова лінія складається з циліндричних провідників радіусів  $a$  і  $b$ , які знаходяться на відстані  $D \gg a, b$  один від одного. Знайти ємність одиниці довжини такої лінії.

**№ 244.** Довгий циліндричний дріт діаметром  $d_0$  розташовано паралельно до нескінченної металевої площини. Відстань від дроту до площини  $H \gg d_0$ . Знайти погонну ємність (тобто ємність одиниці довжини) такої системи.

**№ 245.** Нескінчена металева пластина зігнута під прямим кутом вздовж деякої прямої (що нанесена на поверхню пластини). На бісектрисі цього кута на відстані  $h$  від кожної із плоских сторін зігнутої пластини розташований металевий циліндричний дріт з діаметром  $d_0 \ll h$ . Знайти погонну ємність такої системи.

**№ 246.** На відстані  $a$  від заземленого металевого нескінченного циліндра радіуса  $b$  паралельно його осі протягнуто нескінчуену тонку заряджену нитку з лінійною густинною заряду  $\chi_0$ . Знайти потенціал поля в просторі поза циліндром.

**№ 247.** На відстані  $h$  від металевої площини знаходиться електричний диполь з дипольним моментом  $\vec{d}$ . Диполь нахилено під кутом  $\theta$  до поверхні. Знайти обертьальний момент  $\vec{M}$ , що прикладений до диполю.

**№ 248.** У провіднику знаходиться сферична порожнина радіуса  $R_0$ . На відстані  $a < R_0$  від центра порожнини знаходиться точковий заряд  $q$ . Знайти поле  $\vec{E}$  у порожнині.

**№ 249.** Всередині діелектричної кулі радіуса  $R_0$  існує кулеподібна порожнина радіуса  $a$ , зміщена від центру на вектор  $\vec{b}$ . Діелектрична стала матеріалу кулі  $\epsilon_0$ . Вся куля (за винятком порожнини) заряджена із сталою об'ємною густинорою заряду  $\rho$ . Знайти поле всередині цієї порожнини.

**№ 250.** Неоднорідна діелектрична куля радіуса  $a$  виготовлена з діелектрика з діелектричною проникністю  $\epsilon(r) = 1 + br^2$ . У центрі кулі знаходитьться точковий заряд  $q$ . Знайти поле всередині та поза кулею, а також величину зв'язаного заряду на поверхні кулі.

### §3. Магнетостатика. Теоретичні основи.

Магнітне поле  $\vec{H}(\vec{r})$  лінійного струму  $J$  визначається законом **Bio-Savara-Laplasa** (Bio-Savare-Laplas):

$$d\vec{H}(\vec{r}) = \frac{J}{c} \frac{[d\vec{l}' \times (\vec{r} - \vec{r}')] }{|\vec{r} - \vec{r}'|^3}. \quad (3.1)$$

Тут  $\vec{r}$  і  $\vec{r}'$  – радіус-вектори точки спостереження і точки розташування елемента струму  $d\vec{l}'$ . Для магнітного поля у вакуумі справедливий **принцип суперпозиції**:

повне магнітне поле дорівнює сумі полів, створених кожним елементом струму окремо.

При цьому

$$\vec{H}(\vec{r}) = \frac{J}{c} \int_V \frac{[d\vec{l}' \times (\vec{r} - \vec{r}')] }{|\vec{r} - \vec{r}'|^3}. \quad (3.2)$$

У магнітному полі на елемент  $d\vec{l}$  контуру, по якому тече струм  $J$ , діє сила

$$d\vec{F} = \frac{J}{c} [d\vec{l} \times \vec{H}]. \quad (3.3)$$

Напруженість сталого магнітного поля задовільняє диференціальним рівнянням (частковий випадок рівнянь Максвела):

$$\text{rot } \vec{H} = \frac{4\pi}{c} \vec{j}, \quad (3.4)$$

$$\text{div } \vec{B} = 0. \quad (3.5)$$

З (3.4), (3.5) випливають інтегральні співвідношення

$$\oint_L \vec{H} d\vec{l} = \frac{4\pi}{c} I, \quad (3.6)$$

$$\int_S \vec{B} d\vec{s} = 0 \quad (3.7)$$

Тут  $I$  – алгебраїчна сума струмів, охоплених замкнутим контуром  $L$ . У загальному випадку струм  $I$  складається з об'ємних, поверхневих і лінійних струмів, що пронизують поверхню  $S$ , натягнути на контур інтегрування  $L$ .

Магнітні поля у вакуумі задовольняють граничній умові:

$$[\vec{n} \times (\vec{H}_2 - \vec{H}_1)] = \frac{4\pi}{c} \vec{i} . \quad (3.8)$$

Індекси 1 і 2 визначають напруженість магнітного поля в областях, що лежать по різні сторони границі поділу. Вектор  $\vec{n}$  нормалі цієї поверхні спрямований з першої області в другу;  $\vec{i}$  – поверхнева густина струму на границі поділу двох середовищ. Проектуючи (3.8) на відповідні осі і пам'ятаючи, що поверхневий струм  $\vec{i}$  тече тільки по границі поділу, неважко переписати (3.8) в еквівалентному вигляді:

$$\left. \begin{aligned} H_{2n} - H_{1n} &= 0, \\ H_{2\tau} - H_{1\tau} &= \frac{4\pi}{c} i_\sigma . \end{aligned} \right\} \quad (3.9)$$

Вище використано позначення:  $H_n = (\vec{H} \cdot \vec{n})$  – нормальній компонент,  $H_\tau = (\vec{H} \cdot \vec{\tau})$  – тангенціальний компонент напруженості магнітного поля,  $i_n = (\vec{i} \cdot \vec{\sigma})$ . Одиничні вектори  $\vec{n}, \vec{\tau}$  й  $\vec{\sigma}$  утворять правогвинтову трійку, причому  $[\vec{n} \times \vec{\tau}] = \vec{\sigma}$ .

Магнітне поле  $\vec{H}$  визначається векторним потенціалом  $\vec{A}$

$$\vec{H} = \text{rot } \vec{A} . \quad (3.10)$$

Останній вводиться неоднозначно, тому що два потенціали  $\vec{A}$  і  $\vec{A}'$

$$\vec{A}' = \vec{A} + \text{grad } f \quad (3.11)$$

(де  $f = f(\vec{r})$  – довільна скалярна функція координат) породжують однакові магнітні поля.

В задачах магнетостатики на векторний потенціал часто накладають додаткову умову, що звється **статичним калібруванням Лоренца**

$$\operatorname{div} \vec{A} = 0 . \quad (3.12)$$

У цьому калібруванні справедливе **рівняння Пуассона** для векторного потенціалу статичного поля:

$$\nabla^2 \vec{A} = -\frac{4\pi}{c} \vec{j} . \quad (3.13)$$

Граничні умови для векторного потенціалу :

$$\left. \begin{array}{l} \vec{A}_1 = \vec{A}_2 , \\ \frac{\partial \vec{A}_1}{\partial \vec{n}} - \frac{\partial \vec{A}_2}{\partial \vec{n}} = \frac{4\pi}{c} \vec{i} . \end{array} \right\} \quad (3.14)$$

Для випадку об'ємних струмів векторний потенціал і напруженість магнітного поля можна записати у вигляді інтегралів

$$\vec{A}(\vec{r}) = \frac{1}{c} \int_V \frac{\vec{j}(\vec{r}') dV'}{|\vec{r} - \vec{r}'|} , \quad (3.15)$$

$$\vec{H}(\vec{r}) = \frac{1}{c} \int_V \frac{[\vec{j}(\vec{r}') \times (\vec{r} - \vec{r}')] dV'}{|\vec{r} - \vec{r}'|^3} . \quad (3.16)$$

На великих відстанях  $r$  від області  $V$  струму векторний потенціал і напруженість магнітного поля можуть бути знайдені по наблизених формулах:

$$\vec{A} \cong \frac{[\vec{\mu} \times \vec{r}]}{r^3} , \quad (3.17)$$

$$\vec{H} \cong \frac{3(\vec{\mu} \cdot \vec{r}) \vec{r}}{r^5} - \frac{\vec{\mu}}{r^3} . \quad (3.18)$$

Тут  $\vec{\mu}$  – питомий **магнітний момент** струму. У випадку об'ємних струмів

$$\vec{\mu} = \frac{1}{2c} \int_V [\vec{r} \times \vec{j}] dV . \quad (3.19)$$

**У випадку лінійних струмів**

$$\vec{\mu} = \frac{J\vec{S}}{c} , \quad (3.20)$$

де  $\vec{S}$  – орієнтована плошка поверхня, вздовж контуру якої тече струм. Напрямок вектора  $S$  зв'язаний з напрямком струму  $J$  правилом правого гвинта.

Енергія магнітного поля

$$W = \frac{1}{8\pi} \int (\vec{H})^2 dV \quad (3.21)$$

може бути перетворена до еквівалентного вигляду:

$$W = \frac{1}{2c} \int (\vec{j} \cdot \vec{A}) dV . \quad (3.22)$$

Магнітна енергія взаємодії об'ємних струмів  $\vec{j}_1$  і  $\vec{j}_2$  визначається інтегралом

$$W = \frac{1}{c^2} \int_{V_1} \int_{V_2} \frac{\vec{j}_1(\vec{r}_1) \vec{j}_2(\vec{r}_2)}{|\vec{r}_1 - \vec{r}_2|} dV_1 dV_2 , \quad (3.23)$$

де  $V_1, V_2$  – об'єми існування відповідних струмів. На струм у зовнішньому магнітному полі діє сила

$$\vec{F} = \frac{1}{c} \int_V [\vec{j} \times \vec{H}] dV , \quad (3.24)$$

а магнітна енергія  $W_1$  взаємодії цього струму з зовнішнім магнітним полем відрізняється від (3.22) тільки числовим множником:

$$W_1 = \frac{1}{c} \int_V (\vec{j}_1 \cdot \vec{A}) dV . \quad (3.25)$$

Якщо напруженість  $\vec{H}$  зовнішнього магнітного поля постійна в області простору, де  $\mu \neq 0$ , то магнітна енергія  $W_1$  взаємодії магнетиків із зовнішнім полем визначається у такий спосіб:

$$U = -(\vec{\mu} \cdot \vec{H}). \quad (3.26)$$

В магнетодипольному наближенні сила  $\vec{F}$  і момент сил  $\vec{N}$ , прикладених до тіла, знаходяться за законом

$$\left. \begin{aligned} \vec{F} &= -\operatorname{grad} U, \\ N &= [\vec{\mu} \times \vec{H}] \end{aligned} \right\} \quad (3.27)$$

Як видно, формули (3.27) аналогічні відповідним формулам (2.30) електростатики із заміною:  $\vec{d} \rightarrow \vec{\mu}$ ,  $\vec{E} \rightarrow \vec{H}$ .

### §3.1 Магнетостатика. Умови задач.

**№300** Дротяне кільце має радіус  $R_0$ . По ньому тече струм  $I_0$ . Знайти вектор-потенціал  $\vec{A}(0,0,z)$  на осі цього кільця.

**№301** Дротяне кільце має радіус  $R_0$ . По ньому тече струм  $I_0$ . Знайти магнітне поле  $\vec{H}(0,0,z)$  на осі цього кільця.

**№302** По металевому цилінду радіуса  $R_0$  тече струм  $I_0$ , який рівномірно розподілено по поперечному перерізу. Знайти магнітне поле всередині циліндра і поза ним.

**№303** Циліндрична котушка має радіус  $R_0$  та довжину  $L$ . На неї намотано дріт із густиною  $N$  витків на 1 см. Сила струму в котушці -  $I_0$ . Знайти напруженість магнітного поля на осі котушки.

**№304** Металева труба має внутрішній радіус  $R_1$  і зовнішній  $R_2$  ( $R_1 < R_2$ ). По трубі тече струм  $I_0$ . Він однорідно розподілений по поперечному перерізу труби і паралельний осі системи. Знайти напруженість  $\vec{H}$  магнітного поля в середині труби і зовні.

**№305** Нескінчена в двох вимірах пластина має товщину  $h$ . Всередині пластини паралельно її поверхні тече однорідний струм з густиною  $\vec{j}$ . Знайти напруженість  $\vec{H}$  магнітного поля всередині і зовні пластини.

**№306** Два нескінченно тонких плоских листи розташовані на відстані  $h$  паралельно один одному. По цих листах течуть струми у взаємопротилежних напрямках. Абсолютні значення густини двох струмів одинакові і дорівнюють  $|j_0|$ . Знайти напруженість  $\vec{H}$  магнітного поля як між пластинами, так і в зовнішній частині простору.

**№307** Два нескінченно тонких плоских листи розташовані на відстані  $h$  паралельно один одному. По цих листах течуть струми в одному напрямку. Абсолютні значення густини двох струмів однакові і рівні  $|i_0|$ . Знайти напруженість  $\vec{H}$  магнітного поля як між пластинаами, так і в зовнішній частині простору.

**№308** У сферичних координатах компоненти векторного потенціалу мають вигляд

$$A_r = 0, \quad A_\theta = 0,$$

$$A_\varphi = a \left[ (5R_0^2 - 3r^2) \theta_k (R_0 - r) + \frac{2R_0^5}{r^2} \theta_k (r - R_0) \right] \sin \theta ,$$

де  $a$  і  $R_0$  – константи, а  $\theta_k(x)$  – функція сходинки ( $\theta_k(x) = 1$  при  $x > 0$ ,  $\theta_k(x) = 0$  при  $x < 0$ ). Знайти розподіл струму, що створює цей потенціал.

**№309** У циліндричних координатах компоненти векторного потенціалу мають вигляд

$$A_\varphi = ar (2R_0^2 - r^2) \theta_k (R_0 - r) + \frac{aR^4}{r} \theta_k (r - R_0),$$

$$A_R = 0, A_Z = 0$$

де  $a$  і  $R_0$  – константи, а  $\theta_k(x)$  – функція сходинки ( $\theta_k(x) = 1$  при  $x > 0$ ,  $\theta_k(x) = 0$  при  $x < 0$ ). Знайти розподіл струму, що створює цей потенціал.

**№310** У сферичних координатах компоненти векторного потенціалу мають вигляд

$$A_r = 0, \quad A_\theta = 0, \quad A_\varphi = b \left[ r \cdot \theta_k (R_0 - r) + \frac{R_0^3}{r^2} \cdot \theta_k (r - R_0) \right] \sin \theta ,$$

де  $a$  і  $R_0$  – константи, а  $\theta_k(x)$  – функція сходинки ( $\theta_k(x)=1$  при  $x>0$ ,  $\theta_k(x)=0$  при  $x<0$ ). Знайти розподіл струму, що створює цей потенціал.

**№311** У середині нескінченого циліндра радіуса  $R_0$  паралельно його осі тече струм з об'ємною густинорою  $j=j(|r|)$ , де  $|r|$  – відстань від осі циліндра. Знайти магнітне поле і векторний потенціал усередині і зовні циліндра.

**№312** По поверхні нескінченого циліндра радіуса  $R_0$  паралельно його осі покладено  $N$  дуже тонких провідників поруч один з одним. Сусідні провідники ізольовані між собою. Положення  $n$  – того провідника визначається кутом  $\varphi_n=2\pi n/N$ , ( $0 \leq n \leq N$ ). По  $n$  – тому провіднику тече струм  $i_n=(I_0/N)\cos(m\varphi_n)$ , де  $m \geq 1$  – ціле число. Знайти векторний потенціал  $\vec{A}$  і напруженість  $\vec{H}$  магнітного поля в довільній точці простору, якщо  $N \rightarrow \infty$ , а товщиною провідників можна знехтувати.

**№313** Вздовж нескінченної циліндричної поверхні радіуса  $R_0$  тече струм  $I_0$ . Знайти векторний потенціал  $\vec{A}$  і напруженість  $\vec{H}$  магнітного поля в довільній точці простору, якщо товщиною цієї поверхні можна знехтувати. Порівняти з результатом попередньої задачі при  $m=0$ .

**№314** Об'ємна густина струму в циліндричних координатах має вигляд

$$\vec{j} = \vec{j}_0 \left[ \left( \frac{r}{R_0} \right)^m \theta(R_0 - r) + \left( \frac{R_0}{r} \right)^m \theta(r - R_0) \right] \cos(m\varphi),$$

де  $\vec{j}_0 = \vec{e}_z j_0$ ,  $R_0, j_0$  – константи задачі, а  $m \geq 1$  – ціле число. Знайти векторний потенціал  $\vec{A}$  і напруженість  $\vec{H}$  магнітного поля в довільній точці простору.

**№315** Усередині нескінченно довгого циліндра радіуса  $R$  паралельно осі  $Z$  тече струм з об'ємною густинорою  $j_z = j_0 r^2 \cos(3\varphi)$ . Вісь  $Z$  збігається з віссю циліндра,  $r$  – циліндрична координата,  $\varphi$  – полярний кут. Знайти векторний потенціал  $\vec{A}$  і напруженість магнітного поля усередині і зовні циліндра.

**№316** Щільність струму міняється в просторі  $-\infty < \{x, y, z\} < +\infty$  по періодичному закону  $\vec{j} = \vec{j}_0 \cos(\vec{k}\vec{r})$ , де постійні вектори  $\vec{j}_0$  й  $\vec{k}$  ортогональні один до одного. Знайти напруженість  $\vec{H}$  магнітного поля в довільній точці простору.

**№317** Пластина, виготовлена з проводящого матеріалу, має товщину  $L$  в напрямку осі  $Z$  і нескінчені розміри вздовж осей  $X, Y$ . Усередині пластини тече струм з об'ємною щільністю  $j_z = j_0 \sin(k_x x) \sin(k_y y)$ . Знайти векторний потенціал  $\vec{A}$  магнітного поля в довільній точці простору.

**№318** У площині  $Z=0$  знаходиться нескінченно тонка провідна плівка. Уздовж неї тече струм із щільністю  $i_x = i_0 \cos(k_y y)$ . Знайти векторний потенціал  $\vec{A}$  магнітного поля в довільній точці простору, що оточує плівку, якщо остання покриває нескінченну область  $-\infty < \{x, y\} < +\infty$ .

**№319** У сферичної системі координат магнітне поле має такі компоненти

$$H_r = H_0 \left(1 - \frac{3r^2}{5R_0^2}\right) \cos \theta, \quad H_\theta = H_0 \left(\frac{6r^2}{5R_0^2} - 1\right) \sin \theta, \quad H_\varphi = 0 \quad \text{при } r < R_0$$

і

$$H_r = \frac{2H_0}{5} \left( \frac{R_0}{r} \right)^3 \cos \theta, \quad H_\theta = \frac{H_0}{5} \left( \frac{R_0}{r} \right)^3 \sin \theta, \quad H_\varphi = 0 \quad \text{при} \\ r > R_0,$$

де  $R_0$  – радіус циліндра,  $H_0$  – константа задачі. Знайти для цього поля векторний потенціал, що задовольняє додатковій умові  $\operatorname{div} \vec{A} = 0$ .

**№320** При орбітальному русі електрона в атомі водню (який знаходиться в збудженному стані) виникає електричний струм, що може бути представлений (у сферичній системі координат) у вигляді

$$j_r = j_\theta = 0, \quad j_\varphi = j_0 \left( \frac{r}{a_0} \right)^3 e^{-\frac{2r}{3a_0}} \sin^3 \theta, \quad j_0 = \frac{1}{2 \cdot 3^8} \frac{e h}{\pi m a_0^4},$$

де  $a_0$  – боровський радіус, а  $r$  – відстань до протона. Яка напруженість  $\vec{H}$  магнітного поля створюється при цьому в місці перебування протона?

**№321** При орбітальному русі електрона в атомі водню (який знаходиться в збудженному стані) виникає електричний струм, що може бути представлений у вигляді (у сферичній системі координат)

$$j_r = j_\theta = 0, \quad j_\varphi = j_0 \left( \frac{r}{a_0} \right)^{\frac{r}{a_0}} \sin \theta, \quad j_0 = \frac{1}{2^6} \frac{e h}{\pi m a_0^4}.$$

Протон має внутрішній магнітний момент  $\mu$ , спрямований вздовж осі  $Z$ . Знайти енергію  $W$  взаємодії магнітного моменту протона з орбітальним струмом.

**№322** Спін електрона створює в просторі таке магнітне поле  $\vec{H}_s(\vec{r})$ , яке в атомі водню еквівалентно наявності формально введеної щільності «спінового струму»  $\vec{j} = c \operatorname{rot} [\bar{\mu}_0 F(r)]$ , де

$F(r) = \frac{1}{\pi a_0^3} \exp\left(-\frac{2r}{a_0}\right)$ . Тут  $a_0$  – боровський радіус,  $r$  – відстань до протона, а  $\vec{\mu}_0$  – внутрішній магнітний момент електрона. Знайти напруженість магнітного поля  $\vec{H}_s(0)$  в центрі атома водню.

**№323** Для попередньої задачі знайти енергію  $W$  взаємодії магнітного моменту протона  $\vec{\mu}_p$  зі знайденим вище магнітним полем<sup>1</sup>.

**№324** Оскільки електрон в атомі водню “розмазаний” в просторі, то його внутрішній магнітний момент (спінового походження) теж можна вважати неперервно розподіленим у просторі. При цьому щільність магнітного моменту описується функцією  $\vec{\mu}_0 F(r)$ , де  $\vec{\mu}_0$  – внутрішній магнітний момент електрона, а  $F(r)$  – густина електронної хмари на відстані  $r$  від протона. Показати, що «розмазаний» власний магнітний момент електрона створює в навколошньому просторі магнітне поле еквівалентне полю, що створюється струмом провідності  $\vec{j} = c \operatorname{rot} [\vec{\mu}_0 F(r)]$ .

**№325** Два циліндричних провідники однакового радіуса  $R_0$  розташовані паралельно один одному. Відстань між їхніми осями дорівнює  $L > R_0$ . По одному з провідників тече струм  $J_0$  (однорідно розподілений по перетину), а по іншому - антипаралельний струм тієї ж величини. Дослідити просторову залежність напруженості магнітного поля на великих відстанях від цих циліндрів.

**№326** Нескінчений стрижень виготовлений з діелектричного матеріалу і має в перетині форму правильного трикутника зі

<sup>1</sup> Це оцінка спін-спінової взаємодії електрона з протоном в атомі водню.

стороною рівною  $a$ . Бічна поверхня цього стрижня покрита тонкою плівкою провідного матеріалу. По цій провідній поверхні уздовж осі стрижня тече струм з поверхневою густинорою  $J$ . Знайти напруженість магнітного поля на ребрі стрижня й у центрі грані.

**№327** Нескінчений стрижень виготовлений з діелектричного матеріалу і має в перетині форму правильного квадрата зі стороною рівною  $a$ . Бічна поверхня цього стрижня покрита тонкою плівкою провідного матеріалу. По цій провідній поверхні уздовж осі стрижня тече струм з поверхневою густинорою  $J$ . Знайти напруженість магнітного поля на осі стрижня і на одному з ребер.

**№328** Нескінчений стрижень виготовлений з діелектричного матеріалу і має в перетині форму правильного квадрата зі стороною рівною  $a$ . Дві бічні поверхні цього стрижня, що граничать одна з одною, покриті тонкою плівкою провідного матеріалу, а по двох інших бічних поверхнях струм проходити не може. По провідних поверхнях уздовж осі стрижня тече струм з поверхневою щільністю  $J$ . Знайти напруженість магнітного поля  $\vec{H}$  в точках бісектриси між провідними гранями на відстані  $r \ll a$  від його вершини.

**№329** Нескінченно тонкий диск радіуса  $R_0$  рівномірно заряджений з поверхневою густинорою  $\sigma$ . Він обертається навколо своєї осі з постійною кутовою швидкістю  $\omega$ . Знайти напруженість  $\vec{H}$  магнітного поля в довільних точках осі обертання, а також магнітний момент  $M$  такого диска.

**№330** Нескінчений циліндр радіуса  $R$ , рівномірно заряджений з об'ємною густинорою  $\rho_0$ . Він обертається навколо своєї осі з постійною кутовою швидкістю  $\omega$ . Знайти векторний потенціал і напруженість магнітного поля усередині і зовні циліндра.

**№331** Нескінчена циліндрична поверхня радіуса  $R$  рівномірно заряджена з поверхневою густинорою  $\sigma$ . Вона обертається навколо своєї осі з постійною кутовою швидкістю  $\omega$  і одночасно рухається зі швидкістю  $v$  уздовж тієї ж осі. Знайти векторний

потенціал і напруженість магнітного поля в довільній точці простору.

**№332** Куля радіуса  $R$  рівномірно заряджена з об'ємною щільністю  $\rho$ . Вона обертається навколо осі, що проходить через її центр, з постійною кутовою швидкістю  $\omega$ . Знайти векторний потенціал і напруженість магнітного поля в довільній точці простору. Знайти магнітний момент кулі.

**№333** Нескінченно тонка сферична поверхня радіуса  $R$  рівномірно заряджена з поверхневою густиноро  $\sigma$ . Вона обертається навколо осі, що проходить через її центр, з постійною кутовою швидкістю  $\omega$ . Знайти векторний потенціал і напруженість магнітного поля в довільній точці простору. Знайти також магнітний момент обертової сфери.

**№334** Заряд  $Q$  рівномірно розподілений по об'єму еліпсоїда обертання з півосями  $a$  і  $b$  ( $a < b$ ). Еліпсоїд обертається з постійною кутовою швидкістю  $\omega$  навколо самої довгої з осей симетрії. У центрі еліпсоїда знаходиться маленька порожнина, в якій розміщено точкову частинку з магнітним моментом  $\vec{M}$ . Визначити момент сил  $\vec{N}$ , що діє на частинку.

**№335** Заряд розподілений у просторі за законом

$$\rho(\vec{r}) = \frac{Q}{2\pi a^2 b} \delta\left(\frac{x^2 + y^2}{a^2} + \frac{z^2}{b^2} - 1\right),$$

( $a$ ,  $b$  – сталі) і обертається навколо осі  $Z$  з постійною кутовою швидкістю  $\omega$ . Знайти напруженість магнітного поля на початку координат.

**№336** Знайти енергію  $W$  магнітного поля однорідно зарядженої кулі радіуса  $R$ , що обертається навколо свого діаметра з постійною кутовою швидкістю  $\omega$ . Повний заряд кулі  $Q$ . Виразити енергію  $W$  через магнітний момент  $\vec{M}$  кулі, що обертається.

**№337** Знайти енергію  $W$  магнітного поля однорідно зарядженої нескінченно тонкої сферичної поверхні радіуса  $R$ , що обертається навколо свого діаметра з постійною кутовою швидкістю  $\omega$ . Повний заряд сфери  $Q$ . Виразити енергію  $W$  через магнітний момент  $\vec{M}$  обертової сфери.

**№338** Однорідно заряджений по об'єму циліндр радіуса  $R$  обертається навколо своєї осі з постійною кутовою швидкістю  $\omega$ . Знайти енергію  $W$  магнітного поля, що припадає на одиницю довжини цього циліндра. Заряд на одиницю довжини циліндра дорівнює  $Q$ . Виразити енергію  $W$  через магнітний момент  $\vec{M}$  одиниці довжини обертового циліндра.

**№339** Однорідно заряджена нескінченно тонка циліндрична поверхня радіуса  $R$  обертається навколо своєї осі з постійною кутовою швидкістю  $\omega$ . Знайти енергію  $W$  магнітного поля, що припадає на одиницю довжини цієї поверхні. Заряд на одиницю довжини циліндра дорівнює  $Q$ . Виразити енергію  $W$  через магнітний момент  $\vec{M}$  одиниці довжини циліндра, що обертається.

**№340** Обчислити коефіцієнт самоіндукції одиниці довжини циліндричного кабелю, який складається з двох коаксіальних трубок з радіусами  $R_1$  і  $R_2$ .

**№341** Розглядається довгий соленоїд радіуса  $a$  з густиною витків  $n$  на одиницю довжини. Біля центру соленоїда поверх його обмотки намотано коротку котушку з  $N$  витків. Коротка котушка електрично ізольована від обмотки соленоїда. Знайти коефіцієнт взаємної індукції цих котушок.

**№342** Знайти коефіцієнт самоіндукції одиниці довжини прямого колового дроту діаметра  $a$ , що виготовлено із матеріалу з магнітною проникливістю  $\mu$ .

**№343** Вздовж металевого дроту радіуса  $a$  тече однорідно розподілений струм  $I_0$ . Знайти тиск магнітного поля на поверхню цього циліндра.

**№344** Вздовж тонкого металевого циліндра радіуса  $a$  тече однорідно розподілений по поверхні струм  $I_0$ . Знайти тиск магнітного поля на цей циліндр.

**№345** Циліндр, що проводить, виготовлено із матеріалу із магнітною проникливістю  $\mu$ . Він має діаметр  $a$ , по ньому тече повний струм  $I$ . Знайти магнітну енергію, що припадає на одиницю довжини циліндра.

**№346** Квадратна рамка зі стороною  $a$  знаходиться в одній площині із прямолінійним струмом  $J$  і орієнтована так, що сторони рамки або паралельні, або перпендикулярні струму. На якій відстані  $r$  від струму розташована найближча сторона рамки, якщо потік магнітного поля через поверхню рамки дорівнює  $\Phi_0$ ?

**№347** Прямолінійний струм  $J_1$  знаходиться в одній площині зі струмом  $J_2$ , що тече по квадратній рамці зі стороною  $a$ . Рамка орієнтована так, що сторони рамки або паралельні, або перпендикулярні струму  $J_1$ . Найближча сторона рамки розташована на відстані  $r$  від струму  $J_1$  і має одинаковий з ним напрямок струму.

Чому дорівнює сила  $\vec{F}$ , прикладена до рамки?

#### § 4. Електромагнітні властивості речовин. Теоретичні основи.

В динамічному випадку треба мати на увазі, що внаслідок інерції руху після “включення” поля  $\vec{E}$  потрібен ще час, щоб іони (атоми) речовини змінили свої позиції. Тому поляризація  $\vec{P}$  буде формуватися із запізненням. І навпаки, коли поле  $\vec{E}$  “виключається”, індукція  $\vec{D}$  (поляризація) може існувати деякий час, бо частинки ще будуть рухатись далі по інерції. При цьому

$$P(t) = \int_{-\infty}^t \chi(t-t') E(t') dt'. \quad (4.1)$$

або

$$P(t) = \int_0^\infty \chi(\tau) E(t-\tau) d\tau. \quad (4.2)$$

Останні формули виражають *принцип причинності*. Головною перевагою форми запису (4.2) є те, що границі області інтегрування тепер є фіксованими. Для анізотропної речовини замість (4.2) маємо

$$P_i(t) = \int_{-\infty}^{+\infty} \chi_{ij}(\tau) E_j(t-\tau) d\tau. \quad (4.3)$$

**Для того, щоб зробити границі інтегрування симетричними, в (4.3) тензор  $\chi_{ij}(\tau)$  було доозначено**

$$\chi_{ij}(\tau \geq 0) \neq 0, \quad \chi_{ij}(\tau < 0) = 0. \quad (4.4)$$

Тензорна функція відгуку повинна задовольняти таким умовам:

$$\chi_{ij}(\tau = 0) = 0, \quad \chi_{ij}(\tau \rightarrow \infty) = 0. \quad (4.5)$$

Перша із умов (4.5) є наслідком інерційності речовини (зміщення зарядів запізнюються по відношенню до імпульсу сили). Друга умова (4.5) є математичним наслідком гіпотези: “нескінченно довгої пам’яті в природі не існує”.

За означенням

$$\vec{D}(t) = \vec{E}(t) + 4\pi \vec{P}(t), \quad (4.6)$$

звідки випливає

$$D_i(t) = \int_{-\infty}^{\infty} \varepsilon_{ij}(\tau) E_j(t - \tau) d\tau. \quad (4.7)$$

Тут введено тензор діелектричної проникливості

$$\varepsilon_{ij}(\tau) = \delta_{ij}\delta(\tau) + 4\pi\chi_{ij}(\tau). \quad (4.8)$$

Аналогічно розглядаються і нелінійні явища. Наприклад, ефекти другого порядку описуються нелінійною поляризацією:

$$P_i^{(2)}(t) = \int_{-\infty}^{\infty} d\tau_1 \int_{-\infty}^{\infty} d\tau_2 \chi_{ijk}(\tau_1, \tau_2) E_j(t - \tau_1) E_k(t - \tau_2), \quad (4.9)$$

де введено **нелінійну поляризовність другого порядку**  $\chi_{ijk}(\tau_1, \tau_2)$ .

Як наслідок принципу причинності для функцій відгуку другого порядку існують такі умови:

$$\left. \begin{aligned} \chi_{ijk}(\tau_1 < 0, \tau_2) &= 0 \\ \chi_{ijk}(\tau_1, \tau_2 < 0) &= 0 \end{aligned} \right\}. \quad (4.10)$$

Цікавлячись частотною залежністю польових величин, треба представляти довільну електромагнітну хвиллю у вигляді інтегралів Фурье.

$$\vec{E}(t) = \frac{1}{2\pi} \int_{-\infty}^{+\infty} \vec{E}(\omega) e^{-i\omega t} d\omega, \quad \vec{D}(t) = \frac{1}{2\pi} \int_{-\infty}^{+\infty} \vec{D}(\omega) e^{-i\omega t} d\omega, \quad (4.11)$$

При цьому в лінійному наближенні існує зв'язок

$$\vec{D}(\omega) = \hat{\epsilon}(\omega) \vec{E}(\omega), \quad (4.12)$$

де

$$\hat{\epsilon}(\omega) = \int_{-\infty}^{\infty} \hat{\epsilon}(\tau) e^{+i\omega\tau} d\tau, \quad (\hat{\epsilon}(\tau \geq 0) \neq 0, \quad \hat{\epsilon}(\tau < 0) = 0). \quad (4.13)$$

В межах моделі гармонійних осциляторів діелектрична проникливість має таку частотну залежність

$$\varepsilon(\omega) = 1 + 4\pi N \sum_i \frac{f_i \omega_i^2}{\omega_i^2 - \omega^2 - i\gamma_i \omega}, \quad (4.14)$$

де  $N$ ,  $f_i$ ,  $\omega_i$ ,  $\gamma_i$  – константи системи. Для пустого простору (вакууму)

$$\varepsilon_{ij}^{vac}(\tau) = \delta_{ij} \delta(\tau), \quad \varepsilon_{ij}^{vac}(\omega) = \delta_{ij} \int_{-\infty}^{+\infty} \delta(\tau) e^{+i\omega\tau} d\tau = \delta_{ij}. \quad (4.15)$$

Якщо  $\varepsilon(\omega)$  – безрозмірна величина, то функція відгуку  $\varepsilon(\tau)$  має розмірність частоти:  $[\varepsilon(\tau)] = T^{-1}$ .

Для поляризації другого порядку:

$$P_i^{(2)}(t) = \int_{-\infty}^{+\infty} d\tau_1 \int_{-\infty}^{+\infty} d\tau_2 \chi_{ijk}(\tau_1 \tau_2) E_j(t - \tau_1) E_k(t - \tau_2), \quad (4.16.a)$$

$$P_i^{(2)}(\omega) = \int_{-\infty}^{+\infty} d\omega_1 \chi_{ijk}(\omega_1, \omega - \omega_1) E_j(\omega_1) E_k(\omega - \omega_1). \quad (4.16.b)$$

Вище використовуються позначення:

$$\chi_{ijk}(\omega_1 \omega_2) = \int_{-\infty}^{+\infty} d\tau_1 \int_{-\infty}^{+\infty} d\tau_2 \chi_{ijk}(\tau_1 \tau_2) e^{i(\omega_1 \tau_1 + \omega_2 \tau_2)} \quad (4.17)$$

**Бігармонійним називається таке поле:**

$$\vec{E}(\omega) = \vec{A}_1 \cos(\omega_{01} t) + \vec{A}_2 \cos(\omega_{02} t + \varphi_0). \quad (4.18)$$

В цьому випадку нелінійна поляризація  $\vec{P}^{(2)}(\omega)$  відмінна від нуля на таких частотах

$$\omega = 2\omega_{01}, \quad \omega = 2\omega_{02}, \quad \omega = \omega_{01} + \omega_{02}, \quad \omega = \omega_{01} - \omega_{02}, \quad \omega = \omega_{02} - \omega_{01}. \quad (4.19)$$

В речовинах із нелінійністю другого порядку з'являються принципово нові ефекти: генерація *другої гармоніки*, генерація *сумарних частот* і генерація *різницевих частот*.

Діелектрична проникливість має такі властивості. Якщо функція відгуку  $\hat{\varepsilon}(\tau)$  – дійсна, то  $\varepsilon(\omega) = \varepsilon'(\omega) + i\varepsilon''(\omega)$  – комплексна. При цьому

$$\varepsilon'(\omega) = \varepsilon'(-\omega), \quad \varepsilon''(\omega) = -\varepsilon''(-\omega) \quad (4.20)$$

дійсна частина діелектричної проникливості парна функція частоти, а уявна частина є непарною функцією. При  $\omega = 0$  величина  $\varepsilon'(\omega = 0)$  може бути довільною, але уявна частина діелектричної проникливості для статичних полів  $\varepsilon''(\omega = 0) = 0$ .

Коливання зв'язаних зарядів дають такий внесок у струм:

$$\vec{J}_{\text{зг}}(t) = \frac{\partial \vec{P}(t)}{\partial t}, \quad \vec{J}_{\text{зг}}(\omega) = -i\omega \vec{P}(\omega) \quad (4.21)$$

Вільні носії заряду обумовлюють струм провідності

$$\vec{J}_{\text{провідн}} = \sigma \vec{E}_0 \quad (4.22)$$

( $\vec{E}_0$  – стало поле). Розширяючи означення (4.22) на інші типи струмів (в тому числі – на поляризаційні струми) і використовуючи (4.21) можна ввести коефіцієнт високочастотної провідності  $\sigma(\omega)$ , що пов'язаний із уявною частиною діелектричної проникливості

$$\varepsilon''(\omega) = \frac{4\pi\sigma(\omega)}{\omega} \quad (4.23)$$

Загалом при розгляді низькочастотних явищ частіше вводять провідність  $\sigma$ , а в області високих частот –  $\varepsilon''(\omega)$ .

Для того, щоб ввести макроскопічні характеристики речовини (в тому числі –  $\varepsilon(\omega)$ ) треба робити усереднення по фізично нескінченно малому об'ємі (ФНМО), лінійні розміри якого задовільняють умовам

$$a_0 \ll \Delta\ell \ll \lambda = \frac{2\pi c}{\omega}. \quad (4.24)$$

Це накладає обмеження на верхню границю частот

$$\omega \ll \omega_{\text{верхн}} \sim \frac{2\pi c}{a_0} , \quad (4.25)$$

до якої можна використовувати рівняння Максвела ( $a_0$  – середня відстань між частинками речовини).

Що стосується магнітної сприйнятливості, то для того, щоб ввести  $\mu$  треба зробити операцію усереднення за часом  $\Delta T$ , більшим, ніж характерний період руху електронів в атомах, тобто

$$\Delta T >> \frac{1}{\omega_{\text{xap}}} \quad (4.26)$$

Але при цьому само введення  $\mu$  має сенс тільки на частотах  $\omega \ll \omega_{\text{xap}} \ll \omega_{\text{верхн}}$ . Звичайно, характерні частоти обертань електронів  $\omega_{\text{xap}} \sim 10^{15}$  гц знаходяться в оптичній області. Тому починаючи з оптичних частот і далі до ультрафіолету треба покладати  $\mu(\omega)=1$ .

Виходячи із принципу причинності можна показати, що дійсна та уявна частини лінійної діелектричної проникливості  $\epsilon(\omega) = \epsilon'(\omega) + i\epsilon''(\omega)$  пов'язані між собою формулами

$$\begin{aligned} \epsilon'(\omega) &= 1 + \frac{1}{\pi} P \int_{-\infty}^{\infty} \frac{\epsilon''(\omega')}{\omega' - \omega} d\omega', \\ \epsilon''(\omega) &= -\frac{1}{\pi} P \int_{-\infty}^{\infty} \frac{\epsilon'(\omega') - 1}{\omega' - \omega} d\omega' \end{aligned} \quad (4.27)$$

(дисперсійні *спiввiдношення Крамерса-Кронига*). Символом  $P \int$  тут позначено головне значення інтеграла. У випадку металів, де  $\epsilon(\omega)$  має полюс при  $\omega = 0$ , друга із формул (4.27) приймає вигляд

$$\epsilon''(\omega) = -\frac{1}{\pi} \int_{-\infty}^{\infty} \frac{\epsilon'(\omega') - 1}{\omega' - \omega} d\omega' + \frac{4\pi\sigma}{\omega} . \quad (4.28)$$

Тут  $\sigma$  – статична провідність металу.

Для дійсної функції  $\chi_{ijk}(\tau_1\tau_2)$  із (4.17) випливає зв'язок між дійсною та уявною частинами  $\hat{\chi}'$  і  $\hat{\chi}''$  аналогічний тому, який має місце для лінійної сприйнятливості (аналог(2.27)).

Рух вектора намагніченості у феромагнетику описується *рівнянням Ландау—Ліфшиця*

$$\frac{d\vec{M}}{dt} = -\gamma [\vec{M} \times \vec{H}], \quad \gamma = \frac{e_0}{mc}. \quad (4.29)$$

Тут  $\vec{M}$  – вектор намагніченості,  $\vec{H}$  – середнє магнітне поле.

Для того, щоб рівняння (4.29) враховувало втрати електромагнітної енергії в речовині, його треба доповнити дисипативним членом:

$$\frac{d\vec{M}}{dt} = -\gamma \left[ \vec{M} \times \left( \vec{H} - p \frac{d\vec{M}}{dt} \right) \right], \quad (4.30)$$

де  $p$  – коефіцієнт втрат. Якщо втрати малі, а повне магнітне поле  $\vec{H} = \vec{H}_0 + \vec{h}(t)$  являє собою суму сталого поля  $\vec{H}_0$  і змінного поля  $\vec{h}(t)$ , то рівняння (4.30) приймає більш простий вигляд:

$$\frac{d\vec{M}}{dt} = -\gamma [\vec{M} \times \vec{H}] + \omega_r (\chi_0 \vec{H} - \vec{M}). \quad (h \ll |H_0|) \quad (4.31)$$

Тут  $\chi_0 = M_0 / H_0$ ,  $\omega_r = p \gamma^2 M_0^2 / \chi_0$ ,  $M_0 = |\vec{M}|$  – намагніченість насищення. Рівняння Ландау-Ліфшиця у вигляді (4.31) звичайно використовується для рішення задач про феромагнітний резонанс.

Можна показати, що для опису електромагнітного поля в речовині достатньо ввести, окрім напруженостей електричного та магнітного полів ще тільки один вектор індукції  $\vec{D}'(r, t)$  (а не два,  $\vec{D}$  та  $\vec{B}$ , як звичайно):

$$\vec{D}'(\vec{r}, t) = \vec{E}(r, t) + 4\pi \int_{-\infty}^t \vec{j}(\vec{r}, t') dt' . \quad (4.32)$$

Тут  $\vec{j}(\vec{r}, t')$  — усереднена густина струму, що наводиться в речовині. Остання задоволяє рівнянню неперервності

$$\operatorname{div} \vec{j} + \partial \rho / \partial t = 0 , \quad (4.33)$$

де  $\rho$  — середня густина заряду в речовині.

### § 4.1. Електромагнітні властивості речовин. Умови задач.

**№400** Функція відгуку  $\chi(t)$ , що визначає зв'язок між  $\vec{D}(t)$  та  $\vec{E}(t)$ , має вигляд  $\chi(t) = \chi_0 \exp[-t/\tau]$ , де  $\chi_0$  і  $\tau$  – константи. Знайти Фур'є-компоненту діелектричної проникливості  $\varepsilon(\omega)$  на частоті  $\omega$ .

**№401** Часова функція відгуку  $\chi(t)$  має вигляд  $\chi(t) = \frac{a}{1+b^2 t^2}$ , де  $-\infty < t < \infty$ ,  $a > 0$ . Знайти дійсну частину діелектричної проникливості  $\varepsilon'(\omega)$ .

**№402** Часова функція відгуку  $\chi(t)$  має вигляд  $\chi(t) = \frac{a \cdot t}{1+b^2 t^2} \theta(t)$ , де  $a > 0$ ,  $b > 0$ , а  $\theta(t)$  – функція Хевісайда. Знайти дійсну частину діелектричної проникливості  $\varepsilon'(\omega)$ .

**№403** Які компоненти тензора діелектричної проникливості будуть відмінні від нуля в кристалах, що мають вісь симетрії третього порядку  $C_3$  і три площини симетрії  $\sigma_V$ ?

**№404** Які компоненти тензора діелектричної проникливості будуть відмінні від нуля в кристалах, що мають<sup>2</sup> вісь симетрії четвертого порядку  $C_4$  і чотири площини симетрії  $\sigma_V$ ?

---

<sup>2</sup> У всіх задачах, де задається симетрія, перелічено тільки основні елементи. При цьому розуміється, що існують ще інші елементи, необхідні для утворення групи (одиничний елемент, обернені елементи, всі можливі добутки).

**№405** Які компоненти тензора діелектричної проникливості будуть відмінні від нуля в кристалах, що мають вісь симетрії шостого порядку  $C_6$  і шість площин симетрії  $\sigma_V$ ?

**№406** Чи може існувати піроелектричний ефект в кристалах, де існує вісь симетрії четвертого порядку та перпендикулярна до неї площа симетрії?

**№407** Знайти найпростіший вигляд тензора діелектричної проникливості в кристалах, де існують такі елементи симетрії:  $C_4^X, C_4^Y, C_4^Z$ .

**№408** Одновимірний гармонічний осцилятор описується класичним рівнянням руху із потенційною енергією  $U(x) = -k_0 x^2$ . Маса осцилятора  $m$ , його заряд –  $q$ . Знайти для нього тензор лінійної поляризації.

**№409** Одновимірний ангармонічний осцилятор описується класичним рівнянням руху із потенційною енергією  $U(x) = -k_0 x^2 + bx^3$ . Маса осцилятора  $m$ , його заряд -  $q$ . Знайти для нього тензор нелінійної поляризації другого порядку, що відповідає за генерацію другої гармоніки. Параметр “ $b$ ” вважати малим.

**№410** Одновимірний ангармонічний осцилятор описується класичним рівнянням руху із потенційною енергією  $U(x) = -k_0 x^2 + gx^4$ . Маса осцилятора  $m$ , його заряд –  $q$ . Знайти для нього тензор нелінійної поляризації третього порядку, що відповідає за генерацію третьої гармоніки. Параметр “ $g$ ” вважати малим.

**№411** Одновимірний ангармонічний осцилятор описується класичним рівнянням руху із потенційною енергією  $U(x) = -k_0 x^2 + bx^3$ . Маса осцилятора  $m$ , його заряд –  $q$ . На осцилятор діє зовнішнє електромагнітне поле  $E_x = A_1 \exp(-i\omega_1 t) + A_2 \exp(-i\omega_2 t)$ ,  $\omega_1 \neq \omega_2$ . Знайти для нього тензор

нелінійної поляризації другого порядку, що відповідає за генерацію сумарної частоти  $\omega_3 = \omega_1 + \omega_2$ . Параметр “ $b$ ” вважати малим.

**№412** Одновимірний ангармонічний осцилятор описується класичним рівнянням руху із потенціальною енергією  $U(x) = -k_0 x^2 + bx^3$ . Маса осцилятора  $m$ , його заряд –  $q$ . На осцилятор діє зовнішнє електромагнітне поле  $E_x = A_1 \exp(-i\omega_1 t) + A_2 \exp(-i\omega_2 t)$ ,  $\omega_1 \neq \omega_2$ . Знайти для нього тензор нелінійної поляризації другого порядку, що відповідає за генерацію різницевої частоти  $\omega_4 = \omega_1 - \omega_2$ . Параметр “ $g$ ” вважати малим.

**№413** Діелектрична речовина має такі елементи симетрії: а) вісь обертання  $C_4^Z$ , б) площини відбивання  $\sigma_V^X, \sigma_V^Y$ . Визначити, які компоненти тензору третього рангу, що відповідають за генерацію другої гармоніки, можуть бути відмінними від нуля?

**№414** Діелектрична речовина має такі елементи симетрії: три осі обертання  $C_2^X, C_2^Y, C_2^Z$  (при цьому нема площин відбивання). Визначити, які компоненти тензору третього рангу, що відповідають за генерацію другої гармоніки, можуть бути відмінними від нуля?

**№415** Система складається із двоатомних молекул типу  $NaCl$ , що не взаємодіють між собою і розташовані хаотично із середньою густинною  $N$ . Знаючи резонансну частоту  $\Omega$  коливань окремих молекул, її силу осцилятора і вважаючи, що затухання коливань є повільним, знайти часову функцію відгуку такої системи.

**№416** Розглянемо нейтральну плазму, що складається із електронів та іонів з однаковою концентрацією  $N$ . Знайти частотну залежність дійсної частини діелектричної проникливості плазми при умові, що втратами енергії (затуханням коливань) можна знехтувати<sup>3</sup>.

<sup>3</sup>У всіх задачах вважається, що рух електронів описується законами класичної механіки.

**№417** Розглянемо нейтральну плазму, що складається із електронів та іонів з однаковою концентрацією  $N$ . Знайти питому провідність плазми при умові, що внеском іонів в провідність можна знехтувати. Втрати енергії під час руху електронів вважати пропорційними їх швидкості.

**№418** Знайти часову функцію відгуку для плазми, що складається із частинок масою  $m$  і зарядом  $q$ . Густина частинок  $N$ . Втрати енергії вважати пропорційними швидкості частинок.

**№419** Повністю іонізований нейтральний газ складається із  $N$  електронів та рівної кількості однозарядних іонів. Він знаходиться в сталому магнітному полі  $\vec{H}_0$ . Знайти частотну залежність діелектричної проникливості газу з врахуванням руху як електронів, так і позитивних іонів. Вважати, що маса іонів  $M$  значно більша за масу електронів  $m$ , а ефективна «сила тертя», діюча на частинки, пропорційна їх швидкостям.

**№420** Розглянемо нейтральну плазму, що складається із електронів (концентрація  $N$ ) та рівного числа іонів. На плазму діють схрещені електричне і магнітне поля з напруженостями  $\vec{E}_0, \vec{H}_0$  відповідно. Знайти в лінійному по  $|H_0|$  наближенні зв'язок між густиною електричного струму  $\vec{j}$  і полем  $\vec{E}_0$ . Знайти вигляд частотної залежності тензора електропровідності.

**№421** Полярні молекули (с концентрацією  $N$ ), що мають циліндричну симетрію при температурі  $T$  знаходяться в газоподібному стані. При відсутності зовнішнього поля кожна молекула має електричний дипольний момент  $\vec{d}_0$ . На газ діє стало електричне поле  $\vec{E}_0$  (що орієнтує молекули) і змінне поле  $\vec{E}_1(t) = \vec{A}e^{-i\omega t}$ . Діагональні компоненти тензору лінійної поляризованості молекули на частоті  $\omega$  такі:  $\chi_{11}(\omega) = \chi_{22}(\omega) \neq \chi_{33}(\omega)$

(в системі власних координат молекули). Вважаючи, що  $|E_1| \ll |E_0|$ , знайти тензор діелектричної проникливості цього газу на частоті  $\omega$ .

**№422** Композитний матеріал являє собою твердий полімер (діелектрик) з діелектричною проникливістю  $\epsilon$ , в який хаотично вкраплено дріб. Останній може бути представлено у вигляді ідеально провідних металевих сфер радіуса  $R$ . Середнє число кульок дробу в одиниці об'єму дорівнює  $N$ . Нехтуючи відмінністю поля, діючого на кожну дробинку, від середнього поля, визначити електричну  $\epsilon$  и магнітну  $\mu$  проникливості такого композита.

**№423** Показати, що коли в речовині не відбувається дисипації електромагнітної енергії, то тензор його поляризовності задовільняє умові симетрії  $\chi_{ik} = \chi_{ki}$ .

**№424** Однорідний діелектрик знаходиться в постійному магнітному полі  $\vec{H}_0$ . Властивості діелектрика можуть моделюватися сукупністю  $N$  гармонійних осциляторів із резонансною частотою  $\omega_0$  и силою осцилятора  $S_0$ . Заряд осцилятора  $q$ , його ефективна маса  $m$ . Знайти залежність тензора діелектричної проникливості  $\epsilon_{ik}(\vec{H}_0, \omega)$  від величини магнітного поля. Дисипацією електромагнітної енергії можна знехтувати.

**№425** Розріджений газ складається з  $N$  атомів, між якими практично нема взаємодії. Кожний із атомів еквівалентний гармонійному осцилятору із резонансною частотою  $\omega_0$  и силою осцилятора  $S_0$ . Заряд осцилятора  $q$ , його ефективна маса  $m$ . Знайти тензор гирації  $\hat{g}$  цієї системи. Враховувати тільки коливання осциляторів (просторовими переміщеннями атомів можна знехтувати).

**№426** Знайти дійсну частину діелектричної проникливості  $\epsilon'(\omega)$ , якщо відома частотна залежність її уявної частини:

$$\varepsilon''(\omega) = \frac{(\varepsilon_0 - 1)\omega\tau}{1 + \omega^2\tau^2}, \quad (0 < \omega < \infty)$$

( $\varepsilon_0, \tau$  – константи системи).

**№427** Ідеальний газ складається із  $N$  атомів з масою  $m$  і зарядом  $q$ . Кожний атом має декілька резонансних частот в оптичній області спектра. Показати, що інтеграл  $F_1 = \int_0^\infty [Im\left(\frac{1}{\varepsilon(\omega)}\right)]\omega d\omega$  може бути виражений тільки через одну плазмову частоту  $\omega_p = \sqrt{4\pi N q^2 / m}$ .

**№428** Ідеальний газ складається із  $N$  атомів з масою  $m$  і зарядом  $q$ . Кожний атом має декілька резонансних частот в оптичній області спектра. Показати, що інтеграл  $F_2 = \int_0^\infty [Im \varepsilon(\omega)]\omega d\omega$  може бути виражений тільки через одну плазмову частоту  $\omega_p = \sqrt{4\pi N e^2 / m}$ .

**№429** Феритова речовина намагнічена до насычення сильним постійним, однорідним полем  $\vec{H}_0$ . В момент часу  $t=0$  вектор намагніченості  $\vec{M}$  виведено із стану рівноваги і він має довільну просторову орієнтацію  $\vec{M}_0$ . Як буде рухатися вектор намагніченості  $\vec{M}(t)$  при  $t > 0$ ? Втратами енергії під час руху і впливом розмірів системи можна знехтувати.

**№430** Для попередньої задачі знайти закон руху вектора намагніченості з урахуванням втрат. Вважати, що кути відхилення

вектора  $\vec{M}$  від напрямку зовнішнього магнітного поля  $\vec{H}_0$  малі і час релаксації  $\tau$  задовільняє умові  $\tau \gamma H_0 \gg 1$ .

**№431** Феромагнітний матеріал розміщено між полюсами магніту, що створює стале магнітне поле напруженістю  $\vec{H}_0 = \vec{e}_z H_0$ . Одночасно на цей матеріал діє високочастотне електромагнітне поле із частотою  $\omega$  і амплітудою  $\vec{h}$  (хвиля має лінійну поляризацію). Знайти частотну залежність тензора магнітної сприйнятливості речовини. Обмежитись лінійним наближенням по амплітуді високочастотного поля, вважаючи, що  $|\vec{h}| \ll |\vec{H}_0|$  і нехтуючи процесами дисипації енергії.

**№432** Феромагнітний матеріал поміщено між полюсами магніту, що створює стале магнітне поле напруженістю  $\vec{H}_0 = \vec{e}_z H_0$ . Одночасно на цей матеріал діє поляризоване по колу високочастотне електромагнітне поле  $\vec{h} = \vec{e}_x h_x + \vec{e}_y h_y$ , де  $h_x = h_0 \cos \omega t$ ,  $h_y = h_0 \sin \omega t$ . Знайти закон руху вектора намагніченості речовини  $\vec{M}(t)$  при умові, що  $|\vec{M}(t)| = M_0 = \text{const}$ . Обмежитись лінійним наближенням по амплітуді високочастотного поля, вважаючи, що  $|\vec{h}| \ll |\vec{H}_0|$  і знехтувати процесами дисипації енергії.

**№433** В конденсаторі розміщено плоску кювету, зроблену із тонкого скла. Внутрішня відстань між стінками кювети  $d$ . Спочатку в об'ємі кювети створюється постійне однорідне електричне поле з напруженістю  $E_0$ . Далі кювета заповнюється плазмою. Остання в

цілому електронейтральна. Середня (по всьому об'єму кювети) концентрація електронів плазми  $N_0$ . Знайти а) просторовий перерозподіл концентрації електронів під дією прикладеного поля, і б) розподіл напруженості поля усередині плазми при умові, що зміну цих величин можна вважати малою ( $|N(\vec{r}) - N_0| \ll N_0, |E(\vec{r}) - E_0| \ll E_0$ ). Для спрощення рішення в цій задачі рухом іонів можна знехтувати.

**№434** Нейтральна плазма складається із іонів (заряд  $Ze$ , середня концентрація  $N_0$ ) та електронів (заряд  $-e$ , середня концентрація  $n_0$ ). Знайти розподіл густини заряду поблизу окремого іона, якщо температура плазми дорівнює  $T$ . Квантовими ефектами знехтувати. Вважати, що рух частинок може бути описаний як класичний, причому всі вони рухаються незалежно одна від одної.

**№435** Мензурка являє собою скляний циліндр радіуса  $R_0$ . До неї налито слабкий водний розчин повареної солі  $NaCl$ . Об'єм мензурки  $V$ , загальна кількість позитивних іонів  $N_0$  дорівнює кількості негативних іонів. В середину мензурки опущено товстий металевий стрижень радіуса  $R_1 = R_0 - \Delta R$ ,  $\Delta R \ll R_0$ , а з зовнішнього боку мензурка обгорнута тонким металевим електродом. Між останнім і центральним стрижнем прикладена різниця потенціалів  $U_0$ . Знайти просторовий розподіл густини іонів в стаціональному стані, якщо температура розчину  $T$ . Товщиною скляної стінки можна знехтувати.

**№436** Виразити коефіцієнт заломлення  $n$  через  $\epsilon'$  та  $\epsilon''$ .

**№437** Виразити коефіцієнт поглинання  $\alpha$  через  $\epsilon'$  та  $\epsilon''$ .

**№438** На плоску платівку товщиною  $l$  вздовж її нормалі до поверхні  $z$  падає плоска хвиля  $\vec{E}(\vec{r}, t) = \vec{A}_0 e^{-\alpha z} \cos(k_z z - \omega t)$ . Вважаючи дійсну  $\epsilon'$  та уявну  $\epsilon''$  частини діелектричної проникливості відомими, знайти енергію, що поглинається в платівці за одиницю часу. Покласти  $\mu=1$ .

**№439** Речовина характеризується діелектричною сталою  $\epsilon_0$ , що вдвічі більша ніж  $\epsilon_\infty$ . Знайти групову швидкість електромагнітної хвилі на частоті, що вдвічі менша за резонансну частоту  $\omega_0$  (розглядається однорезонансний випадок).

**№440** Відомо, що групова швидкість електромагнітної хвилі в деякому середовищі має таку частотну залежність:

$$V_{gp}(\omega) = \frac{c}{\left(1 - \frac{\omega_0^2}{\omega^2}\right)}.$$

Знайти частотну залежність фазової швидкості, якщо  $V_{\text{фаз}}(\omega_0) = c/2$ .

**№441** Є неоднорідна плоска монохроматична хвиля з хвильовим вектором  $\vec{k} = \vec{k}' + \vec{k}''$  (при цьому вектор  $\vec{k}'$  не паралельний до  $\vec{k}''$ ). Відомо, що вектор напруженості  $\vec{E}$  електричного поля не комплексна, а дійсна величина і його амплітуда також відома. Знайти орієнтацію  $\vec{E}$  відносно  $\vec{k}$  та напруженість магнітного поля  $\vec{H}$ , що пов'язане з  $\vec{E}$ .

**№442** У вакуумі на безмежну плоску поверхню немагнітного провідника ( $\epsilon, \sigma = \text{const}, \mu = 1$ ) падає під кутом  $\alpha$  плоска монохроматична хвиля, напрямок поляризації якої складає кут  $\theta$  з

площиною падіння. Визначити інтенсивність та стан поляризації (плоскополяризована, циркулярно поляризована і т.д.), якщо інтенсивність хвилі, що падає  $I_0$ .

## § 5. Розповсюдження електромагнітних хвиль. Теоретичні основи.

Напруженості електричного  $\vec{E}$  і магнітного  $\vec{H}$  полів у загальному випадку задовольняють рівняння Максвелла:

$$\operatorname{rot} \vec{E} = -\frac{1}{c} \frac{\partial \vec{B}}{\partial t}, \quad (5.1)$$

$$\operatorname{rot} \vec{H} = \frac{4\pi}{c} \vec{j} + \frac{1}{c} \frac{\partial \vec{D}}{\partial t}, \quad (5.2)$$

$$\operatorname{div} \vec{D} = 4\pi \rho, \quad (5.3)$$

$$\operatorname{div} \vec{B} = 0, \quad (5.4)$$

де  $\rho$  і  $j$  – об'ємна густина вільних зарядів і струмів у просторі.

Точкові заряди  $q_i$  ( $i = 1, 2, \dots, N$ ), що рухаються зі швидкостями  $\vec{v}_i$ , утворюють у просторі розподіл об'ємного заряду і струму відповідно до формул

$$\begin{aligned} \rho(\vec{r}, t) &= \sum_{n=1}^N q_n \delta(\vec{r} - \vec{r}_n), \\ \vec{j}(\vec{r}, t) &= \sum_{n=1}^N q_n \vec{v}_n \delta(\vec{r} - \vec{r}_n) \end{aligned}, \quad (5.5)$$

де  $\vec{r}_n = \vec{r}_n(t)$  – радіус-вектор  $n$  – того заряду.

З (2) і (3) випливає рівняння неперервності

$$\operatorname{div} \vec{j} + \frac{\partial \rho}{\partial t} = 0, \quad (5.6)$$

інтегрування якого по об'єму веде до закону збереження заряду у формі

$$\oint_S \vec{j} d\vec{S} = -\frac{dQ}{dt}, \quad Q = \int_V \rho dv. \quad (5.7)$$

Тут  $Q$  – повний заряд усередині замкненої поверхні  $S$ , що обмежує об'єм  $V$ .

Електромагнітне поле, що повільно змінюється, задовольняє умові

$$\omega \ll \frac{c}{L} \quad (5.8)$$

( $L$  – максимальний лінійний розмір випромінюючої області простору), називається **квазістационарним**. Воно описується рівняннями Максвелла (1)-(4), у яких  $c \rightarrow \infty$  (тобто доданки  $\frac{1}{c} \frac{\partial H}{\partial t}$

й  $\frac{1}{c} \frac{\partial E}{\partial t}$  опущено).

Випромінюючі властивості системи визначаються такими характеристиками:

- дипольний момент

$$\vec{d} = \sum_{i=1}^N q_i \vec{r}_i, \quad , \quad (5.9)$$

- тензор квадрупольного моменту <sup>4</sup>

$$Q_{\alpha\beta} = \sum_{n=1}^N q_n \left( x_{n\alpha} x_{n\beta} - \frac{1}{3} r_n^2 \delta_{\alpha\beta} \right), \quad (5.10)$$

- магнітний момент системи

$$\vec{M} = \frac{1}{2c} \sum_{i=1}^N p [\vec{r}_i \times \vec{v}_i], \quad (5.11)$$

---

<sup>4</sup> В (10) сума береться по частинкам  $n$ .

де радіус-вектор  $\vec{r}_i = \vec{r}_i(t)$  і швидкість  $\vec{v}_i = \vec{v}_i(t)$   $i$ -того заряду є функціями часу.

Електромагнітні поля, що поширюються у просторі (речовині) при відсутності вільних зарядів і струмів, називаються **електромагнітними хвиллями**.

У вільному просторі без зарядів із рівнянь Максвела випливають **хвильові рівняння**

$$\left. \begin{aligned} \nabla^2 \vec{E} - \frac{1}{c^2} \frac{\partial^2 \vec{E}}{\partial t^2} &= 0 \\ \nabla^2 \vec{H} - \frac{1}{c^2} \frac{\partial^2 \vec{H}}{\partial t^2} &= 0 \end{aligned} \right\} \quad (5.12)$$

Електромагнітні хвилі у вакуумі можна досліджувати за допомогою **електромагнітних потенціалів**, що задовольняють рівнянням

$$\nabla^2 \vec{A} - \frac{1}{c^2} \frac{\partial^2 \vec{A}}{\partial t^2} = 0, \quad \nabla^2 \varphi - \frac{1}{c^2} \frac{\partial^2 \varphi}{\partial t^2} = 0. \quad (5.13)$$

Додаткова умова

$$d i v \vec{A} = 0, \quad \varphi = 0 \quad (5.14)$$

називається **кулонівською калібривкою**. В деяких задачах зручніше використовувати іншу умову, що називається **лоренцевою калібривкою**. Остання має вигляд

$$d i v \vec{A} + \frac{1}{c} \frac{\partial \varphi}{\partial t} = 0. \quad (5.15)$$

Напруженості електричного і магнітного полів виражаються через потенціали у такий спосіб:

$$\vec{E} = -\nabla \varphi - \frac{1}{c} \frac{\partial \vec{A}}{\partial t}, \quad \vec{H} = \text{rot} \vec{A}. \quad (5.16)$$

Як характеристики полів використовуються такі величини: густина потоку електромагнітної енергії (вектор Умова-Пойнтінга)

$$\vec{S} = \frac{c}{4\pi} [\vec{E} \times \vec{H}], \quad (5.17.a)$$

густина імпульсу

$$\vec{g} = \frac{1}{c} \vec{S}, \quad (5.17.b)$$

густина енергії електромагнітного поля

$$w = \frac{1}{8\pi} (E^2 + H^2) \quad (5.18)$$

Для плоскої монохроматичної хвилі напруженості полів записуються у стандартній формі

$$\vec{E} = R e [\vec{E}_0 e^{i(kr - \omega t)}], \quad \vec{H} = R e [\vec{H}_0 e^{i(\vec{k} \cdot \vec{r} - \omega t)}] \quad (5.19)$$

де  $\vec{k}$  – хвильовий вектор ( $k = \omega/c$ ),  $\omega$  – частота хвилі,  $\vec{E}_0$ ,  $\vec{H}_0$  – комплексні амплітуди електричного і магнітного компонентів хвилі.

Представимо комплексну амплітуду поля  $\vec{E}_0$  у вигляді

$$\left. \begin{aligned} \vec{E}_0 &= \vec{b} \exp(-i\alpha), \\ \vec{b} &= \vec{b}_1 + i\vec{b}_2, \quad (\vec{b}_1 \cdot \vec{b}_2) = 0 \end{aligned} \right\} \quad (5.20)$$

де фаза  $\alpha$  і вектори  $\vec{b}_1$  та  $\vec{b}_2$  є дійсними величинами. При цьому в ізотропному середовищі систему координат можна вибрати так, щоб

$$E_x = b_1 \cos(\omega t - kz), \quad E_y = \pm b_2 \sin(\omega t - kz). \quad (5.21)$$

У цьому випадку виконується умова

$$\frac{E_x^2}{b_1^2} + \frac{E_y^2}{b_2^2} = 1. \quad (5.22)$$

Хвилі типу (21) називаються **еліптично - поляризованими**. Знаки + і – перед коефіцієнтом  $b_2$  у формулі (21) відповідають правому і лівому обертанням вектора поляризації (для стисності часто

говорять просто про “праву” і “ліву” поляризації). У випадку  $b_1 = b_2 = b$  еліпс перетворюється в окружність, і хвиля (5.21) називається **циркулярно – поляризованою**.

Якщо вектор напруженості поля має стала орієнтацію при розповсюдженні, то така хвиля називається **лінійно-поляризованою хвилею**

$$\vec{E} = \vec{e}_p E_0 e^{i(\vec{k} \cdot \vec{r} - \omega t - \alpha)}. \quad (5.23)$$

Тут  $\vec{e}_p$  – одиничний вектор поляризації,  $\alpha$  – постійне зміщення фази, а амплітуда  $E_0$  може розглядатися як дійсна величина. Зауважимо, що фізичний зміст має тільки дійсна або уявна частина комплексного виразу (5.23).

Суперпозиція плоских монохроматичних хвиль з різними хвильовими векторами і частотами звєтється **хвильовим пакетом**:

$$\Psi(\vec{r}, t) = \int \psi(\vec{k}) \exp[i(\vec{k} \cdot \vec{r} - \omega t)] d^3v. \quad (5.24)$$

Тут  $\Psi(r, t)$  – компонента вектора  $\vec{E}$  або  $\vec{H}$ . Функція  $\psi(\vec{k})$ , що характеризує частку кожної окремої хвилі в загальній суперпозиції, звєтється **амплітудною функцією**.

Максимум амплітуди хвильового пакета переміщується в просторі із груповою швидкістю

$$\vec{v}_g = \frac{d\omega}{d\vec{k}}. \quad (5.25)$$

При падінні плоскої хвилі на плоску границю розподілу двох середовищ кути  $\theta_0, \theta_1, \theta_2$ , що вказують напрямки поширення відповідно падаючих, відбитих і заломленої хвиль, зв'язані між собою співвідношеннями:

$$\theta_1 = \theta_0, \quad \frac{\sin \theta_2}{\sin \theta_0} = \frac{n_1}{n_2}, \quad n_i = \sqrt{\varepsilon_i} \quad (5.26)$$

де  $n_{1,2}$  – показники заломлення першого і другого середовищ (вважаємо  $\mu_1 = \mu_2 = 1$ ).

Амплітуди відбитої  $(\vec{E}_1, \vec{H}_1)$  і заломленої  $(\vec{E}_2, \vec{H}_2)$  хвиль виражуються через амплітуди  $\vec{E}_0, \vec{H}_0$  падаючої хвилі **формулами Френеля**:

а) якщо  $\vec{E}_0$  нормально до площини падіння, то

$$\vec{E}_1 = \frac{\sin(\theta_2 - \theta_0)}{\sin(\theta_2 + \theta_0)} \vec{E}_0, \quad \vec{E}_2 = \frac{2 \cos \theta_0 \sin \theta_2}{\sin(\theta_2 + \theta_0)} \vec{E}_0; \quad (5.27)$$

б) якщо  $\vec{H}_0$  нормально до площини падіння, то

$$\vec{H}_1 = \frac{t g(\theta_0 - \theta_2)}{t g(\theta_0 + \theta_2)} \vec{H}_0, \quad \vec{H}_2 = \frac{\sin 2 \theta_0}{\sin(\theta_0 + \theta_2) \cos(\theta_0 - \theta_2)} \vec{H}_0. \quad (5.28)$$

В анізотропному середовищі в даному напрямку можуть поширюватися з різними фазовими швидкостями дві плоскі монохроматичні хвилі однієї частоти, поляризовані лінійно в двох взаємно перпендикулярних площинах. Напрямки, вздовж яких обидві хвилі мають однакові швидкості поширення, називаються **оптичними осями**.

Кристали, в яких два головних значення тензора діелектричної проникності співпадають ( $\varepsilon^{(1)} = \varepsilon^{(2)} = \varepsilon_{\perp}, \quad \varepsilon^{(3)} = \varepsilon_{\parallel}$ ), називаються **одноосними**. Хвильові вектори двох хвиль, що поширюються під одинаковим кутом  $\theta$  до оптичної осі, мають у цьому випадку такі довжини:

$$k_1 = \frac{\omega}{c} \sqrt{\varepsilon_{\perp}} \mu, \quad k_2 = \frac{\omega}{c} \sqrt{\frac{\varepsilon_{\perp} \varepsilon_{\parallel} \mu}{\varepsilon_{\perp} \sin^2 \theta + \varepsilon_{\parallel} \cos^2 \theta}}. \quad (5.29)$$

Перша з цих хвиль називається **звичайною**, (у ній  $\vec{E}_0 \parallel \vec{D}_0$ ,  $\vec{E}_0 \perp \vec{k}$ ). Друга хвилля називається **незвичайною**.

При наявності зовнішнього постійного магнітного поля тензори  $\varepsilon_{ik}$  і  $\mu_{ik}$  перестають бути симетричними (по індексах), але залишаються ермітовими:

$$\varepsilon_{ik} = \varepsilon_{ki}^*, \quad \mu_{ik} = \mu_{ki}^*. \quad (5.30)$$

В гіротропних середовищах зв'язок між напруженостями полів і індукціями можна записати у вигляді

$$\vec{D} = \varepsilon \vec{E} + i [\vec{E} \times \vec{g}_e], \quad \vec{B} = \mu \vec{H} + i [\vec{H} \times \vec{g}_m], \quad (5.31)$$

де  $\vec{g}_e$  і  $\vec{g}_m$  – вектори гірації (електричний і магнітний). У гіротропному середовищі в заданому напрямку можуть поширюватися з різними фазовими швидкостями дві хвилі однієї частоти. Ці хвилі поляризовані еліптично, але мають протилежні напрямки обертання (“права” і “ліва” хвилі).

**Ефективним диференціальним перетином** розсіювання в напрямку  $\bar{\Omega} = \{\theta, \alpha\}$  називається величина

$$\sigma_s = \frac{1}{I_0} \frac{dI(\theta, \alpha)}{d\Omega} \quad (5.32)$$

Тут  $dI$  середня (за часом) інтенсивність розсіювання в тілесний кут  $d\Omega$ ;  $I_0$  – середня густина потоку енергії падаючої хвилі

Якщо довжина хвилі нескінченно мала, поширення електромагнітних хвиль описується законами **геометричної оптики**. Якщо довжина хвилі є скінченою і порівненою за величиною із масштабом перешкод, то спостерігається явище **дифракції хвиль** (тобто відхилення законів поширення хвиль від законів геометричної оптики).

Коли джерело точка спостереження  $P$  знаходяться на близькій відстані від діафрагми (джерела хвиль), так що із точки  $P$  видно лише декілька зон Френеля, то дифракційні явища, що виникають, називаються **дифракцією Френеля**.

Якщо джерело випромінювання електромагнітних хвиль і точка спостереження знаходяться на дуже великих відстанях від діафрагми (екрана), то має місце **дифракція Фраунгофера**.

При дифракції електромагнітної хвилі на отворі в нескінченному непрозорому екрані амплітуда дифрагованого поля описується формулою Френеля-Гюйгенса

$$u_p = \frac{k}{2\pi i} \int \frac{u}{R} e^{ikR} dS_n. \quad (5.33)$$

Тут  $u_p$  – поле в точці  $P$  за екраном,  $u$  – поле на ділянці  $dS$  поверхні отвору (це поле розглядається таким же, як при відсутності екрана, тобто неспотвореним),  $dS_n$  – проекція елемента  $dS$  поверхні отвору діафрагми на напрямок променя, що прийшов з джерела світла у  $dS$ ,  $R$  відстань від  $dS$  до точки  $P$ ,  $k$  – абсолютна величина хвильового вектора світлової хвилі.

У випадку дифракції Фраунгофера формула (33) може бути спрощена

$$u_p = \frac{\exp[ikR_0]}{2\pi i R_0} \int u_0 \exp[i(\vec{k}_0 - \vec{k}) \cdot r] dS_n. \quad (5.34)$$

Тут  $\vec{k}_0$  і  $\vec{k}$  – хвильові вектори падаючого і дифрагованого світла,  $R_0$  – відстань від отвору до точки спостереження,  $u_0$  – амплітуда поля на отворі.

Електромагнітне поле залежить від змінних  $\vec{r}, t$ . У багатьох випадках зручно використовувати різновиди розкладу Фур'є:

$$f(\vec{r}, t) = \int_{-\infty}^{\infty} f_{\omega}(\vec{r}) e^{-i\omega t} d\omega, \quad (5.35)$$

$$f_\omega(\vec{r}) = \frac{1}{2\pi} \int_{-\infty}^{\infty} f(\vec{r}, t) e^{i\omega t} dt \quad (5.36)$$

(розділ на монохроматичні, але неплоскі хвилі), або

$$f(\vec{r}, t) = \int_{-\infty}^{+\infty} d\omega \iiint_{-\infty}^{+\infty} d^3 k f(\vec{k}, \omega) e^{i(\vec{k}\vec{r} - \omega t)}, \quad (5.37)$$

$$f(\vec{k}, \omega) = \left( \frac{1}{2\pi} \right)^4 \int_{-\infty}^{+\infty} dt \iiint_{-\infty}^{+\infty} d^3 r f(\vec{r}, t) e^{-i(\vec{k}\vec{r} - \omega t)} \quad (5.38)$$

(розділ по плоских монохроматичних хвильях).

**§ 5.1. Поширення електромагнітних хвиль. Умови задач.**

**№ 500.** Записати хвильові рівняння для електромагнітних потенціалів  $\phi$  і  $\vec{A}$ , якщо накласти додаткову умову  $\vec{A} = 0$  так звана “кулонівська каліброзв’язка”.

**№ 501.** При доведенні закону збереження електромагнітної енергії з умови  $\operatorname{div} \vec{S} = c(4\pi)^{-1}(\vec{H} \operatorname{rot} \vec{E} - \vec{E} \operatorname{rot} \vec{H})$  звичайно роблять висновок, що густота потоку енергії  $\vec{S} = c[\vec{E} \times \vec{H}] / 4\pi$ . Знайти для  $\vec{S}$  інші можливі вирази, дивергенція яких дорівнює зазначеному вище рівнянню.

**№ 502.** В циліндричних координатах компоненти вектора напруженості магнітного поля в деякій частині вільного простору мають вигляд  $H_r = H_\varphi = 0$  і

$$H_z(\vec{r}, t) = H_0 \exp \left[ -\left( \frac{x^2 + y^2}{a_0^2} \right) + i(k_z z - \omega t) \right]. \quad \text{Визначити}$$

напруженість  $\vec{E}$  електричного поля, індукованого даним магнітним полем.

**№ 503.** Знайти функцію  $F = \operatorname{div} \vec{A} + \frac{1}{c} \frac{\partial \phi}{\partial t}$  для запізнюючих

електромагнітних потенціалів, записаних у формі (7-6), (7-7).

**№ 504.** Напруженість електричного поля електромагнітної хвилі задана у вигляді  $\vec{E} = \vec{E}_0 \exp \left[ -\frac{t}{\tau} + i(\vec{k} \cdot \vec{r}) \right]$ , де вектори  $\vec{E}_0$ ,  $\vec{k}$  і час релаксації  $\tau > 0$  – константи. Знайти спектр цього поля  $\vec{E}(\vec{k}, \omega)$ .

**№ 505.** Компонента Фур'є  $\vec{E}(\vec{k}, \omega)$  напруженості електричного поля має вигляд

$$\vec{E}(\vec{k}, \omega) = \vec{E}_0 \exp \left[ -\frac{(\omega - \omega_0)^2}{(\Delta \omega)^2} - \frac{(\kappa_z - \kappa_z^0)^2}{(\Delta \kappa_z)^2} \right], \text{ де } \vec{E}_0, \omega_0, \kappa_z^0, \Delta \omega, \Delta \kappa_z -$$

константи. Знайти напруженість електричного поля в просторово-часовому представленні  $\vec{E}(\vec{r}, t)$ , якщо  $\Delta\omega \ll \omega_0$ ,  $|\Delta\kappa_z| \ll \kappa_z^0$ .

**№ 506.** Хвильовий пакет утворено суперпозицією монохроматичних хвиль з частотами  $(\omega_0 - \Delta) \leq \omega \leq (\omega_0 + \Delta)$ . Напрямок поширення, вектор поляризації і амплітуди усіх хвиль рівні між собою. Знайти напруженість електричного поля цього пакета  $\vec{E}(\vec{r}, t)$  в просторово-часовому представленні.

**№ 507.** Імпульс електромагнітного поля має такий спектральний склад:  $\vec{E}(\omega) = \vec{A}_0 \exp[-b(\omega - \omega_0)^2]$ . Знайти (оцінити) часову тривалість  $\Delta t$  цього імпульсу, якщо  $|b\omega_0| \gg 1$ ,  $b > 0$ .

**№ 508.** Електростатичне поле описується сферично-симетричним потенціалом  $\varphi = \frac{q}{|r|} \exp\left(-\frac{|r|}{r_0}\right)$ , де  $q, r_0$  – позитивні константи. Знайти розклад цього потенціалу по плоских хвилях.

**№ 509.** Плоска монохроматична хвиля із циркулярною поляризацією падає під кутом  $\theta$  із боку вакууму на границю діелектрика, що займає область  $z \geq 0$ . Визначити залежність поляризації відбитої і заломленої хвиль від кута  $\theta$ .

**№ 510.** Монохроматичний неполяризований пучок світла падає на плоску границю розділу діелектриків. Визначити коефіцієнт відбиття  $R$  і коефіцієнти деполяризації  $\rho_{1,2}$  відбитого і заломленого світла для випадку, коли кут падіння дорівнює куту Брюстера. Усі світлові промені представляти відповідними плоскими хвилями.

**№ 511.** Метал характеризується малим поверхневим імпедансом  $\xi = \xi' + i\xi''$ . Знайти коефіцієнт відбиття  $R$  електромагнітної хвилі від плоскої поверхні цього металу. При яких кутах падіння  $\theta_0$  коефіцієнт відбиття є мінімальним?

**№ 512.** На границю  $z = 0$  між двома діелектриками падає плоска лінійно-поляризована монохроматична хвиля. Відомо, що після повного внутрішнього відбиття від цієї границі в загальному випадку вона набуває еліптичної поляризації. Знайти умови (кути, співвідношення між показниками заломлення), при виконанні яких відбита хвиля буде мати циркулярну поляризацію.

**№ 513.** На границю  $z = 0$  між двома діелектриками падає плоска лінійно поляризована монохроматична хвиля, яка зазнає повного внутрішнього відбивання. Знайти потік електромагнітної енергії вздовж границі розділу і вздовж осі  $z$  в тому із діелектриків, від якого хвиля відбивається.

**№ 514.** Плоска монохроматична хвиля падає на границю  $z = 0$  між двома діелектриками із діелектричними проникностями  $\epsilon_1$  і  $\epsilon_2$ . Знайти поле з обох боків від границі розділу для випадку “ковзання” падаючого променю (тобто, коли кут падіння  $\theta_0 \rightarrow \pi/2$ ).

**№ 515.** На плоску границю розділу “вакуум-діелектрик” під кутом  $\theta_0$  з боку вакууму падає плоска монохроматична хвиля. Вектор  $\vec{E}_0$  цієї хвилі направлено паралельно до площини падіння. Діелектрик має слабке поглинання ( $\epsilon'' \ll \epsilon'$ ), так що електрична хвиля в діелектрику є неоднорідною. Визначити взаємне розташування векторів  $\vec{E}_0, \vec{k}', \vec{k}''$  (де  $\vec{k}'$  і  $\vec{k}''$  – дійсна і уявна частини хвильового вектора  $\vec{k}$ ). Яку криву (з плином часу) описує кінець вектора  $\vec{H}$  у фіксованій точці простору  $\vec{r}$ ?

**№ 516.** На плоску границю розділу “вакуум-діелектрик” під кутом  $\theta_0$  з боку вакууму падає плоска монохроматична хвиля. Вектор  $\vec{H}_0$  цієї хвилі направлено паралельно до площини падіння. Діелектрик має слабке поглинання ( $\epsilon'' \ll \epsilon'$ ), так що електрична хвиля в діелектрику є неоднорідною. Визначити взаємне

розташування векторів  $\vec{E}_0, \vec{k}', \vec{k}''$  (де  $\vec{k}'$  і  $\vec{k}''$  – дійсна і уявна частини хвильового вектора  $\vec{k}$ ). Яку криву (з плином часу) описує кінець вектора  $\vec{E}$  у фіксованій точці простору  $\vec{r}$ ?

**№ 517.** Плоска електромагнітна хвиля падає похило з діелектрика на границю  $z=0$  товстої металевої платівки. Знайти напрямок потоку енергії і фазову швидкість  $v_\phi$  хвилі в металі при умові, що останній має неідеальну провідність.

**№ 518.** Між двома діелектриками із проникностями  $\epsilon_1$  і  $\epsilon_3$  ( $\mu_1 = \mu_2 = \mu_3 = 1$ ) знаходиться плоский діелектричний прошарок із проникністю  $\epsilon_2$ , обмежений площинами  $z=0$  і  $z=a$ . На цей прошарок нормально до його поверхні з боку області  $z < 0$  падає електромагнітна хвиля. При якому співвідношенні між  $\epsilon_1, \epsilon_2, \epsilon_3, a$  коефіцієнт відбивання електромагнітної хвилі буде мінімальним?

**№ 519.** Вакуум займає область  $z < 0$ , а напівпростір  $z > 0$  заповнено неоднорідною плазмою. Діелектрична проникність плазми має вигляд (**див. задачу 312**):  $\epsilon(z) = 1 - \frac{4\pi e^2 N(z)}{m\omega^2}$ . При цьому концентрація заряджених частинок змінюється по лінійному закону:  $N(z) = N_0 z$ . Плоска монохроматична хвиля з амплітудою  $A_0$  падає на плазму із вакуума вздовж осі  $Z$ . Знайти амплітуду відбитої хвилі.

**№ 520.** Хвильовий пакет утворюється суперпозицією плоских хвиль з однаковими амплітудами  $a_0$  і хвильовими векторами, що лежать в області  $|k_0 - k| \leq q$  ( $k_0, q$  – константи). Як змінюється форма такого пакета при розповсюджені хвилі? Вважати, що взаємозв'язок між частотою і хвильовим вектором має лінійну форму:  $\omega(k) = \omega(k_0) + b \cdot (k - k_0)$ .

**№ 521.** Одномірний хвильовий пакет поширюється в диспергуючому середовищі вздовж осі  $Z$ . У площині  $Z=0$  цей пакет описується розподілом Гауса  $a(k)=a_0 \exp[-\alpha(k-k_0)^2]$ . Дослідити зміну форми хвильового пакета в процесі розповсюдження (тобто в різні моменти часу). Вважати, що взаємозв'язок між частотою і хвильовим вектором має лінійну форму:  $\omega(k)=\omega(k_0)+b\cdot(k-k_0)^2$ .

**№ 522.** Знайти фазову  $v_\phi$  і групову  $v_g$  швидкості поширення електромагнітних хвиль в речовині, діелектрична проникність якої має таку частотну залежність  $\epsilon(\omega)=1+\frac{\omega_p^2}{\omega_0^2-\omega^2}$ . Вважати, що магнітна сприйнятливість речовини  $\mu=1$ .

**№ 523.** Товста феритова платівка намагнічена до насычення сталим полем  $\vec{H}_0$ .

У ній під кутом  $\theta$  до  $\vec{H}_0$  поширюється плоска монохроматична хвиля. Магнітна проникність фериту описується тензором

$$\mu_{ik} = \begin{pmatrix} \mu_\perp & -i\mu_a & 0 \\ i\mu_a & \mu_\perp & 0 \\ 0 & 0 & \mu_\parallel \end{pmatrix}$$

(див. задачу 331); вісь  $z$  спрямована вздовж постійного магнітного поля  $\vec{H}_0$ . Знайти фазові швидкості поширення електромагнітних хвиль у фериті. Діелектрична проникність фериту  $\epsilon$  можна вважати скаляром, що не залежить від  $\vec{H}_0$ .

**№ 524.** Діелектрик знаходиться в постійному однорідному магнітному полі  $\vec{H}_0$ . Його тензор діелектричної проникності (див. задачу 318) має вигляд

$$\varepsilon_{ik} = \begin{pmatrix} \varepsilon_{\perp} & -i\varepsilon_a & 0 \\ i\varepsilon_a & \varepsilon_{\perp} & 0 \\ 0 & 0 & \varepsilon_{\parallel} \end{pmatrix},$$

а магнітна проникливість  $\mu=1$ . В діелектрику поширюється плоска монохроматична хвиля. Знайти фазові швидкості поширення цієї хвилі для випадків правої та лівої циркулярної поляризації.

**№ 525.** Плоска хвиля падає з вакууму на плоску поверхню одновісного кристала. Оптична вісь кристала нормальна до його поверхні. Знайти напрямки поширення звичайного і незвичайного променів у кристалі, якщо кут падіння в вакуумі дорівнює  $\theta_0$ .

**№ 526.** Діелектрик знаходиться в зовнішньому постійному магнітному полі  $\vec{H}_0$ . Плоска монохроматична хвиля поширюється в напрямку  $\vec{H}_0$  (вздовж осі  $z$ ) і має в площині  $z=0$  лінійну поляризацію. Як буде змінюватись поляризація хвилі при  $z>0$ ? (Вказівка. Використати результати *задачі 318*).

**№ 527.** Плоска монохроматична хвиля має кругову поляризацію. Вона падає із вакууму по нормальні на плоску границю фериту  $z=0$ . Ферит намагнічено у напрямку нормалі до границі. Знайти амплітуди відбитої хвилі і хвилі, що пройшла. (Вказівка. Використати граничні умови для векторів  $\vec{E}$  і  $\vec{H}$ ).

**№ 528.** Розглянути попередню задачу для випадку, коли падаюча хвиля поляризована лінійно.

**№ 529.** Знайти частоту поздовжніх коливань у плазмі з діелектричною проникністю  $\varepsilon(\omega)=1-\frac{4\pi e^2 N}{m\omega^2}$ .

**№ 530.** Область  $z>0$  зайнята плазмою з діелектричною проникністю  $\varepsilon(\omega)=1-\omega_p^2/\omega^2$  (див. задачу 312), а область  $z<0$  –

вакуум. Показати, що вздовж границі розділу плазма–вакуум може поширюватись поверхнева хвиля (яка затухає експоненційно при віддаленні від границі). Знайти умови, при яких можливе існування такої хвилі, і закон дисперсії (тобто залежність хвильового вектора від частоти). Розглянути випадок  $|k| \gg (\omega/c)$ .

**№ 531.** Іонізований газ знаходиться в сталому магнітному полі.  $\vec{H}_0 = \vec{e}_z H_0$ . Вздовж осі “ $z$ ” поширюється плоска монохроматична хвиля. Знайти фазові швидкості поширення циркулярно поляризованих електромагнітних хвиль для різних напрямків обертання поляризації. Розглянути випадок малих частот  $\omega \rightarrow 0$ . (Вказівка. Використати вираз для тензора діелектричної проникності іонізованого газу в сталому магнітному полі, отриманий в *задачі 321*).

## §6. Інтерференція і дифракція. Теоретичні основи.

**Дифракцією** називається відхилення розповсюдження хвиль від законів **геометричної оптики**. Для опису явища дифракції часто застосовується так званий **принцип Гюйгенса** (1690 р.) у формі

$$U_p = a \int \frac{U \cdot e^{ikR}}{R} d\sigma_n \quad (6.1)$$

Якщо формула (6.1) застосовується для описання дифракції на діафрагмах із прямокутним профілем пропускання, то інтегрування йде по поверхні, що обмежена краями отвору.

Теорема Гріна:

$$\iiint_{V_0} (U_1 \cdot \Delta U_2 - U_2 \cdot \Delta U_1) dv = - \iint_{S_0} \left( U_1 \frac{\partial U_2}{\partial n} - U_2 \frac{\partial U_1}{\partial n} \right) ds \quad (6.2)$$

Інтегрування в (6.2) йде по довільному об'єму  $V_0$ , що оточений замкненою поверхнею  $S_0$ . Взагалі кажучи, поверхня  $S_0$  може бути багатозв'язною.

Як показали подальші дослідження, принцип Гюйгенса, взагалі кажучи, є наближенням. Точна теорія дифракції була сформульована Кірхгофом (1882 р.). У відповідності із її результатами

$$E(P) = \frac{1}{4\pi} \iint_A \left\{ E(\bar{r}_1) \frac{\partial}{\partial n_1} \left( \frac{e^{i k_0 r_1}}{r_1} \right) - \frac{e^{i k_0 r_1}}{r_1} \cdot \frac{\partial E(\bar{r}_1)}{\partial n_1} \right\} ds_1 \quad (6.3)$$

Таким чином, **для передбачення поля  $E$  в точці  $P$  треба знати не тільки розподіл поля на діафрагмі, але й похідну від цього поля.** В межах методики Кірхгофа інтегрування обов'язково треба проводити по двовимірній поверхні.

Найбільш прості для практичної реалізації діафрагми мають прямокутний профіль пропускання. Наприклад, кругла діафрагма радіуса  $R_0$ :

$$T(x, y) = \Theta\left(R_0 - \sqrt{x^2 + y^2}\right). \quad (6.4)$$

Тут  $T(x, y)$  – польова функція пропускання, тобто така, що визначає відношення полів на виході із транспаранту (в площині  $z = +0$ ) до поля безпосередньо на вході в транспарант (площина  $z = -0$ )

$$T(x, y, z) = \frac{E(x, y, z = +0)}{E(x, y, z = -0)} \quad (6.5)$$

При цьому транспарант розглядається як нескінченно тонка конструкція в площині  $z = 0$ .

Двовимірна *гаусова діафрагма* має пропускання:

$$T(x, y) = \exp\left(-\frac{x^2}{a_x^2} - \frac{y^2}{a_y^2}\right) \quad (6.6)$$

Якщо виконується умова  $a_y \gg a_x$ , то діафрагма зв'ється *щілиною*.

Звичайно обмежуються розглядом тільки параксіальної області, що актуально для випадку

$$a_0 \gg \lambda \quad (6.7)$$

( $\lambda$  – довжина електромагнітної хвилі,  $a_0$  – розмір діафрагми).

Процес розповсюдження електромагнітних хвиль поза діафрагмою описується хвильовим рівнянням

$$\Delta \vec{E}(\vec{r}, t) - \frac{1}{c^2} \frac{\partial^2}{\partial t^2} \vec{E}(\vec{r}, t) = 0. \quad (6.8)$$

При цьому має місце *принцип суперпозиції*, тобто загальне поле  $\vec{E}$  може бути складено як сума часткових рішень (6.8)

$$\vec{E}(\vec{r}, t) = \sum_{\vec{k}} \vec{A}(\vec{k}) \cdot \exp(i(\vec{k}\vec{r} - \omega t)) \quad (6.9)$$

Якщо ж вектори  $\vec{k}$  змінюються неперервно, то треба перейти до інтегрування:

$$\vec{E}(\vec{r}, t) = \exp(-i\omega t) \cdot \iiint \vec{A}(\vec{k}) \cdot \exp(i\vec{k}\vec{r}) d^3 k \quad (6.10)$$

Фактично формула (6.10) є просторовим Фур'є-роздялом напруженості електричного поля.

Із умови збереження довжини хвильового вектора при розповсюджені електромагнітних хвиль в вакуумі випливає

$$\vec{E}(\vec{k}) = \vec{E}_0(\vec{k}) \cdot \delta(|k| - k_0) \quad (6.11)$$

Існують два параметри, що визначають дифракційне розповзання променю, що пройшов крізь діафрагму: ефективний радіус діафрагми  $a_0$  та релеївська довжина

$$Z_R = \frac{k_0 \cdot a_0^2}{2} = \pi \left( \frac{a_0}{\lambda} \right) \cdot a_0 = \frac{\pi \cdot a_0^2}{\lambda} . \quad (6.12)$$

Просторовий розподіл інтенсивності світла, що пройшло крізь гаусову діафрагму, має таку структуру :

$$I(x, z) = \Psi(z) \cdot \exp \left[ -2 \frac{x^2}{R^2(z)} \right] \quad (6.13)$$

Тут множник  $\Psi$  залежить тільки від  $z$ , а функція  $R(z)$  визначає радіус електромагнітної хвилі в площині  $z$ :

$$R(z) = a_0 \cdot \sqrt{1 + z^2 / z_R^2} \quad (6.14)$$

(тобто в процесі розповсюдження вздовж осі  $z$  пучок розповзається в поперечному напрямку).

Оцінка для дифракційного кута розбігання:

$$\Theta_p \sim \frac{2}{\pi} \cdot \left( \frac{\lambda}{a_0} \right) \ll 1 \quad (6.15)$$

На відмінність від випадку звичайної діафрагми із прямокутним профілем пропускання після гаусової діафрагми формується тільки один центральний максимум,

В оптичній техніці явище знищення дифракційних мінімумів за рахунок спеціально вибраної функції пропускання зветься **аподізацією** (об'єктива, оптичної системи).

Більш точною, ніж (6.1), є **дифракційна формула Френеля-Кірхгофа**.

$$E(\vec{r}_p) \approx \frac{ik_0}{4\pi} \int_A E(\vec{r}_1) \cdot \frac{\exp(ik_0 |\vec{r}_1 - \vec{r}_p|)}{|\vec{r}_1 - \vec{r}_p|} \cdot \Phi_s(\vec{r}_1, \vec{r}_p) dS_1 \quad (6.16)$$

де кутовий фактор

$$\Phi_s(\vec{r}_1, \vec{r}_p) = \cos \alpha_p(r_p) + \cos \alpha_D(r_D) \quad (6.17)$$

Найчастіше (6.16) застосовується в таких випадках, коли завдяки вибору форми поверхні  $A$  та іншим особливостям задачі, фактор  $\Phi_s$  має просту форму.

При рішенні задач багатьох задач зустрічаються спеціальні інтеграли. Важливу роль серед них грає **інтеграл Пуасона**:

$$\int_{-\infty}^{+\infty} e^{-Ax^2} dx = \sqrt{\frac{\pi}{A}}. \quad (6.18)$$

Диференціюючи  $n$  разів по  $A$  обидві сторони (6.18) і користуючись парністю підінтегрального виразу можна знайти

$$\int_0^{\infty} x^{2n} e^{-x^2} dx = \frac{1 \cdot 3 \cdot 5 \dots (2n-1)}{2^{n/2}} \frac{\sqrt{\pi}}{2}, \quad (n = 0, 1, 2, 3, \dots). \quad (6.19)$$

У випадку непарних ступенів коефіцієнта перед експонентою

$$\int_0^{\infty} x^n e^{-x^2} dx = \frac{1}{2} \left[ \left( \frac{n-1}{2} \right)! \right], \quad (n = 2m+1, \quad m = 0, 1, 2, 3, \dots) \quad (6.20)$$

Узагальнений інтеграл Пуасона

$$\int_{-\infty}^{+\infty} \exp[-C(x+i\gamma)^2] dx = \sqrt{\frac{\pi}{C}}, \quad (6.21)$$

де константа  $C$  є комплексною  $C = A - iB$ , а  $\gamma$  – довільне комплексне число. Можна показати, що інтеграл (6.21) збігається при умові  $\operatorname{Re} C = A > 0$ .

Для задач, де фігурують гаусові розподіли, типовим є так званий *"довгий" інтеграл*:

$$\begin{aligned} & \int_{-\infty}^{+\infty} \exp[-Ax^2 + i(Bx^2 + 2Dx)] dx = \\ & = \frac{\sqrt{\pi}}{\sqrt[4]{A^2 + B^2}} \exp \left[ -\frac{A+iB}{A^2 + B^2} D^2 + \frac{i}{2} \operatorname{arctg} \left( \frac{B}{A} \right) \right]. \end{aligned} \quad (6.22)$$

Тут  $A, B, D$  – дійсні коефіцієнти, причому  $A > 0$ . Використовуючи (6.22), можна практично всі задачі про розповсюдження світла в гаусових системах розв'язати в аналітичному вигляді.

### § 6.1. Інтерференція і дифракція. Умови задач.

**№600** Дві монохроматичні хвилі лінійно поляризовані у взаємно перпендикулярних напрямках і міняються в часі за законом  $\vec{E}_1 = \vec{A}_1 \cos(\omega t - \vec{k}\vec{r} + \varphi_1^0)$  і  $\vec{E}_2 = \vec{A}_2 \cos(\omega t - \vec{k}\vec{r} + \varphi_2^0)$ . Вважаючи амплітуди цих хвиль однаковими, знайти поляризацію результуючої хвилі.

**№601** Дві монохроматичні хвилі лінійно поляризовані у взаємно перпендикулярних напрямках і міняються в часі за законом  $\vec{E}_1 = \vec{A}_1 \cos(\omega t - \vec{k}\vec{r} + \varphi_1^0)$  і  $\vec{E}_2 = \vec{A}_2 \cos(\omega t - \vec{k}\vec{r} + \varphi_2^0)$ . Вважаючи, що амплітуди цих хвиль відрізняються в 2 рази, знайти поляризацію результуючої хвилі.

**№602** Дві монохроматичні хвилі поширюються в одному напрямку. Вони мають циркулярну поляризацію, але з протилежними напрямками обертання. Амплітуди і частоти хвиль однакові, а фази відрізняються на величину  $\varphi_0$ . Знайти результуючу хвиллю.

**№603** Уздовж осі « $z$ » поширюється дві монохроматичні хвилі частотою  $\omega$ , з однаковими амплітудами  $|E_{01}| = A$ ,  $|E_{02}| = A$ . Перша хвilia поляризована уздовж осі « $x$ », а друга - циркулярно поляризована (у напрямку правого гвинта). Знайти результуючу хвиллю.

**№604** Амплітуда правополяризованої кругової хвилі дорівнює  $A$ , а лівополяризованої -  $B$ . Частоти і фази цих хвиль однакові. Знайти результуючу хвиллю.

**№605** Площини поляризації двох монохроматичних хвиль  $\vec{E}_1 = \vec{A}_1 \cos(\omega t - \vec{k}\vec{r})$ ,  $\vec{E}_2 = \vec{A}_2 \sin(\omega t - \vec{k}\vec{r})$  нахилені під кутом  $\beta$  друг до друга. Знайти поляризацію результуючої хвилі.

**№606** Електромагнітна хвilia отримана в результаті додавання двох лінійно-поляризованих монохроматичних хвиль

$\vec{E}_1 = \vec{A}_1 \cos(\omega_1 t - k_1 r)$  і  $\vec{E}_2 = \vec{A}_2 \cos(\omega_2 t - k_2 r)$ , у яких хвильові вектори паралельні, а частоти відрізняються на малу величину  $|\omega_1 - \omega_2| \ll \omega_{1,2}$ . Амплітуди хвиль задовольняють умовам  $|\vec{A}_1| = |\vec{A}_2|$ ,  $(\vec{A}_1 \vec{A}_2) = 0$ . Знайти поляризацію сумарної хвилі.

**№607** Електромагнітна хвиля отримана в результаті додавання двох монохроматичних циркулярно поляризованих хвиль із протилежними напрямками обертання  $\vec{E}_1 = \vec{A}_1 \cos(\omega_1 t - k_1 r)$  і  $\vec{E}_2 = \vec{A}_2 \cos(\omega_2 t - k_2 r)$ . Хвильові вектори цих хвиль паралельні, а частоти відрізняються на малу величину  $|\omega_1 - \omega_2| \ll \omega_{1,2}$ . Амплітуди хвиль задовольняють умовам  $|\vec{A}_1| = |\vec{A}_2|$ ,  $(\vec{A}_1 \vec{A}_2) = 0$ . Знайти поляризацію сумарної хвилі.

**№608** Знайти граничну здатність мікроскопа об'єктив якого має діаметр  $D$  і фокусну відстань  $F$ . Розглядаємий у мікроскоп об'єкт освітлюється випромінюванням з довжиною хвилі  $\lambda$ . (Вказівка: взяти до уваги нерівність  $\Delta x \cdot \Delta k \geq 1$ ).

**№609** Положення повітряної кулі визначається радіолокатором. З якою граничною точністю можна визначити висоту польоту кулі, якщо відстань до нього (по горизонталі)  $L$ , робоча довжина хвилі  $\lambda$ , а діаметр антени радіолокатора  $D$ ?

**№610** Плоска періодична гратка утворена дуже тонкими паралельними провідниками. На цю гратку по нормальні падає електромагнітна хвиля з довжиною хвилі  $\lambda$ . Період гратки  $\Lambda$ , а товщина дротин набагато менша. Який вплив зробить гратка на проходження хвиль з різними поляризаціями?

**№611** Електромагнітна хвиля  $\vec{E} = \vec{E}_0 \cos(\omega t - \vec{k} \vec{r})$  падає по нормальні на плоский екран, що має нескінченно довгу щілину

ширина  $d_0$ . Вважаючи, що  $d_0 \gg \lambda$  (де  $\lambda$  - довжина хвилі) визначити електричне поле дифрагованої хвилі.

**№612** У плоскому екрані прорізано дві однакові нескінченних-довгих рівнобіжних щілин ширини  $d_0$ . Відстань між щілинами  $b_0$ . На екран по нормальні падає плоска електромагнітна хвиля  $\vec{E} = \vec{E}_0 \cos(\omega t - \vec{k}\vec{r})$ . Вважаючи, що  $d_0 \gg \lambda$ ,  $b_0 \gg \lambda$  ( $\lambda$  - довжина хвилі) знайти електричне поле дифрагованої хвилі.

**№613** У нескінченно тонкому екрані вирізано прямокутний отвір  $-\alpha \leq x \leq \alpha$ ,  $-b \leq y \leq b$ . На цей екран по нормальні до поверхні падає плоска монохроматична хвиля. Вектор напруженості електричного поля цієї хвилі паралельний до осі « $x$ ». Знайти кутовий розподіл випромінювання за прямокутним отвором в фраунгоферовській зоні.

**№614** Плоска лінійно-поляризована електромагнітна хвиля падає по нормальні до площини екрана, що має круглий отвір радіуса  $R_0$ . Довжина хвилі  $\lambda$  мала в порівнянні із радіусом  $R_0$ . Знайти кутовий розподіл інтенсивності проходящеї хвилі у фраунгоферовській зоні.

**№615** Знайти кутовий розподіл інтенсивності світла у фраунгоферовській зоні при похилому падінні плоскої хвилі на круглий отвір.

**№616** У плоскому екрані прорізано кільцевий отвір із зовнішніми радіусами  $R_1$  і  $R_2$  (при цьому  $R_1 > R_2$ ). Знайти інтенсивність дифрагованої хвилі у фраунгоферовській зоні при нормальному падінні плоскої лінійно-поляризованої електромагнітної хвилі на цей кільцевий отвір. Вважати, що довжина хвилі мала в порівнянні із радіусами  $R_1$  і  $R_2$ .

**№617** У плоскому екрані вирізано еліптичний отвір з півосяями  $a$  і  $b$ . Плоска електромагнітна хвиля частоти  $\omega$  падає нормальню до площини екрана. Довжина хвилі мала в порівнянні з довжинами

півосей  $\lambda \ll a, b$ . Знайти інтенсивність дифрагованої хвилі у фраунгоферовській зоні.

**№618** Вісь  $Z$  проходить через центр круглого непрозорого диска (екрана) радіуса  $R_0$  перпендикулярно його площини. На відстані  $L$  від диска (у точці  $z = -L$ ) знаходиться точкове джерело світла, що випромінює сферичну монохроматичну хвилю з частотою  $\omega$ . Вважаючи, що  $R_0 \gg \lambda = 2\pi c / \omega$ , знайти інтенсивність світла  $I$  в симетричної щодо екрана (диска) точці  $z = +L$ .

**№619** На циліндричний провідник радіуса  $R_0$  падає по нормалі до його осі плоска хвилля. Вважаючи, що довжина хвилі  $\lambda \ll R_0$ , знайти поле випромінювання позаду від провідника (в області «тіні»).

**№620** Непрозора куля радіуса  $R_0$  знаходиться в полі плоскої лінійно- поляризованої хвилі частоти  $\omega$ . Довжина хвилі  $\lambda$  мала в порівнянні з радіусом  $R_0$ . Знайти поле випромінювання позаду від кулі (в області «тіні»).

**№621** Плоска монохроматична хвилля розсіюється невеликим тілом. Електричне поле на великих відстанях від розсіювача має вигляд

$$\vec{E} = \vec{E}_0 \left[ e^{ikz} + F(\vec{n}) \frac{e^{ikr}}{r} \right],$$

де  $\vec{n} = \vec{r}$ ,  $k = \omega/c$ ,  $E_0$  - амплітуда падаючої хвилі,  $F(\vec{n})$  - амплітуда розсіювання. Довести співвідношення («оптичну теорему»)  $\sigma_s = \frac{4\pi}{k} \text{Im}[e \cdot F(n_0)]$ . Тут  $\sigma_s$  - повний переріз розсіювання,  $F(\vec{n}_0)$  - амплітуда розсіювання в напрямку поширення  $\vec{n}_0$  падаючої хвилі.

**№622** Плоска поляризована хвиля розсіюється на ідеально провідному тонкому циліндрі радіуса  $R_0$ . Знайти залежність ступеня деполяризації  $p$  розсіяних хвиль від кута розсіювання. Вважати, що  $\lambda \gg R_0$ .

**№623** Знайти середню втрату енергії на одиницю довжини циліндра, розглянутого в попередній задачі. Дослідити випадок  $\lambda \gg R_0$ .

**№624** Діелектричний циліндр радіуса  $R_0$  з діелектричною проникністю  $\epsilon$  знаходиться у вакуумі. Плоска електромагнітна хвиля з частотою  $\omega$  падає нормально до осі  $Z$  циліндра причому вектор напруженості електричного поля паралельний  $OZ$ . Знайти результуюче поле (з врахуванням дифракції) за циліндром (тобто з протилежної сторони порівняно із розташуванням джерела випромінювання).

**№625** Плоска монохроматична хвиля падає на плоский екран з гаусовською щілиною. Остання має пропускання  $T(x) = \exp\left(-\frac{x^2}{\alpha_0^2}\right)$  з ефективною шириною  $\alpha_0 \gg \lambda$  ( $\lambda$  - довжина хвилі). Знайти поле, що пройшло діафрагму.

**№626** Плоска монохроматична хвиля падає на гаусову смугу з пропусканням  $T(x) = 1 - \exp\left(-\frac{x^2}{\alpha_0^2}\right)$ , ( $\alpha_0 \gg \lambda$ ). Знайти поле за цією смugoю.

**№627** Плоска монохроматична хвиля падає на екран з гаусовою діафрагмою  $T(x, y) = \exp\left(-\frac{x^2 + y^2}{\alpha_0^2}\right)$ , ( $\alpha_0 \gg \lambda$ ). Знайти структуру поля, що пройшло крізь діафрагму.

**№628** Плоска монохроматична хвиля (довжина хвилі  $\lambda$ ) падає на плоский екран із плямою, пропускання якої розподілене по гауссовому законі  $T(x, y) = 1 - \exp\left(-\frac{x^2 + y^2}{\alpha_0^2}\right)$ , ( $\alpha_0 \gg \lambda$ ). Знайти поле за екраном.

**№629** На плоскому екрані є дві паралельні гаусові щілини. Ефективна ширина кожної щілини дорівнює  $\alpha_0$ . Відстань між центрами щілин  $\ell_0 > 2\alpha_0$ . На щілини по нормальні до екрану падає плоска хвиля (довжина хвилі  $\lambda$ ). Вважаючи, що  $\alpha_0 \gg \lambda$  знайти інтерференційне поле в далекій зоні за екраном.

**№630** Обчислити переріз поглинання електромагнітної хвилі проводящею кулею з малим поверхневим імпедансом  $\xi = \xi' + i\xi''$ . Радіус кулі  $R_0$  малий у порівнянні з довжиною  $\lambda$ .

**№631** Куля радіуса  $R_0$  опромінюється плоскою електромагнітною хвилею частоти  $\omega$ . Амплітуда падаючої хвилі  $A_0$ . Знайти силу  $\vec{F}$ , з яким поле діє на кулю.

**№632** Плоска тонка дифраційна гратка має вигляд системи паралельних нескінченно довгих щілин завширшки “ $a$ ” із відстанню між щілинами “ $b$ ”. По нормальні до гратки на неї падає плоска електромагнітна хвиля із частотою  $\omega$ . Вважаючи, що розміри  $a, b$  мають той ж самий порядок, що і довжина хвилі  $\lambda$ , знайти дифракційне поле у фраунгоферовій зоні.

**№633** Плоска тонка дифракційна гратка має вигляд системи паралельних нескінченно довгих щілин ширинами  $a$  і  $b$ , що чергуються між собою. Відстань між усіма сусідніми щілинами однаакова і дорівнює  $d = (T - a - b)/2$ , де  $T$  - період системи. По нормальні до гратки падає плоска електромагнітна хвиля із частотою

$\omega$ . Вважаючи, що розміри  $a, b, d$  мають той ж самий порядок, що і довжина хвилі  $\lambda$ , знайти дифракційне поле у фраунгоферовій зоні.

**№634** Плоска нескінченно тонка дифракційна гратка має вигляд системи паралельних нескінченно довгих щілин, утворюючих періодичну систему за таким законом (зліва праворуч):

- a. щілина шириною “ $a$ ”,
- b. непрозора ділянка шириною “ $a$ ”,
- c. щілина шириною “ $b$ ”,
- d. непрозора ділянка шириною “ $b$ ”,

(далі всі періодично повторюється). По нормалі до цієї гратки падає плоска електромагнітна хвиля із частотою  $\omega$ . Вважаючи, що розміри  $a, b$  мають той ж самий порядок, що і довжина хвилі  $\lambda$ , знайти дифракційне поле у фраунгоферовій зоні.

**№635** Плоска тонка дифракційна гратка має вигляд системи паралельних нескінченно довгих гаусових щілин з ефективною шириною “ $a$ ” і відстанню між щілинами “ $b$ ”. По нормалі до гратки падає плоска електромагнітна хвиля із частотою  $\omega$ . Вважаючи, що розміри  $a, b$  мають тієї ж самий порядок, що і довжина хвилі  $\lambda$ , знайти дифракційне поле у фраунгоферовій зоні.

**№636** Плоска тонка дифракційна гратка має вигляд системи паралельних нескінченно довгих гаусових щілин з ефективною шириною  $a$  і  $b$ , що чергуються між собою. Відстань між усіма сусідніми щілинами однакова і дорівнює  $d = (T - a - b)/2$ , де  $T$  - період системи. По нормалі до гратки падає плоска електромагнітна хвиля із частотою  $\omega$ . Вважаючи, що розміри  $a, b, d$  мають тієї ж самий порядок, що і довжина хвилі  $\lambda$ , знайти дифракційне поле у фраунгоферовій зоні.

**№637** Плоска тонка дифракційна гратка має вигляд системи паралельних нескінченно довгих гаусових щілин, що утворюють періодичну систему за таким законом (зліва праворуч):

- a. щілина шириною “ $a$ ”,

- b. непрозора ділянка ширину “ $a$  ”,
- c. щілина ширину “ $b$  ”,
- d. непрозора ділянка ширину “ $b$  ”,

(далі всі періодично повторюється). По нормалі до гратки падає плоска електромагнітна хвиля із частотою  $\omega$ . Вважаючи, що розміри  $a, b$  мають тієї ж самий порядок, що і довжина хвилі  $\lambda$ , знайти дифракційне поле у фраунгоферовій зоні.

**№638** Нескінчений плоский екран має пропускання, що описується функцією

$$T(x, y) = \exp\left[-\frac{(|R| - R_1)^2}{b_0^2}\right] + \exp\left[-\frac{(|R| - R_2)^2}{b_0^2}\right],$$

$(R = \sqrt{x^2 + y^2}, R_2 > R_1 + 2b_0)$ ,  $R_{1,2}$  - константи. По нормалі до цього екрана падає плоска хвиля із довжиною хвилі  $\lambda$ . При цьому  $b_0 \gg \lambda$ . Вважаючи екран нескінченно тонким знайти розподіл інтенсивності поля на відстані  $z_0$  за екраном.

**№639** Нескінчений плоский екран має пропускання, що описується функцією

$$T(x, y) = \exp\left[-\frac{(|R|)^2}{b_0^2}\right] + \exp\left[-\frac{(|R| - R_1)^2}{b_1^2}\right],$$

$(R = \sqrt{x^2 + y^2}, b_0 \gg b_1)$ ,  $R_1$  - константа. По нормалі до цього екрана падає плоска хвиля із довжиною хвилі  $\lambda$ . При цьому  $b_0 \gg \lambda$ . Вважаючи екран нескінченно тонким знайти розподіл інтенсивності поля на відстані  $z_0$  за екраном.

**№640** У межах параксіального наближення дія сферичної лінзи еквівалентна дії плоского нескінченно тонкого транспаранта із фазового затримкою, що описується функцією

$$T(x, y) = \exp[i(\Delta\phi_0 - \Phi_0(x^2 + y^2))]$$

(комплексний коефіцієнт пропускання). По нормалі до транспаранта (вздовж осі  $z$ ) падає плоска хвиля, що поляризована вздовж напрямку осі « $x$ ». Знайти поле за «лінзою» (тобто за транспарантом) обмежуючись параксіальним наближенням. Довжина хвилі -  $\lambda$ .

**№641** У межах параксіального наближення для сферичної лінзи еквівалентна дії плоского нескінченно тонкого транспаранта із фазового затримкою, що описується функцією (комплексний коефіцієнт пропускання)

$$T(x, y) = \exp \left[ -\frac{(x^2 + y^2)}{2q_0^2} - i \frac{\pi}{\lambda F} (x^2 + y^2) \right],$$

( $F$  - константа системи). По нормалі до транспаранта (вздовж осі  $z$ ) падає плоска хвиля, що поляризована вздовж напрямку осі « $x$ ». Довжина хвилі -  $\lambda$ . Вважаючи, що  $a_0 \gg \lambda$  і обмежуючись параксіальним наближенням знайти поле за «лінзою» (тобто за транспарантом).

**№642** По нормалі до транспаранта із коефіцієнтом пропускання

$$T(x, y) = \exp \left[ -\frac{(x^2 + y^2)}{2a_0^2} \right]$$

падає плоска хвиля із довжиною  $\lambda \ll a_0$ . Знайти поверхні сталої фази хвилі в напівпросторі за транспарантом.

**№643** Плоский транспарант із комплексним коефіцієнтом пропускання<sup>1</sup>

$$T(x, y) = \exp \left[ -\frac{(x^2 + y^2)}{2a_0^2} + i \left( \Delta\varphi_0 - \frac{\pi}{\lambda F} (x^2 + y^2) \right) \right]$$

розташовано в площині  $z = 0$ . У точці  $z = -L$  на осі  $z$  знаходиться точкове джерело світла (довжина хвилі  $\lambda$ ). Знайти зображення

<sup>1</sup> Модель гаусової «тонкої» лінзи.

цього точкового джерела, що знаходиться в напівпросторі  $z > 0$ . Величини  $a_0, F, \Delta\varphi_0$  є константами. Обмежитись параксіальним наближенням і вважати, що  $F \gg a_0 \gg \lambda$ .

**№644** Змоделюємо призму тонким фазовим транспарантом із комплексним коефіцієнтом пропусканням

$$T(x, y) = T(x) = \theta(x) \exp\left[i \frac{x}{x_0}\right], \quad (-\infty < x < +\infty)$$

( $\theta(x)$  - функція Хевісайда,  $x_0$  - константа). Цей транспарант розташовано в площині  $z = 0$ . Із боку напівпростору  $z < 0$  вздовж осі  $z$  на цю "призму" падає плоска хвиля, що поляризована вздовж  $OY$  (тобто  $\vec{E} \parallel OY$ ). Довжина хвилі  $\lambda \ll x_0$ . У межах параксіального наближення знайти поле за "призмою" (фазовим транспарантом).

14.03.2003

### § 7. Випромінювання електромагнітних хвиль. Теоретичні основи.

Напруженості електромагнітних полів можуть бути виражені через електромагнітні потенціали  $\vec{A}$  і  $\varphi$

$$\vec{H} = \operatorname{rot} \vec{A}, \quad (7.1)$$

$$\vec{E} = -\operatorname{grad} \varphi - \frac{1}{c} \frac{\partial \vec{A}}{\partial t} \quad (7.2)$$

**Величини  $\vec{A}$  і  $\varphi$  визначені неоднозначно. Переход від  $\vec{A}$  і  $\varphi$  до нових електромагнітних потенціалів  $\vec{A}'$  і  $\varphi'$  здійснюється за допомогою перетворення :**

$$\vec{A}' = \vec{A} + \operatorname{grad} f \quad (7.3)$$

$$\varphi' = \varphi - \frac{1}{c} \frac{\partial f}{\partial t} \quad (7.4)$$

(тут  $f = f(\vec{r}, t)$  – довільна функція) і не змінює напруженості електричного і магнітного полів. Звичайно функцію  $f$  вибирають так, щоб виконувалась умова калібрування Лоренца

$$\operatorname{div} \vec{A} + \frac{1}{c} \frac{\partial \varphi}{\partial t} = 0. \quad (7.5)$$

Тоді рівняння для електромагнітних потенціалів, що випливають з рівнянь Максвела, приймають простий вигляд

$$\nabla^2 \vec{A} - \frac{1}{c^2} \frac{\partial^2 \vec{A}}{\partial t^2} = -\frac{4\pi}{c} \vec{j}, \quad (7.6)$$

$$\nabla^2 \varphi - \frac{1}{c^2} \frac{\partial^2 \varphi}{\partial t^2} = -4\pi\rho. \quad (7.7)$$

Вони називаються рівняннями Даламбера.

Випромінювання електромагнітних хвиль описується рішеннями рівнянь (7.6) і (7.7) і може бути представлено у вигляді запізнювальних потенціалів:

$$\vec{A}(\vec{r}, t) = \frac{1}{c} \int \frac{\vec{j}\left(\vec{r}', t - \frac{|\vec{r} - \vec{r}'|}{c}\right)}{|\vec{r} - \vec{r}'|} dV', \quad (7.8)$$

$$\varphi(\vec{r}, t) = \int \frac{\rho\left(\vec{r}', t - \frac{|\vec{r} - \vec{r}'|}{c}\right)}{|\vec{r} - \vec{r}'|} dV', \quad (7.9)$$

де  $\vec{r}$  – радіус-вектор точки спостереження,  $\vec{r}'$  – радіус-вектор елемента об'єму  $dV'$ , а  $t$  – час спостереження.

На великих відстанях від зарядженої системи кожен малий елемент поверхні сферичної хвилі можна розглядати як плоску хвилю, у якій вектори напруженості поля  $\vec{E}$  і  $\vec{H}$  рівні по модулі і утворюють з напрямком  $\vec{n}$  поширення хвилі правогвинтову трійку векторів і

$$\vec{E} = [\vec{H} \times \vec{n}]. \quad (7.10)$$

Розмістимо початок координат усередині зарядженої системи, максимальний лінійний розмір якої позначимо через  $L$ . На великих відстанях  $r \gg L \geq r'$  маємо  $|\vec{r} - \vec{r}'| \approx |r| - \vec{n} \cdot \vec{r}'$  і векторний потенціал (7.8) наближено запишеться у вигляді

$$\vec{A}(\vec{r}, t) = \frac{1}{cr} \int \vec{j}\left(\vec{r}', t - \frac{r}{c} + \frac{\vec{n} \cdot \vec{r}'}{c}\right) dV' \quad (7.11)$$

де  $\vec{n} = \frac{\vec{r}}{|r|}$ . Нехай випромінювання відбувається на частоті  $\omega$ ,

причому довжина  $\lambda$  випромінюваної хвилі є великою порівняно з лінійним розміром джерела, тобто  $\lambda = \frac{c}{\omega} \gg L$ . Тоді в хвильовій зоні  $r \gg L, \lambda$  вираз для векторного потенціалу спрощується:

$$\vec{A}(\vec{r}, t) = \frac{\vec{d}}{cr} + \frac{[\vec{\mu} \times \vec{n}]}{cr} + \frac{\vec{Q}}{c^2 r}. \quad (7.12)$$

Тут введено вектор  $\vec{Q}$  із компонентами

$$Q_\alpha = Q_{\alpha\beta} n_\beta. \quad (7.13)$$

Дипольний момент  $\vec{d}$ , магнітний момент  $\vec{\mu}$  і тензор  $Q_{\alpha\beta}$  квадрупольного моменту залежать від часу з врахуванням запізнювання

$$d = d\left(t - \frac{r}{c}\right), \quad \mu = \mu\left(t - \frac{r}{c}\right), \quad Q_{\alpha\beta} = Q_{\alpha\beta}\left(t - \frac{r}{c}\right).$$

Обчислюючи ротор від виразу (7.12) і відкидаючи малі члени, пропорційні  $1/r^2$ , одержуємо напруженість магнітного поля випромінюваної хвилі

$$\vec{H}(\vec{r}, t) = \frac{[\vec{d} \times \vec{n}]}{c^2 r} + \frac{[[\vec{\mu} \times \vec{n}] \times \vec{n}]}{c^2 r} + \frac{[\vec{Q} \times \vec{n}]}{c^3 r}. \quad (7.14)$$

Потік електромагнітної енергії визначається вектором Умова-Пойнтінга

$$\vec{S} = \frac{c}{4\pi} [\vec{E} \times \vec{H}]. \quad (7.15)$$

Електромагнітна енергія, випромінювана джерелом в одиницю часу (потужність випромінювання  $P$ ), дорівнює потокові

вектора Пойнтінга через сферу великого радіуса  $R$  з центром на джерелі випромінювання

$$P = \frac{c}{4\pi} \int H^2 r^2 d\Omega. \quad (7.16)$$

Використовуючи формули (7.14) і (7.16), неважко знайти повну інтенсивність випромінювання  $I$ :

$$I = \frac{2(\ddot{d})^2}{3c^3} + \frac{2(\ddot{\mu})^2}{3c^3} + \frac{(\ddot{Q})^2}{5c^5} \quad (7.17)$$

Перший, другий і третій доданок являють собою інтенсивності дипольного, магнітно-дипольного і квадрупольного випромінювань відповідно.

Повну енергію випромінювання можна представити у вигляді частотного розкладу

$$W = \int_0^\infty W(\omega) d\omega, \quad (7.18)$$

де  $W(\omega)$  – спектральна густина випромінювання, тобто енергія, що приходиться на одиничний інтервал частот. Вона характеризує спектральний склад випромінювання.

Щоб визначити спектральну густину  $W(\omega)$  випромінювання заданого джерела, необхідно величини, що входять в інтенсивність (7.17), розкласти в інтеграл Фур'є. Тоді енергія випромінювання в інтервалі частот від  $\omega$  до  $\omega + d\omega$  запишеться у вигляді

$$dW = \left( \frac{2|\ddot{d}(\omega)|^2}{3\pi c^3} + \frac{2|\ddot{\mu}(\omega)|^2}{3\pi c^3} + \frac{|\ddot{Q}(\omega)|^2}{5\pi c^5} \right) d\omega, \quad (7.19)$$

де  $d(\omega)$ ,  $\mu(\omega)$  і  $Q(\omega)$  – компоненти Фур'є відповідних величин.

Напруженості полів і спектральна функція зв'язані між собою співвідношенням Парсеваля:

$$\int_0^\infty W(\omega) d\omega = \frac{c}{4\pi} \int_{-\infty}^\infty |E(t)|^2 dt = \frac{c}{4\pi} \int_{-\infty}^\infty |H(t)|^2 dt. \quad (7.20)$$

Якщо заряджена частинка знаходиться в полі електромагнітної хвилі, то в нерелятивістському випадку на неї діє сила  $\vec{f} = q\vec{E} + \frac{q}{c}[\vec{v} \times \vec{H}]$  (доданком  $\frac{e}{c}(\vec{v} \times \vec{H})$  в багатьох випадках можна нехтувати). Під дією цієї сили частинка здобуває прискорення  $i$  випромінюючи електромагнітні хвилі. В результаті такого перевипромінювання виникає явище, що зв'язане з розсіюванням падаючої хвилі. Цей процес характеризується ефективним перетином  $d\sigma$  розсіювання в тілесний кут  $d\Omega$ .

$$d\sigma = \frac{\langle dI \rangle}{|\vec{s}|}, \quad (7.21)$$

де  $|\vec{s}|$  – модуль вектора Пойнтінга падаючої хвилі, а кутові дужки означають часове усереднення за період коливання.

На випромінюючу частинку з боку електромагнітного поля, що випромінюється, діє гальмуюча сила. Вона називається **силою радіаційного тертя**. В нерелятивістському випадку сила радіаційного тертя має вигляд

$$\vec{f} = \frac{2q^2}{3c^3} \vec{r}, \quad (7.22)$$

де  $q$  і  $\vec{r}$  – заряд і радіус-вектор частинки, що рухається. Рівняння руху частинки з врахуванням радіаційного тертя:

$$m\ddot{\vec{r}} = \vec{F} + \frac{2q^2}{3c^3} \vec{r}. \quad (7.23)$$

Зауважимо, що формулу (7.22) було виведено для квазіколового (або осциляторного) руху і її можна застосовувати не до всіх типів траєкторій частинок.

### §7.1. Випромінювання електромагнітних хвиль. Умови задач.

**№700** Заряд  $q$  рухається рівномірно по колу радіуса  $a$  із лінійною швидкістю  $|\vec{v}| = v_0 \ll c$ . Вважаючи, що відстань до точки спостереження  $r \gg a$ , знайти кутовий розподіл і повну інтенсивність випромінювання.

**№701** Заряд  $q$  рухається рівномірно по колу радіуса  $a$  із лінійною швидкістю  $|\vec{v}| = v_0 \ll c$ . Вважаючи, що відстань до точки спостереження  $r \gg a$ , знайти залежність поляризації випромінювання від кута спостереження.

**№702** Два однакових електричних заряди  $q$  рухаються рівномірно по коловій орбіті радіуса  $R_0$  із нерелятивістською швидкістю  $|\vec{v}| = v_0 \ll c$ , залишаючись при цьому на протилежних кінцях діаметра. Знайти поляризацію, кутовий розподіл та повну інтенсивність випромінювання.

**№703** Два однакових електричних заряди  $q$  рухаються рівномірно по коловій орбіті радіуса  $R_0$  із нерелятивістською швидкістю  $|\vec{v}| = v_0 \ll c$ . При цьому кут між напрямками на заряди (відрахований від центра системи) залишається сталим і дорівнює  $\alpha_0$ . Знайдіть величину кута  $\alpha_0$ , при якому інтенсивність електричного випромінювання дипольного типу дорівнює інтенсивності випромінювання квадрупольного типу.

**№704** Коливання двох електричних дипольних осциляторів мають однакову частоту  $\omega$ , але зсунуті за фазою на  $\pi/2$ . Амплітуди дипольних моментів рівні за величиною  $p_0$  і напрямлені під кутом  $\varphi$  один до одного. Відстань між осциляторами мала у порівнянні з

довжиною хвилі. Знайти кутовий розподіл інтенсивності у хвильовій зоні і повну потужність випромінювання.

**№705** Із гранично тонкого абсолютно поглинаючого матеріалу зроблено сферу великого радіуса  $R_0$  (порожню всередині). Біля центру цієї сфери по коловій орбіті радіуса  $a \ll R_0$  рухається електрон із сталою частотою обертання  $\omega_0$ . Знайти обертальний момент  $\vec{N}$ , який прикладено до цієї сфери з боку електромагнітного поля.

**№706** Куля радіуса  $a$  характеризується однорідною намагніченістю  $\vec{M}$ . Вона обертається з постійною частотою  $\omega$  біля осі, що проходить через центр кулі і складає кут  $\varphi$  з напрямком  $\vec{M}$ . Знайти поле випромінювання та дослідити характер його поляризації. Визначити кутовий розподіл інтенсивності і повну потужність випромінювання.

**№707** Два одинакових електричних диполі напрямлені по одній прямій і осцилюють у протифазі з частотою  $\omega$  (амплітуда дипольного момента кожного із диполей дорівнює  $\vec{p}_0$ ). Відстань між їхніми центрами дорівнює  $L$ , що набагато більше максимальних розмірів кожного із диполей. Знайти електромагнітне поле в хвильовій зоні, кутовий розподіл інтенсивності випромінювання та його повну потужність, якщо  $\lambda \gg a$ .

**№708** Центри двох електричних дипольних осциляторів знаходяться на осі  $z$ , на відстані  $a = \lambda/4$  один від одного. Обидва осцилятори коливаються із частотою  $\omega$  та однаковою амплітудою  $\vec{p}_0 \parallel OX$ . Коливання в осциляторах зсунуті по фазі на  $\pi/2$ . Знайти кутовий розподіл інтенсивності випромінювання.

**№709** Електричний диполь з амплітудою  $\vec{p}_0 \parallel OZ$  і частотою коливань  $\omega$  знаходиться на відстані  $a/2$  від ідеально провідної

площини  $z=0$  ( $a \ll \lambda$ ,  $\lambda$  – довжина хвилі випромінювання). Знайти електромагнітне поле та кутовий розподіл інтенсивності випромінювання в хвильовій зоні  $r \gg \lambda$ .

**№710** Довжина двох сторін рівнобічного трикутника дорівнює  $\alpha$ , а третьої сторони  $b \neq a$ . В кожній із верхівок трикутника розміщено по точковому заряду  $-q$ , а в центрі трикутника – заряд  $+3q$ . Уся система зарядів обертається з частотою  $\omega_0$  навколо осі  $Z$ , що перпендикулярна площині трикутника і проходить крізь його центр. Знайти індикатрису і спектральний склад випромінювання.

**№711** Плоский квадруполь утворено чотирма точковими зарядами  $+q_0, -q_0, +q_0, -q_0$ , що розміщено (в стані спокою) в верхівках квадрата із стороною  $b_0$ . Усі ці заряди коливаються із частотою  $\omega$  і амплітудою  $\alpha_0 < b_0$ . Напрямок коливань кожного заряду співпадає із напрямком тієї діагоналі квадрата, що пересікає відповідну верхівку. Всі заряди коливаються синфазно (тобто одночасно наближаються до центру квадрата, або одночасно віддаляються від нього). Знайти індикатрису випромінювання цієї системи в хвильовій зоні, якщо довжина хвилі випромінювання  $\lambda \gg b_0$ .

**№712** Плоский квадруполь утворено чотирма точковими зарядами  $+q_0, -q_0, +q_0, -q_0$ , що розміщено (в стані спокою) в верхівках квадрата із стороною  $b_0$ . Усі ці заряди коливаються із частотою  $\omega$  і амплітудою  $\alpha_0 < b_0$ . Напрямок коливань кожного заряду співпадає із напрямком нормалі до площини квадрата. Кожна пара зарядів одного знаку коливається синфазно між собою, але протифазно по відношенню до коливань зарядів на верхівках іншої діагоналі (тобто, якщо, наприклад, заряди  $+q$  зміщуються у напрямку “від центра”, то обидва заряди  $-q$  зміщуються на таку ж

саму відстань у напрямку “до центра”. Знайти індикатрису випромінювання цієї системи в хвильовій зоні, якщо довжина хвилі випромінювання  $\lambda \gg b_0$ .

**№713** На осі  $Z$  розміщено при точкових заряди  $-q, +2q, -q$ , що утворюють лінійний квадруполь. В стані спокою відстань між сусідніми зарядами дорівнює  $a_0$ . Середній заряд є нерухомим, а крайні коливаються з частотою  $\omega_0$  і амплітудою  $b_0 < a_0$  в протифазі по відношенню один до одного (тобто, якщо один із зарядів зміщується в напрямку  $+Z$ , то другий одночасно зміщується на таку ж відстань у напрямку  $-Z$ ). Знайти: а) квадрупольний момент системи, б) векторний потенціал поля, що генерується цією системою (в хвильовий зоні), в) індикатрису випромінювання цієї системи в хвильовій зоні.

**№714** На осі  $Z$  розміщено три точкових заряди  $-q, +2q, -q$ , що утворюють лінійний квадруполь. В стані спокою відстань між сусідніми зарядами дорівнює  $a_0$ . Два крайні заряди – нерухомі, а середній коливається відносно осі  $Z$  із амплітудою  $b \ll a_0$  і частотою  $\omega_0$ . Знайти спектральний склад та індикатрису випромінювання в хвильовій зоні.

**№715** Через нескінчений (напрямку осі  $y$ ) плоский конденсатор із шириною пластин  $L$  пролітає частинка з масою  $m$  і зарядом  $q$ . Відстань між обкладинками конденсатора вздовж осі  $z$  дорівнює  $D$ . Напруженість електричного поля  $\vec{E} = \vec{e}_z E_0$  в конденсаторі можна вважати сталою величиною. Частинка влітає посередині конденсатора в напрямку осі  $x$  із початковою швидкістю  $\vec{v}_0$ . Знайти енергію  $W$ , що витрачається на дипольне випромінювання під час прольоту частинки через цей конденсатор.

**№716** В напівпросторі  $z > 0$  існує однорідне, постійне магнітне поле  $\vec{H}_0$ , що направлено вздовж осі  $x$ . В момент часу  $t = 0$  в цей напівпростір в напрямку осі  $y$  влітає частинка з масою  $m$  зарядом  $q$  і швидкістю  $\vec{v}_0$ . Визначити енергію  $W$ , що витрачається на дипольне випромінювання за час руху частинки в магнітному полі.

**№717** Частинка з масою  $m$  і зарядом  $q$  рухається у схрещених полях – електричному і магнітному – з напруженостями  $\vec{E}$  і  $\vec{H}$  відповідно. Ці поля задовільняють умовам  $\vec{E}\vec{H} = 0$  і  $\vec{E} \ll \vec{H}$ . Поля  $\vec{E}$  і  $\vec{H}$  однорідні і сталі, а частинка в початковий момент часу  $t = 0$  мала швидкість  $\vec{v}_0$ . Визначити енергію дипольного випромінювання, що витрачається за одиницю часу руху.

**№718** Електрон з масою  $m$  і зарядом  $e$  пролітає на прицільній відстані  $d$  від нерухомого ядра із зарядом  $Z|e|$ . В нескінченно віддалений момент часу  $t = -\infty$  електрон мав швидкість, що за абсолютною величиною дорівнює  $\vec{v}_0$ . Нехтуючи викривленням траєкторія, знайти енергію  $W$ , що витрачається електроном на дипольне випромінювання за весь час прольоту.

**№719** Частинка з масою  $m$  і зарядом  $q$  пролітає на великій відстані  $d$  від диполя з моментом  $d$ , який закріплено нерухомо на початку системи координат. Коли частинка знаходилася нескінченно далеко від диполя, вона мала швидкість  $v_0$ . Наблизено вважаючи траєкторію прямолінійною, визначити повну енергію  $W$ , що губиться частинкою на дипольне випромінювання у випадку, коли дипольний момент  $\vec{d}$  паралельний початковій швидкості  $\vec{v}_0$  частинки.

**№720** Частина з масою  $m$  і зарядом  $q$  пролітає на великій відстані  $d$  від диполя з моментом  $\vec{d}$ , який закріплено нерухомо на початку системи координат. Коли частина знаходилась нескінченно далеко від диполя, вона мала швидкість  $\vec{v}_0$ . Наблизено вважаючи траєкторію прямолінійною, визначити повну енергію  $W$ , що губиться частиною на дипольне випромінювання у випадку, коли дипольний момент  $\vec{d}$  перпендикулярний до вектора початкової швидкості  $\vec{v}_0$  і лежить у площині руху частинки.

**№721** Повний заряд і дипольний момент деякої системи дорівнює нулю, діагональні компоненти тензора квадрупольного моменту  $D_{XX} = D_{YY} = D_0$ ,  $D_{ZZ} = 0$ , а всі недіагональні компоненти тензора  $\hat{D}$  дорівнюють нулю. В площині  $XY$  на великій прицільній відстані  $d$  від атома пролітає електрон з масою  $m$  і зарядом  $e$ . В нескінченно віддалений момент часу  $t = -\infty$  він мав кінетичну енергію  $E_0$ . Наблизено вважаючи траєкторію руху електрона прямолінійною, визначити повну енергію  $W$ , витрачену ним на випромінювання.

**№722** В результаті ділення ядро розколюється на два уламки з масовими числами  $A_1$  і  $A_2$  і зарядами  $Z_1e$  і  $Z_2e$ . В системі центра інерції сумарна кінетична енергія обох уламків на нескінченності дорівнює  $E_0$ . Маса одного нуклона дорівнює  $m$ . Обчислити повну енергію  $W$  дипольного випромінювання уламків ядра, що розлетілися. Вважати, що рух уламків важкого ядра описується законами класичної механіки. В момент розпаду  $t = 0$  швидкість всіх частин системи дорівнює нулю.

**№723** В класичній моделі атома, запропонованій Резерфордом, електрон з масою  $m$  і зарядом  $e$  обертається по коловій орбіті біля нерухомого ядра з зарядом  $Z|e|$ . Знайти закон зменшення повної енергії  $E$  електрона, обумовлений дипольним

випромінюванням. Обчислити час  $t_n$ , через який електрон впаде на ядро внаслідок втрати енергії. В початковий момент часу  $t_0 = 0$  електрон знаходився на відстані  $a_0$  від центра ядра.

**№724** Довести, що в замкненій системі заряджених частинок з однаковим відношенням заряду до маси у випадку відсутності сторонніх сил дипольне випромінювання відсутнє при будь яких внутрішніх рухах частинок.

**№725** Електронний газ з густиною частинок  $N_0$  при температурі  $T$  знаходиться у зовнішньому однорідному постійному магнітному полі з напруженістю  $H$ . Розподіл електронів по швидкостям описується законом Максвела. Середня відстань між електронами велика у порівнянні з довжиною хвилі, що випромінюється. Визначити потужність випромінювання одиниці об'єму такого електронного газу.

**№726** Нейtron, що має внутрішній магнітний момент  $\vec{\mu}$ , влітає в однорідне постійне магнітне поле з напруженістю  $\vec{H}$ . Внутрішній механічний момент  $\vec{M}$  нейтрона пов'язаний із магнітним моментом співвідношенням  $\vec{\mu} = -\beta \vec{M}$ . Кут між векторами  $\vec{\mu}$  і  $\vec{H}$  в момент  $t = 0$ , коли частинка влетіла в поле, дорівнює  $\Theta_0$ . Знайти інтенсивність випромінювання нейтрона.

**№727** У тонкій нерухомій круглій рамці із радіусом  $R_0$  збуджено струм  $j = j_0 \exp(-a^* t^2)$ . Визначити повну енергію довгохвильового випромінювання за час  $-\infty < t < \infty$ .

**№728** Чи можливе магнітно-дипольне та квадрупольне випромінювання в моделях атома водню, запропонованих Резерфордом та Дж.Дж.Томсоном?

**№729** При виконанні яких умов інтенсивність квадрупольного випромінювання не залежить від вибору початку координат?

**№730** Дві частинки з однаковим відношенням заряду до маси  $e_1/m_1 = e_2/m_2 = e/m$  зв'язані між собою пружиною і здійснюють гармонічні коливання у відсутності поля тяжіння. Довжина ненавантаженої пружини  $L$ , а її коефіцієнт жорсткості  $b$ . В початковий момент часу пружина була ненавантажена і покоїлась. Знайти середню інтенсивність випромінювання. Кулонівською взаємодією зарядів між собою знехтувати.

**№731** В магнітному полі дві однакові частинки з масами  $m$  і зарядами  $e$  обертаються з постійною кутовою швидкістю  $\omega$  по колу, знаходячись на протилежних кінцях діаметра. У початковий момент часу  $t = 0$  кінетична енергія кожної із частинок дорівнювала  $E_0$ . Визначити обумовлений випромінюванням закон спадання кінетичної енергії частинок. Вважати, що частота обертання  $\omega \gg d(\ln E)/dt$ , а взаємодією зарядів між собою можна знехтувати.

**№732** Точковий диполь з моментом  $\vec{d}$  обертається з постійною кутовою швидкістю  $\omega$  по колу радіуса  $R$ . Вектор  $\vec{d}$  постійний за модулем і в кожний момент часу направлений вздовж радіуса кола. Визначити інтенсивності дипольного, магнітно-дипольного і квадрупольного типів випромінювання у довгохвильовому наближенні в хвильовій зоні.

**№733** Два однакових антипаралельних точкових диполів з моментами  $\vec{d}$  і  $-\vec{d}$  обертаються з постійною кутовою швидкістю  $\omega$  по колу радіуса  $R$ , знаходячись на протилежних кінцях діаметра. Моменти диполів постійні за модулем і в кожний момент часу направлені по дотичній до кола. Знайти інтенсивність і кутовий розподіл випромінювання в хвильовій зоні.

**№734** Два однакових антипаралельних точкових диполя розташовані на осі  $Z$  на відстані  $L$  один від одного. Вони коливаються в за одинаковими законами, але в протилежних напрямках. Дипольний момент одного з них  $d = d_0 \cos \omega t$ . Сталий вектор  $d_0$  перпендикулярний прямій, що з'єднує диполі. Довжина випроміненої хвилі  $\lambda \gg L$ . Порівняти між собою інтенсивності магнітно-дипольного і квадрупольного внесків у потужність випромінювання. Розмірами окремого диполя можна знехтувати.

**№735** Тонкий диск радіуса  $R$  обертається навколо свого діаметра з постійною кутовою швидкістю  $\Omega$ . Цей диск однорідно заряджений із поверхневою густинорою  $\sigma$ . Знайти інтенсивність випромінювання.

**№736** Тонкий стрижень довжини  $L$ , обертається навколо свого центра з постійною кутовою швидкістю  $\Omega$ . Вісь обертання перпендикулярна до осі стрижня. Стрижене однорідно заряджений із лінійною густинорою  $\chi$ . Знайти інтенсивність випромінювання.

**№737** Електрон з масою  $m$  і зарядом  $e$  до моменту часу  $t_0 = 0$  знаходився у стані спокою. При  $t \geq 0$  на нього діє електричне поле  $E = E_0 e^{-\alpha t} \sin \omega_0 t$ . Знайти спектральний розподіл потужності випромінювання.

**№738** Частина з масою  $m$  і зарядом  $q$  висить на невагомій жорсткій нитці і коливається в полі тяжіння. Знайти інтенсивність випромінювання і її спектральну ширину. Врахувати сплив сили радіаційного тертя.

**№739** Поле випромінювання малої антени (з розмірами  $L \ll \lambda(\text{середнє})$ ) має вигляд  $E = E_0 \exp(-B t^2) \cos \omega_0 t$ , де  $\omega_0$ ,  $B$  – константи системи,  $\vec{n}$  – одиничний вектор напрямку розповсюдження хвиль, а  $\vec{E}$  – станий вектор. Визначити ширину  $\Delta\omega$  спектральної лінії випромінювання, якщо  $\omega_0 \gg B^{-1}$ .

**№740** Дві частинки з масами  $m_1$  і  $m_2$  та одноіменними зарядами  $q_1$  і  $q_2$  закріплено на відстані  $L$  одна від одної. В момент часу  $t = 0$  їх відпускають і вони розлітаються в протилежні боки. Знайти спектральний склад випромінювання такої системи.

**№741** По коловій антені радіуса  $R_0$  тече струм  $J = b_0 \frac{t}{a_0 + t^2}$  ( $-\infty < t < +\infty$ ), де  $b_0$ ,  $a_0$  сталі величини. Радіус антени задовільняє нерівності:  $R_0 \ll c\sqrt{a_0}$ . Знайти спектральний склад випромінювання.

**№742** Просторово однорідний електронний промінь великого радіуса  $R_0$  направлено на невелику нейтральну кульку діаметра  $d_0 \ll R_0$ . Ті електрони, що досягають поверхні кульки, абсолютно дружно розсіюються. Нехтуючи взаємодією між електронами знайти низькочастотну складову спектрального складу випромінювання.

**№743** Частинка із зарядом  $Q$  рухається із швидкістю  $v$  по прямолінійній траєкторії повз електронейтрального атома, що покоїться. Коефіцієнт поляризованості цього атома дорівнює  $\beta$ . Останнє означає, що в зовнішньому електричному полі з напруженістю  $\vec{E}$  біля атома з'являється електричний дипольний момент  $\vec{d} = \beta \vec{E}$ . Прицільна відстань частинки дорівнює  $L$ . Знайти спектральний склад випромінюваної енергії при умові, що викривленням траєкторії руху можна знехтувати.

**№744** Користуючись методом Ліенара-Віхерта визначити напруженості електричного і магнітного полів заряду  $q$ , що рухається із швидкістю  $V$ .

**№745** Рухаючись із швидкістю, близькою до швидкості світла, електрон потрапляє в область однорідного постійного

електричного поля із напруженістю  $\vec{E}_0$ . В момент вльоту в це поле швидкість електрона дорівнювала  $\vec{v}_0$  і була напрямлена перпендикулярна до вектора  $\vec{E}_0$ . Визначити енергію, що випромінюється за час  $\Delta t$  руху в електричному полі. Втрати енергії вважати малими порівняно із початковою енергією електрона і вважати, що  $\Delta t \ll mv_0(q|E_0|)^{-1}$ .

**№746** Рухаючись із швидкістю, близькою до швидкості світла, електрон потрапляє в область однорідного постійного електричного поля із напруженістю  $\vec{E}_0$ . В момент вльоту в це поле швидкість електрона дорівнювала  $\vec{v}_0$  і була напрямлена вздовж вектора  $\vec{E}_0$ . Визначити енергію, що випромінюється за час  $\Delta t$  руху в електричному полі. Втрати енергії вважати малими порівняно із початковою енергією електрона і вважати, що  $\Delta t \ll mv_0(q|E_0|)^{-1}$ .

## § 8. Випромінювання антен. Теоретичні основи.

Найпростіша антена являє собою лінійний відрізок нескінченно тонкого дроту, в якому збуджено струм із густинou

$$\vec{j}(\vec{r}', t') = \vec{e}_z I(z', t') \exp(-i\omega t') \delta(x') \delta(y') \theta\left(\frac{L}{2} - |z'|\right). \quad (8.1)$$

Вище позначено :  $\omega$  - частота струму,  $I(z', t')$  – амплітуда повного струму в перерізі  $z'$  антени в момент  $t'$ .

Вектор-потенціал поля антени в хвильовій зоні :

$$\vec{A}(\vec{r}, t) \cong \frac{1}{c|r|} \int_V \vec{j}\left(\vec{r}', t - \frac{|r|}{c} + \frac{(\vec{r}' \cdot \vec{n})}{c}\right) d^3 r'. \quad (8.2)$$

Для **стоячих хвиль** амплітуда повного струму не залежить від  $t'$ , тобто  $I = I(z')$ . При цьому граничні умови мають такий вигляд:

$$I\left(z' = +\frac{L}{2}\right) = I\left(z' = -\frac{L}{2}\right) = 0. \quad (8.3)$$

Можливі два розподiли струмiв:

- a) **симетричний**:  $I(z') = +I(-z')$ ,
- б) **антисиметричний**:  $I(z') = -I(-z')$ .

В загальному випадку функцiю  $I(z)$  можна розкласти в ряд Фур’є i розглянути умови, при яких в антенi збуджується тiльки одна гармонiка. Тодi просторова залежнiсть струму буде мати вигляд

$$I(z') = I_k^0 \cos(k z') \quad (8.4.a)$$

у випадку, коли ця хвиля **симетрична** (вiдносно центру антени), або

$$I(z') = I_k^0 \sin(k z') \quad (8.4.b)$$

якщо вона є **антисиметричною**.

Умова збудження в антенi однiєї гармонiки стоячої хвилi

$$L = \left( \frac{\lambda}{2} \right) m, \quad 8.(5)$$

де  $m$  – довільне ціле число (позитивне).

Знаючи вектор-потенціал  $\vec{A}(\vec{r}, t)$  поля, можна тепер знайти напруженості різних компонент поля

$$\left. \begin{aligned} \vec{H}(\vec{r}, t) &= \frac{1}{c} [\dot{\vec{A}}(\vec{r}, t) \times \vec{n}], \\ \vec{E}(\vec{r}, t) &= \frac{1}{c} [\dot{\vec{A}}(\vec{r}, t) \times \vec{n}] \times \vec{n} \end{aligned} \right\} \quad 8.(6)$$

та вектор Умова-Пойнтінга:

$$\vec{S} = \frac{\vec{n}}{4\pi c} \left\langle \left\{ \left( \dot{\vec{A}} \right)^2 - (\vec{n} \cdot \dot{\vec{A}})^2 \right\} \right\rangle. \quad 8.(7)$$

Символ  $\langle \dots \rangle$  в (7) означає усереднення по часу (або по періоду хвилі).

**Індикаторисою** називається кутовий розподіл інтенсивності випромінювання. Треба пам'ятати, що вздовж напрямку лінійного дроту лінійна антена не випромінює.

В загальному випадку індикаториса випромінювання антени, на довжині якої укладається  $m$  півхвиль, має  $m$  мінімумів під кутами  $\theta_n^{\min}(m_1)$ . Можна показати, що при  $m \gg 1$  кут першого максимуму

$$\theta_1(m) \sim \frac{1}{\sqrt{m}}. \quad 8.(8)$$

*а при великих "m" потужність випромінювання в напрямку першого (головного) максимуму зростає пропорційно m. При цьому чим більша довжина антени, тим вужчий перший максимум.*

Для знаходження загальної потужність  $P_m$  випромінювання оточимо антenu сферою дуже великого радіуса  $R \gg L, \lambda$  і

проінтегруємо інтенсивність випромінювання по поверхні цієї сфери:

$$P_m = \int_{\Omega} \vec{S}_m d\vec{\sigma}, \quad (8.9)$$

Опір випромінювання  $R_m^a$  вводиться як коефіцієнт пропорційності між  $P_m$  і середньоквадратичним струмом:

$$P_m = R_m^a \langle I^2 \rangle. \quad (8.10)$$

Зважаючи на те, що для гармонічних полів середнє значення квадрату струму

$$\langle I^2 \rangle = \frac{1}{2} (I_m^0)^2, \quad (8.11)$$

може бути виражене через амплітудне значення  $I_m^0$ , можна отримати

$$R_m^a = \frac{2P_m}{(I_m^0)^2}. \quad (8.12)$$

В загальному випадку антеннний опір випромінюванню має комплексний характер:  $Z(\lambda) = Z'(\lambda) + iZ''(\lambda)$ . В умовах точного резонансу, коли  $\lambda = \lambda_m$ , уявна частина цього опору  $Z''(\lambda_m) = 0 \quad \left( \lambda_m = \frac{2L}{m}, m = 1, 2, 3, \dots \right)$ .

Для формування діаграм направленості спеціальних типів (наприклад, з високою направленістю лише в одному напрямку) можуть бути застосовано більш складні антени. Наприклад, для ромбічної антени можна підібрати такі параметри (довжини ребер, кути між ними), що випромінювання буде, в основному, зосереджено вздовж довгої осі ромба.

Живлення антени повинно підключатися таким чином, щоб розрив антенного дроту мав місце в області максимуму струму.



### §8.1. Випромінювання антенн. Умови задач.

**№800.** В лінійній антені довжиною  $L$  збуджено стоячу хвиллю струму з амплітудою  $I_0$  частотою  $\omega$  і вузлами на кінцях антені. Кількість напівхвиль струму, що містяться на довжині антені, дорівнює  $m$ . Знайти кутовий розподіл інтенсивності випромінювання.

**№801.** Знайти повну потужність  $P_m$  та опір випромінюванню  $R_m$  антені, що розглянуто в попередній задачі.

**№802.** На кінцях лінійної антені довжиною  $L$  розташовано таке навантаження, щоб позбутися відбитих хвиль. При цьому в ній розповсюджується біжуча хвиля струму  $J=I_0 \exp[i(k\xi - \omega t)]$ , де  $k=\omega/c$ ,  $\xi$  - координата точки на антені. Знайти кутовий розподіл та повну інтенсивність випромінювання. Порівняти із випадком збудження стоячих хвиль.

**№803.** У круглій дротяній петлі радіуса  $R_0$  збуджено стоячу хвиллю струму  $I = I_0 \cdot \vec{e}_\alpha(\alpha) \cdot \sin(\alpha \frac{R_0}{\lambda}) \cdot \exp[-i\omega t]$  ( $\alpha$  - кут в площині антені). Знайти електромагнітне поле  $\vec{H}$ ,  $\vec{E}$  у хвильовій зоні. Розглянути випадки петель малого (порівнянно із довжиною хвилі) і великого радіусів.

**№804.** Для попередньої задачі знайти кутовий розподіл інтенсивності випромінювання у хвильовій зоні.

**№805.** В круглій дротяній петлі радіуса  $R_0$  збуджено біжучу хвиллю струму  $I = I_0 \cdot \vec{e}_\alpha(\alpha) \cdot \exp\left[i(\alpha \frac{R_0}{\lambda} - \omega t)\right]$  ( $\alpha$  - кут в площині антені). Знайти електромагнітне поле  $\vec{H}$ ,  $\vec{E}$  у хвильовій зоні. Розглянути випадки петель малого (порівнянно із довжиною хвилі) і великого радіусів.

**№806.** Для попередньої задачі знайти кутовий розподіл інтенсивності випромінювання у хвильовій зоні. Порівняти результати із випадком збудження стоячої хвилі.

**№807.** Лінійна антена має довжину  $L = m(\lambda/2)$  і напрямлена вздовж осі  $z$ . В ній збуджується стояча хвилля з довжиною хвилі  $\lambda$ . Знайти положення абсолютних мінімумів індикатриси випромінювання відносно осі  $z$  при довільних (але ціличисельних)  $m$ .

**№808.** Лінійна антена має довжину  $L = m(\lambda/2)$  і напрямлена вздовж осі  $z$ . В ній збуджується стояча хвилля з довжиною хвилі  $\lambda$ . Для  $m=2$  знайти кут  $\theta_1$  напрямку першого максимуму і напівширину першої пелюстки випромінювання з точністю не гірше  $1/m^2$ .

**№809.** Лінійна антена має довжину  $L = m(\lambda/2)$  і напрямлена вздовж осі  $z$ . В ній збуджується стояча хвилля з довжиною хвилі  $\lambda$ . Для  $m=3$  знайти кут  $\theta_2$  напрямку другого максимуму і півширину другої пелюстки випромінювання з точністю не гірше  $1/m^2$ .

**№810.** Лінійна антена має довжину  $L = m(\lambda/2)$  і напрямлена вздовж осі  $z$ . В ній збуджується стояча хвилля з довжиною хвилі  $\lambda$ . Для  $m>>1$  знайти напрямок першого максимуму індикатриси випромінювання і потужність випромінювання в цьому максимумі.

**№811.** Лінійна антена має довжину  $L = m(\lambda/2)$  і напрямлена вздовж осі  $z$ . В ній збуджується стояча хвилля з періодом  $\lambda$ . Для  $m>>1$  знайти напрямок другого максимуму індикатриси випромінювання відносно осі  $z$  і потужність випромінювання в цьому максимумі.

**№812.** Лінійна антена має довжину  $L$  і напрямлена вздовж осі  $z$ . В ній збуджується біжуча хвилля з хвильовим вектором  $k$ . Знайти положення абсолютних мінімумів індикатриси випромінювання відносно осі  $z$ .

**№813.** Лінійна антена має довжину  $L$  і напрямлена вздовж осі  $z$ . В ній збуджується біжуча хвилля з хвильовим вектором  $k$ . Для

випадку  $kL > 1$  знайти кут  $\theta_1$  напрямку першого максимуму та півширину першої пелюстки випромінювання.

**№814.** Лінійна антена має довжину  $L$  і направлена вздовж осі  $z$ . В ній збуджується біжуча хвиля з хвильовим вектором  $k$ . Для випадку  $kL > 1$  знайти кут  $\theta_2$  напрямку другого максимуму і півширину другої пелюстки випромінювання.

**№815.** Лінійна антена має довжину  $L$  і направлена вздовж осі  $z$ . В ній збуджується біжуча хвиля з хвильовим вектором  $k$ . Для випадку  $kL = 4\pi$  знайти напрямок першого максимуму індикатриси випромінювання і потужність випромінювання в цьому максимумі.

**№816.** Лінійна антена має довжину  $L$  і направлена вздовж осі  $z$ . В ній збуджується біжуча хвиля з хвильовим вектором  $k$ . Для випадку  $kL = 4\pi$  знайти напрямок другого максимуму індикатриси випромінювання відносно осі  $z$  і потужність випромінювання в цьому максимумі.

**№817.** Антена являє собою два лінійних дроти довжиною  $L$ , розташовані на одній лінії так, що відстань між їхніми найближчими кінцями дорівнює  $d$ . В обох частинах антени збуджено стоячі хвилі довжиною  $\lambda = 2L/m$  ( $m$  – ціле додатне число). Знайти залежність індикатриси випромінювання від  $d$  для випадку симетричного живлення (тобто фази хвиль в обох дротах співпадають).

**№818.** Антена являє собою два лінійних дроти довжиною  $L$ , розташовані на одній лінії так, що відстань між їхніми найближчими краями дорівнює  $d$ . В обох частинах антени збуджено стоячі хвилі довжиною  $\lambda = 2L/m$  ( $m$  – ціле додатне число). Знайти залежність індикатриси випромінювання від  $d$  для випадку антисиметричного живлення (тобто фази хвиль в обох дротах відрізняються знаками).

**№819.** Антена являє собою два лінійних дроти довжиною  $L$ , розташовані на одній лінії так, що відстань між їхніми найближчими краями дорівнює  $d$ . В кожній частині антени збуджено біжучу хвиллю з хвильовим вектором  $\vec{k}$  (тобто хвилі в кожному дроті

рухаються в один бік). Знайти залежність індикатриси випромінювання від  $d$  для випадку симетричного живлення.

**№820.** Антена являє собою два лінійних дроти довжиною  $L$ , розташовані на одній лінії так, що відстань між їхніми найближчими краями дорівнює  $d$ . В кожній частині антени збуджено біжучу хвиллю з хвильовим вектором  $\vec{k}$ . Знайти залежність індикатриси випромінювання від  $d$  для випадку антисиметричного живлення (тобто струм в обох дротах зсунуто по фазі на  $\pi$ ).

**№821.** Антена являє собою два лінійних дроти довжиною  $L$ , розташовані на одній лінії так, що відстань між їхніми найближчими краями дорівнює  $d$ . В кожній частині антени збуджено біжучу хвиллю, хвильові вектори для різних дротів відрізняються за знаком (тобто хвилі в кожному дроті рухаються в різні боки). Знайти залежність індикатриси випромінювання від  $d$  для випадку синфазного живлення.

**№822.** Антена являє собою два лінійних дроти довжиною  $L$ , розташовані на одній лінії так, що відстань між їхніми найближчими краями дорівнює  $d$ . В кожній частині антени збуджено біжучу хвиллю, хвильові вектори для різних дротів відрізняються за знаком (тобто хвилі в кожному дроті рухаються в різні боки). Знайти залежність індикатриси випромінювання від  $d$  для випадку протифазного живлення.

**№823.** Антена являє собою два паралельні лінійних дроти довжиною  $L$ . Відстань між цими дротами дорівнює  $d$ . В обох частинах антени збуджено стоячі хвилі довжиною  $\lambda = 2L/m$  ( $m$  – ціле додатне число). Знайти залежність індикатриси випромінювання від  $d$  для випадку синфазного живлення (тобто фази хвиль в обох дротах співпадають).

**№824.** Антена являє собою два паралельних лінійних дроти довжиною  $L$ . Відстань між цими дротами дорівнює  $d$ . В обох частинах антени збуджено стоячі хвилі довжиною  $\lambda = 2L/m$  ( $m$  – ціле додатне число). Знайти залежність індикатриси

випромінювання від  $d$  для випадку протифазного живлення (тобто фази хвиль в обох дротах відрізняються знаками ).

**№825.** Антена являє собою два лінійних дроти довжиною  $L$ , що лежать на одній прямій. Мінімальна відстань між цими дротами дорівнює  $d$ . В кожній частині антени збуджено біжучу хвиллю з хвильовим вектором  $\vec{k}$  (тобто хвилі в кожному дроті рухаються в один бік). Знайти залежність індикатриси випромінювання від  $d$  для випадку синфазного живлення.

**№826.** Антена являє собою два паралельних лінійних дроти довжиною  $L$ . Відстань між цими дротами дорівнює  $d$ . В кожній частині антени збуджено біжучу хвиллю з частотою  $\omega$  і однаковими хвильовими векторами  $\vec{k}$  (тобто хвилі в кожному дроті рухаються в один бік). Знайти залежність індикатриси випромінювання від  $d$  для випадку протифазного живлення.

**№827.** Антена являє собою два паралельних лінійних дроти довжиною  $L$ . Відстань між цими дротами дорівнює  $d$ . В кожній частині антени збуджено біжучу хвиллю, хвильові вектори для різних дротів відрізняються за знаком (тобто хвилі в кожному дроті рухаються в різні боки). Знайти залежність індикатриси випромінювання від  $d$  для випадку синфазного живлення.

**№828.** Антена являє собою два паралельних лінійних дроти довжиною  $L$ . Відстань між цими дротами дорівнює  $d$ . В кожній частині антени збуджено біжучу хвиллю, хвильові вектори для різних дротів відрізняються за знаком (тобто хвилі в кожному дроті рухаються в різні боки). Знайти залежність індикатриси випромінювання від  $d$  для випадку протифазного живлення.

**№829.** Антена являє собою систему  $N$  паралельних вібраторів із довжиною сторін  $L$  та відстанню  $d$  між сусідніми вібраторами. В кожному вібраторі збуджено стоячу хвиллю з довжиною  $\lambda = 2L/m$  ( $m$  – ціле додатне число). Дослідити індикатрису випромінювання для випадку синфазного живлення сусідніх вібраторів.

**№830.** Антена являє собою систему  $N$  паралельних вібраторів із довжиною сторін  $L$  та відстанню  $d$  між сусідніми вібраторами. В кожному вібраторі збуджено стоячу хвиллю з довжиною  $\lambda = 2L/m$  ( $m$  – ціле додатне число). Дослідити індикатрису випромінювання для випадку протифазного живлення сусідніх вібраторів

**№831.** Антена являє собою систему  $N$  паралельних вібраторів із довжиною сторін  $L$  та відстанню  $d$  між сусідніми вібраторами. В кожному вібраторі збуджено біжучу хвиллю з частотою  $\omega$ . Дослідити індикатрису випромінювання для випадку синфазного живлення сусідніх вібраторів.

**№832.** Антена являє собою систему  $N$  паралельних вібраторів із довжиною сторін  $L$  та відстанню  $d$  між сусідніми вібраторами. В кожному вібраторі збуджено біжучу хвиллю з хвильовим вектором  $\vec{k}$ . Дослідити індикатрису випромінювання для випадку протифазного живлення сусідніх вібраторів.

**№833.** Кутова антена складається із двох лінійних частин довжиною  $L$  кожна, які утворюють між собою прямий кут. В антені збуджується стояча хвилля з вузлами на краях та пучністю в точці з'єднання лінійних частин. На всій довжині антени  $2L$  вкладається  $2p+1$  півхвиль (  $p$  – ціле додатне число). Дослідити індикатрису випромінювання антени.

**№834.** Кутова антена складається із двох лінійних частин довжиною  $L$  кожна, які утворюють між собою прямий кут. В антені збуджується біжуча хвилля з частотою  $\omega$ . Дослідити індикатрису випромінювання антени.

**№835.** Антена являє собою квадрат із довжиною сторін  $L$ . В ній збуджено стоячу хвилю з вузлами в одній парі протилежних вершин та пучностями в іншій парі вершин. Довжина хвилі  $4L = m\lambda$  ( $m$  – ціле додатне число). Знайти індикатрису випромінювання антени.

**№836.** Антена являє собою квадрат із довжиною сторін  $L$ . В ній збуджено біжучу хвилю з частотою  $\omega$ . Знайти індикатрису випромінювання антени.

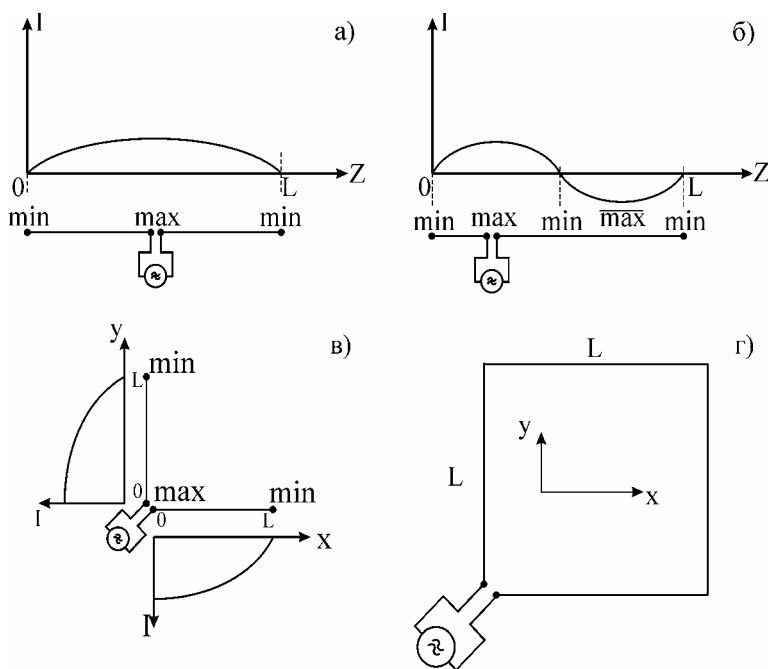


Рис. 8.1. Типи антен.

- Напівхвильова лінійна антена ( $L=\lambda/2$ ). Стояча хвиля.
- Хвильова лінійна антена ( $L=\lambda$ ). Стояча хвиля.
- Кутова антена. Стояча хвиля.
- Квадратна антена. Біжуча хвиля.

### Додаток A. Дельта-функція

Операція, яка парі функцій  $\phi(x)$  та  $f(x)$  ставить у відповідність деяку третю функцію  $\Phi(x)$ , що визначається інтегралом

$$\Phi(x) = \phi * f = \int_{-\infty}^{\infty} \phi(x - \xi) f(\xi) d\xi \quad . \quad (\text{A.1})$$

називається **згорткою**.

Наведемо деякі властивості згортки:

1.  $\phi * f = f * \phi$  .
2.  $(\phi * f) * \varphi = \phi * (f * \varphi)$  .
3.  $\phi * (f * \varphi) = \phi * f + \phi * \varphi$  .

Із визначення операції згортки бачимо, що функція  $\Phi(x)$  відмінна від нуля в деякій точці  $x_0$  тільки тоді, коли існує інтервал, на якому обидві функції  $\phi(x_0 - \xi)$  та  $f(\xi)$  відмінні від нуля. Чим "гостріша" одна з функцій (наприклад  $\phi(x)$ ), тим більше форма  $\Phi(x)$  походить на форму іншої функції (в даному прикладі -  $f(x)$ ).

Якщо в результаті виконання операції "згортки" ми отримуємо одну із підінтегральних функцій, то інша (що забезпечує таку властивість перетворення) звєтиться **дельта – функцією Дірака**. Останнє означення можна записати у вигляді:

$$\int_{a_1}^{a_2} f(x) \delta(x - b) dx = f(b), \quad (\text{A.2})$$

де вважається, що  $a_1 < b < a_2$ . Використовуючи пряме

$$F(b) = \int_{-\infty}^{+\infty} F(k) e^{skb} dk \quad (\text{A.3.a})$$

та обернене Фур'є-перетворення

$$F(k) = \frac{1}{2\pi} \int_{-\infty}^{+\infty} F(x) e^{-ikx} dx \quad (\text{A.3.b})$$

та підставляючи (A.3.b) в (A.3.a) неважко отримати

$$F(b) = \int_{-\infty}^{+\infty} \left[ \frac{1}{2\pi} \int_{-\infty}^{+\infty} F(x) e^{-ikx} dx \right] e^{ikb} dk = \int_{-\infty}^{+\infty} dx \cdot F(x) \left[ \frac{1}{2\pi} \int_{-\infty}^{+\infty} dk e^{ik(b-x)} \right] \quad (\text{A.4})$$

Порівнюючи (A.4) з (A.2) знаходимо інтегральне представлення дельта-функції:

$$\delta(x-b) = \frac{1}{2\pi} \int_{-\infty}^{+\infty} e^{ik(b-x)} dk \quad (\text{A.5})$$

Зокрема, із (A.5) витікає, що дельта-функція є парною функцією свого аргументу.

З іншого боку дельта-функцію Дірака можна визначити таким чином

$$\begin{cases} \delta(x) = \infty & x = 0, \\ \delta(x) = 0 & x \neq 0 \end{cases} \quad (\text{A.6.a})$$

$$\int_{-\infty}^{\infty} \delta(x) dx = 1. \quad (\text{A.6.b})$$

Зауважимо, що дельта-функція не є функцією в звичайному розумінні цього слова, а належить до класу так званих **узагальнених функцій**.

Наведемо деякі властивості  $\delta$ -функції, які використовуються найчастіше:

$$\left. \begin{array}{l} \delta(-x) = \delta(x), \\ \delta(ax) = \frac{1}{a} \delta(x), \\ \int\limits_{-\infty}^{\infty} \phi(x) \delta(x - x_0) dx = \phi(x_0), \\ \frac{d^n}{dx^n} \delta(x) = (-1)^n \frac{n!}{x^n} \delta(x) \end{array} \right\} \quad (\text{A.7})$$

Розглянемо випадок більш складного інтегрування, коли дельта-функція сама залежить від іншої функції:

$$I = \int\limits_{a_1}^{a_2} F(x) \cdot \delta[\varphi(x)] dx \quad (\text{A.8})$$

Коли існує пряма функція  $\varphi = \varphi(x)$ , то звичайно можна знайти і обернену залежність  $x = x(\varphi)$ . Це дозволяє перетворити (A.8) до такого вигляду:

$$I = \int F(x(\varphi)) \delta(\varphi) \frac{1}{\left( \frac{dx}{d\varphi} \right)} d\varphi = \frac{F(x(\varphi = 0))}{\left( \frac{dx}{d\varphi} \right)_{\varphi=0}} \quad (\text{A.9})$$

Фігуруючі з правого боку функції  $F$  та  $x$  беруться в точці  $\varphi = 0$ . Звернемо увагу на те, що рівняння

$$\varphi(x_n) = 0 \quad (\text{A.10})$$

може мати багато коренів  $x_n$  (Рис.А.1). Тому більш правильно писати:

$$I = \sum_n \frac{F(x_n)}{\left( \frac{dx}{d\varphi} \right)_{x=x_n}} \quad (\text{A.11})$$

де сума береться по всіх коренях рівняння (A.10), що належать інтервалу  $(a, b)$ .

Порівнюючи (A.11) і (A.8) приходимо до висновку про тотожність двох операцій: використання дельта-функції від складного аргументу та сума дельта-функцій із ваговими множниками. Останнє твердження можна записати у вигляді рівності:

$$\delta[\varphi(x)] = \sum_n \frac{\delta(x - x_n)}{\left(\frac{d\varphi}{dx}\right)_n} \quad (\text{A.12})$$

Сума в (A.12) береться по таких  $n$ , для яких виконується умова :  $a_1 < x_n < a_2$ .

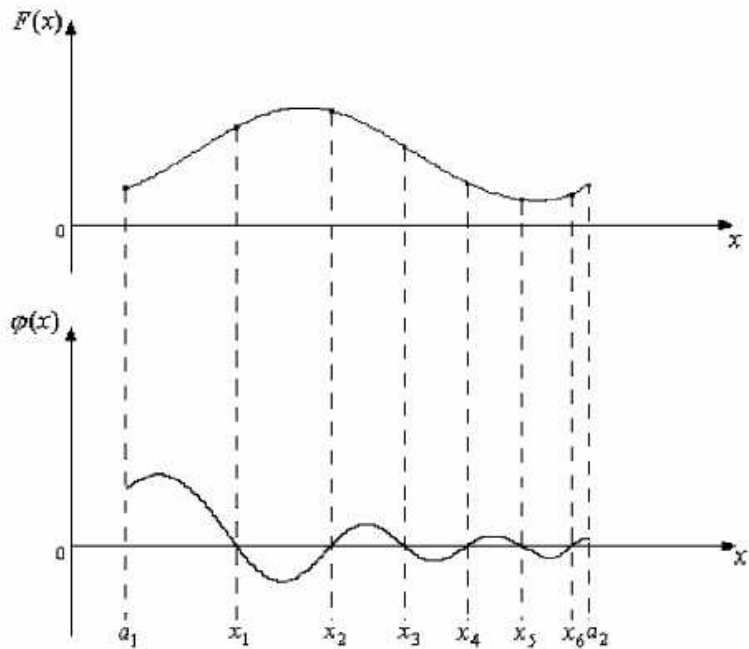


Рис. А.1.

**Додаток Б. Теорія лишків.**

Якщо  $a = a' + ia''$  – ізольована особлива точка аналітичної функції  $f(z)$ , то поблизу від  $a$  остання функція може бути розкладена **в ряд Лорана**:

$$f(z) = \sum_{-\infty}^{+\infty} A_n (z - a)^n. \quad (\text{Б.1})$$

Коефіцієнт  $(z - a)^{-1}$  в цьому розкладі (тобто  $A_{-1}$ ) називається **лишком** функції  $f(z)$  відносно особливої точки  $a$ . Звичайно він позначається знаком  $\operatorname{Res} f(z)$ . Можна показати, що

$$A_{-1} = \frac{1}{2\pi i} \oint_{\gamma} f(z) dz, \quad (\text{Б.2})$$

де інтегрування відбувається на комплексній площині  $z = z' + iz''$  по контуру  $\gamma$  (мале коло) з центром в точці  $a$ .

Нехай  $a_1, a_2, \dots, a_m$  (Рис. Б.1) – прості полюси функції  $f(z)$ , що лежать всередині деякого контуру  $L$ . Допоміжні контури  $\gamma_1, \gamma_2, \dots, \gamma_m$  – то малі кола навколо цих точок (полюсів). Останні повинні лежати всередині області  $L$  і не перетинатися один з одним. В цьому випадку **основна теорема про лішки** може бути представлена в такому вигляді:

$$\oint_L f(z) dz = 2\pi i \left[ \operatorname{Res}_{a_1} f(z) + \operatorname{Res}_{a_2} f(z) + \dots + \operatorname{Res}_{a_m} f(z) \right]. \quad (\text{Б.3})$$

Зауважимо, що обхід усіх контурів інтегрування повинен проводитись **проти годинникової стрілки**. Остання умова

пов'язана із тим, що звичайно комплексне число  $z$  подають у вигляді

$$z = |z|(\cos \varphi + i \sin \varphi), \quad (\text{Б.4})$$

а зростання кута  $\varphi$  від нуля до  $2\pi$  відповідає руху як раз проти годникової стрілки. У випадку обходу контурів за годинникою стрілкою відповідні лишки беруться зі знаком “мінус”.

Якщо  $a$  являє собою  $n$ -кратний полюс для  $f(z)$ , то

$$\operatorname{Res}_a f(z) = \frac{1}{(n-1)!} \cdot \lim_{z \rightarrow a} \left\{ \frac{\partial^{n-1}}{\partial z^{n-1}} [(z-a)^n f(z)] \right\}. \quad (\text{Б.5})$$

При  $n=1$  (простий полюс) ця формула приймає вигляд

$$\operatorname{Res}_a f(z) = \lim_{z \rightarrow a} [(z-a)f(z)]. \quad (\text{Б.6})$$

У відповідності з основною теоремою для обчислення інтегралу вздовж замкненого контуру  $L$  достатньо знати лишки функції відносно особливих точок, які лежать усередині  $L$ .

Розглянемо лишок відносно простого полюсу. Нехай задана функція  $f(z) = \frac{\varphi(z)}{\psi(z)}$ , де чисельник та знаменник, які беруться окремо, аналітичні поблизу від  $a$ . Припускається, що точка  $a$  – простий нуль для знаменника  $\psi(z)$ . Якщо при цьому  $\varphi'(a) \neq 0$ , то  $a$  буде **простим полюсом** для функції  $f(z)$ . Введемо позначення  $\psi(z) = (z-a)\psi_1(z)$ , де допоміжна функція  $\psi_1(z)$  аналітична поблизу  $a$  і  $\psi_1'(a) \neq 0$ . Тоді поблизу точки  $a$  функція  $\frac{\varphi(z)}{\psi_1(z)}$  аналітична і лишок дорівнює

$$\operatorname{Res}_a f(z) = \frac{\varphi(a)}{\psi_1'(a)}. \quad (\text{Б.7})$$

Оскільки  $\psi'(a) = \psi_1'(a)$ , то із (7) випливає

$$\operatorname{Res}_a f(z) = \frac{\varphi(a)}{\psi'(a)}. \quad (\text{Б.8})$$

Правило обчислення лишків (Б.8) дозволяє легко знаходити інтеграли з простими полюсами.

Нехай  $f(z)$  – функція, яка не має особливих точок на дійсній осі, але має скінчену кількість особливих точок  $a, b, \dots, k$  вище дійсної осі (Рис. А.1). Поділимо контур  $L$  на дві частини: пряму, що лежить на дійсній осі, і напівколо  $C$ , що замикає контур

$$\oint_L f(z) dz = \int_{-R}^R f(x) dx + \int_C f(z) dz. \quad (\text{Б.9})$$

При великому радіусі  $R$  замикаючого напівколо  $C$  точки  $a, b, \dots, k$  будуть лежати усередині контуру  $L$ . Спрямуємо тепер  $R \rightarrow \infty$ . Якщо при  $|z| \rightarrow \infty$  (в верхньому напівколі) модуль підінтегрального виразу  $|f(z)|$  наближається до нуля скоріше, ніж  $1/|z|$ , то

$$\lim_{R \rightarrow \infty} \int_C f(z) dz = 0. \quad (\text{Б.10})$$

При цьому із (Б.3, 9, 10) випливає, що

$$\int_{-\infty}^{+\infty} f(x) dx = 2\pi i \left[ \operatorname{Res}_a f(z) + \dots + \operatorname{Res}_k f(z) \right] \quad (\text{Б.11})$$

Одержаній результат часто використовують для обчислення інтегралів по нескінченій прямій.

Зрозуміло, що існують обмеження на характер підінтегральної функції. Формула (Б.11) може застосуватись, зокрема, якщо  $f(z)$  є рациональним дробом, в якому знаменник не має дійсних коренів і ступінь знаменника перевищує ступінь чисельника більш, ніж на одиницю. Крім того, вона застосовується, якщо  $f(z)$  задовільняє таким умовам: має на нескінченості нуль кратності  $\geq 2$ , не має

особливих точок на дійсній осі і має тільки скінчене число особливих точок вище дійсної осі.

### Додаток В. Інтеграли Френеля.

Як приклад застосування теорії лишків розглянемо такі інтеграли:

$$C_F = \int_0^{+\infty} \cos(x^2) dx, \quad S_F = \int_0^{+\infty} \sin(x^2) dx. \quad (\text{B.1})$$

За теоремою Коши (1825 р.) інтеграл від будь-якої регулярної аналітичної функції  $f(z)$  від комплексної змінної  $z = z' + iz''$

$$\int_a^b f(z) dz, \quad (a, b \in D) \quad (\text{B.2})$$

не залежить від вибору путі інтегрування між точками  $a$  і  $b$  в однозв'язній області  $D$ . Зокрема, інтеграл від функції  $f(z) = \exp(iz^2)$ , взятий по будь-якій замкненій кривій (контуру)  $\gamma$

$$\int_{\gamma} \exp(iz^2) dz = 0, \quad (\text{B.3})$$

дорівнює нулю<sup>5</sup> тому що в цьому випадку  $a \equiv b$  (початок і кінець путі інтегрування співпадають), а полюсів підінтегральна функція ніде не має. Зокрема, дорівнює нулю інтеграл по контуру сектора  $AOB$  (Рис. А.1):

$$\int_{OABO} e^{iz^2} dz = \int_{OA} e^{iz^2} + \int_{AB} e^{iz^2} + \int_{BO} e^{iz^2} = 0. \quad (\text{B.4})$$

Відрізок  $OA$  лежить на дійсній осі, тому у відповідності з (B.4) можна записати:

<sup>5</sup> У загальненням цієї теореми на випадок функції багатьох змінних  $f(z) \equiv f(z_1, z_2, z_3, \dots)$  є теорема Коши – Пуанкаре.

$$\int_{OA} e^{iz^2} dz = \int_0^R e^{ix^2} dx = - \int_{AB} e^{iz^2} dz - \int_{BO} e^{iz^2} dz. \quad (\text{B.5})$$

Комплексне параметричне зображення дуги  $AB$  можна записати в такому вигляді  $z = \operatorname{Re}^{i\varphi}$ ,  $0 \leq \varphi \leq \pi/4$ . Тому інтеграл по цій дузі має такий вигляд:

$$\int_{AB} e^{iz^2} dz = \int_0^{\pi/4} \exp[R^2 \exp(2i\varphi)] \operatorname{Re}^{i\varphi} d\varphi = iR \int_0^{\pi/4} e^{-R^2 \sin 2\varphi + i(R^2 \cos 2\varphi + \varphi)} d\varphi. \quad (\text{B.6})$$

Звідси випливає оцінка

$$\left| \int_{AB} e^{iz^2} dz \right| \leq R \int_0^{\pi/4} e^{-R^2 \sin 2\varphi} d\varphi < R \int_0^{+\infty} e^{-\frac{4R^2\varphi}{\pi}} d\varphi = \frac{\pi}{4R} \quad (\text{B.7})$$

(при виведенні (B.7) враховано, що  $\sin \theta > 2\theta/\pi$  в області  $0 < \theta < \pi/2$ ). Спрямовуючи тепер  $R \rightarrow \infty$ , одержуємо із (B.5)

$$\int_{AB} e^{iz^2} dz = 0, \quad \int_0^\infty \exp(ix^2) dx = - \int_{B0} e^{iz^2} dz = + \int_{B0} e^{iz^2} dz. \quad (\text{B.8})$$

Комплексне параметричне рівняння відрізка  $OB$  є

$$z = \exp\left(i \frac{\pi}{2}\right), \quad 0 \leq \rho \leq R. \quad (\text{B.9})$$

При цьому

$$\int_{OB} e^{iz^2} dz = \exp\left(i \frac{\pi}{2}\right) \int_0^R e^{-\rho^2} d\rho. \quad (\text{B.10})$$

Із (B.10) одержуємо

$$\lim_{R \rightarrow \infty} \int_{OB} e^{iz^2} dz \rightarrow \exp\left(i \frac{\pi}{2}\right) \int_0^{+\infty} e^{-\rho^2} d\rho = \frac{\sqrt{\pi}}{2} \exp\left(i \frac{\pi}{2}\right). \quad (\text{B.11})$$

Підставляючи (B.11) в (B.8), знаходимо:

$$\int_0^{+\infty} e^{ix^2} = \frac{\sqrt{\pi}}{2} \exp\left(i \frac{\pi}{2}\right) = \frac{1}{2} \sqrt{\frac{\pi}{2}} (1+i). \quad (\text{B.12})$$

Розділяючи в (B.12) дійсну і уявну частини, одержуємо:

$$\int_0^{+\infty} \cos(x^2) dx = \int_0^{+\infty} \sin(x^2) dx = \frac{1}{2} \sqrt{\frac{\pi}{2}}, \quad (\text{B.13})$$

Звідки (внаслідок парності підінтегральних функцій) випливають рівності

$$C_F = \int_{-\infty}^{+\infty} \cos(x^2) dx = \sqrt{\frac{\pi}{2}}, \quad S_F = \int_{-\infty}^{+\infty} \sin(x^2) dx = \sqrt{\frac{\pi}{2}}, \quad (\text{B.14})$$

що звуться *інтегралами Френеля*.

### Додаток Г. Пуассонівськи інтеграли.

Нагадаємо метод знаходження інтегралу Пуассона

$$I = \int_{-\infty}^{+\infty} e^{-Ax^2} dx, \text{ де } A \text{ — дійсна константа. Звичайно, для цього}$$

застосовується такий штучний прийом: спочатку розглядається квадрат від одновимірного інтеграла Пуассона:

$$\begin{aligned} I^2 &= \int_{-\infty}^{+\infty} e^{-Ax^2} dx \cdot \int_{-\infty}^{+\infty} e^{-Ay^2} dy = \int_{-\infty}^{+\infty} \int_{-\infty}^{+\infty} e^{-A(x^2+y^2)} dx dy = \int_0^{2\pi} \int_0^\infty e^{-A \cdot R^2} R dR d\varphi = \\ &= 2\pi \int_0^\infty e^{-A \cdot R^2} d\left(\frac{R^2}{2}\right) = \pi \int_0^\infty e^{-A \cdot \xi} \cdot d\xi = \frac{\pi}{A} \end{aligned} \quad (\Gamma.1)$$

і використовується перехід до циліндричної системи координат (робиться заміна змінних  $R^2 = \xi$ ). Звідси неважко знайти простий інтеграл Пуассона:

$$\int_{-\infty}^{+\infty} e^{-Ax^2} dx = \sqrt{\frac{\pi}{A}}. \quad (\Gamma.2)$$

Диференціючи  $n$  разів по  $A$  обидві сторони ( $\Gamma.2$ ) і користуючись парністю підінтегрального виразу можна знайти

$$\int_0^\infty x^{2n} e^{-x^2} dx = \frac{1 \cdot 3 \cdot 5 \dots (2n-1)}{2^{n/2}} \frac{\sqrt{\pi}}{2}, \quad (n = 0, 1, 2, 3, \dots). \quad (\Gamma.3)$$

Для випадку непарних ступенів коефіцієнта перед експонентою неважко отримати, що

$$\int_0^\infty x^n e^{-x^2} dx = \frac{1}{2} \left[ \left( \frac{n-1}{2} \right)! \right], \quad (n = 2m+1, \quad m = 0, 1, 2, 3, \dots) \quad (\Gamma.4)$$

Розглянемо тепер узагальнений інтеграл Пуассона

$$\int_{-\infty}^{+\infty} \exp[-C(x+i\gamma)^2] dx = \sqrt{\frac{\pi}{C}} \quad (\Gamma.5)$$

де константа  $C$  є комплексною  $C = A - iB$ , а  $\gamma$  - довільне комплексне число. Тут і нижче використовується властивість (Г.5) не змінюватись, якщо шлях інтегрування буде довільно зсунуто у комплексній площині. Можна показати, що інтеграл (Г.5) збігається при умові  $\operatorname{Re} C = A > 0$ .

Розглянемо частковий випадок:  $\gamma = -\frac{D}{C}$ , де константа  $D$  -

дійсна величина. Розкриваючи в (Г.5) квадрат

$$\int_{-\infty}^{+\infty} \exp\left[-(A-iB)\left(x^2 - 2ix\frac{D}{C} - \frac{D^2}{C^2}\right)\right] dx = \int_{-\infty}^{+\infty} \exp\left[-Cx^2 + 2ixD + \frac{D^2}{C}\right] dx = \sqrt{\frac{\pi}{C}}$$

і переносячи  $\exp\left[-D^2/C^2\right]$  в протилежний бік, знаходимо<sup>1)</sup>:

$$\begin{aligned} \int_{-\infty}^{+\infty} \exp\left[-Ax^2 + i(Bx^2 + 2Dx)\right] dx &= \\ &= \frac{\sqrt{\pi}}{\sqrt[4]{A^2 + B^2}} \exp\left[-\frac{A+iB}{A^2 + B^2} D^2 + \frac{i}{2} \operatorname{arctg}\left(\frac{B}{A}\right)\right] \end{aligned} \quad (\Gamma.4)$$

Тут  $A, B, D$  – дійсні коефіцієнти, причому  $A > 0$ . Надалі цей вираз ми будемо звати "**довгий інтеграл**". Він є типовим для задач, де фігурують гаусові розподіли.

<sup>1)</sup> И.С.Градштейн, И.М.Рыжик. Таблицы интегралов, сумм, рядов и произведений. М.,1971 (стр 499, 3.923).

*Додаток Д. Деякі означені інтеграли*

$$\int_0^{\infty} \frac{\sqrt{x} dx}{e^x - 1} = 2.31 \quad (\text{Д.1})$$

$$\int_0^{\infty} \frac{x dx}{e^x - 1} = \pi^2 / 6 \quad (\text{Д.2})$$

$$\int_0^{\infty} \frac{x^2 dx}{e^x - 1} = 2.45 \quad (\text{Д.3})$$

$$\int_0^{\infty} \frac{x^3 dx}{e^x - 1} = \pi^4 / 15 \quad (\text{Д.4})$$

$$\int_0^{\infty} \frac{x^4 dx}{e^x - 1} = 29.4 \quad (\text{Д.5})$$

$$I(\alpha) = \int_0^{\alpha} \frac{x^3 dx}{e^x - 1} = \begin{cases} 0.225, & \alpha = 1 \\ 1.18, & \alpha = 2 \\ 2.56, & \alpha = 3 \\ 4.91, & \alpha = 5 \\ 6.43, & \alpha = 10 \end{cases} \quad (\text{Д.6})$$

$$\int_0^{\infty} \frac{\cos \omega t}{\beta^2 + t^2} dt = \frac{\pi}{2} \exp\left(-\frac{\omega}{\beta}\right) \quad (\text{Д.7})$$

$$\int_0^{\infty} \frac{t \cdot \sin \omega t}{\beta^2 + t^2} dt = \frac{\pi}{2\beta} \exp\left(-\frac{\omega}{\beta}\right). \quad (\text{Д.8})$$

(дивись  $(\Gamma - 3.728)$ ).

### Додаток E. Розклад Фур'є.

Функція, що задовольняє умові

$$f(t+T) = f(t) \quad (\text{E.1})$$

називається **періодичною функцією**. Вона може бути представлена у вигляді розкладу

$$f(t) = \sum_{n=-\infty}^{\infty} f_n(\omega) \exp(i\omega t), \quad \left( \omega = \frac{2\pi}{T} \right), \quad (\text{E.2})$$

який називається **розкладом Фур'є**. Коефіцієнти цього ряду визначаються формулою:

$$f_n(\omega) = \frac{\omega}{2\pi} \int_{-\frac{T}{2}}^{+\frac{T}{2}} f(\tau) \exp(-in\omega\tau) d\tau, \quad n = 0, \pm 1, \pm 2, \dots \quad (\text{E.3})$$

Розклад в ряд Фур'є еквівалентний твердженню, що довільна періодична функція з періодом  $T = 2\pi/\omega$  може бути представлена у вигляді суперпозиції нескінченного числа доданків з періодами

$$T_1 = T, \quad T_2 = \frac{T}{2}, \dots, \quad T_n = \frac{T}{n}, \dots, \quad (n = 1, 2, 3, \dots) \quad (\text{E.4})$$

або (що те ж саме) з частотами:  $\omega, 2\omega, \dots, n\omega$ .

У граничному випадку  $T \rightarrow \infty$ , коли період необмежено зростає (при цьому інтервал між сусідніми дозволеними частотами  $\Delta\omega \rightarrow 0$ ), реалізується розклад в **інтеграл Фур'є**:

$$f(t) = \int_{-\infty}^{+\infty} F(\omega) e^{i\omega t} d\omega. \quad (\text{E.5.a})$$

**Фур'є-компонента** від  $f(t)$ , визначається формулою

$$F(\omega) = \frac{1}{2\pi} \int_{-\infty}^{+\infty} f(t) e^{-i\omega t} dt. \quad (\text{E.5.b})$$

За допомогою інтеграла Фур'є можна розкладати неперіодичні функції. Цей розклад можливий, якщо властивості функції  $f(t)$  забезпечують збіжність інтегралів (E.5). Звичайно у фізично реалізуємих процесах  $f(t \rightarrow \pm\infty) = 0$ , що забезпечує обмеженість функції фур'є-образу  $F(\omega)$ .

Числові коефіцієнти, що коштують перед інтегралами (E.5) визначені неоднозначно (однозначними є тільки їхній добуток рівне  $1/2\pi$ ). Тому часто використовується інша (симетрична) форма інтеграла Фур'є:

$$f(t) = \frac{1}{\sqrt{2\pi}} \int_{-\infty}^{\infty} F(\omega) \exp(i\omega t) d\omega, \quad (\text{E.6.a})$$

$$F(\omega) = \frac{1}{\sqrt{2\pi}} \int_{-\infty}^{\infty} f(t) \exp(-i\omega t) dt. \quad (\text{E.6.b})$$

Відзначимо, що навіть якщо  $f(t)$  речовинна функція, того відповідного фур'є – компонента  $F(\omega)$  в загальному випадку буде комплексною функцією, що має властивість

$$F^*(\omega) = F(-\omega). \quad (\text{E.7})$$

Формули (E.6) можна об'єднати у виді вираження

$$f(t) = \frac{1}{2\pi} \int_{-\infty}^{\infty} d\omega \int_{-\infty}^{\infty} dt f(\tau) \exp[i\omega(t - \tau)] \quad (\text{E.8})$$

називаного **подвійним інтегралом Фур'є**.

Фур'є-компоненті  $F(\omega)$ , іменовану також **комплексною амплітудою** можна записати у виді

$$F(\omega) = A(\omega) e^{i\varphi(\omega)}, \quad (\text{E.9})$$

де введений **модуль**  $A(\omega)$  і **фаза**  $\varphi(\omega)$  функції  $F(\omega)$ . Вони є речовинними функціями.

Розглянемо інтеграл від квадрата функції  $f(t)$ :

$$\int_{-\infty}^{\infty} (f(t))^2 dt = \frac{1}{\sqrt{2\pi}} \int_{-\infty}^{\infty} f(t) \left\{ \int_{-\infty}^{\infty} F(\omega) e^{i\omega t} d\omega \right\} dt = \frac{1}{\sqrt{2\pi}} \int_{-\infty}^{\infty} F(\omega) \left\{ \int_{-\infty}^{\infty} f(t) e^{i\omega t} dt \right\} d\omega \quad (\text{E.10})$$

По визначенню (E.6.6)

$$\frac{1}{\sqrt{2\pi}} \int_{-\infty}^{\infty} f(t) \exp(i\omega t) dt = F^*(\omega). \quad (\text{E.11})$$

З (E.10, 11) випливає рівність

$$\int_{-\infty}^{\infty} (f(t))^2 dt = \int_{-\infty}^{\infty} |F(\omega)|^2 d\omega, \quad (\text{E.12})$$

іменоване *співвідношенням Парсеваля*.

**Додаток Ж : Одиниці вимірів та фізичні константи**

**1. Одиниці вимірів**

Одиниця	Позначення	Одиниця	Позначення
Ампер	<i>A</i>	Радіан	<i>рад</i>
Ангстре- м.	$\text{\AA}$	Секунда	<i>сек</i>
Ват	<i>W</i>	Стерадіан	<i>стер</i>
Вольт	<i>V</i>	Електрон- вольт	<i>eV</i>
Гаус	<i>Gs</i>	Ерг	<i>ерг</i>
Герц	<i>Gц</i>	Ерстед	<i>E</i>
Грам	<i>г</i>		
Дина	<i>дин</i>		
Кулон	<i>C</i>		
Кюрі	<i>Kюрi</i>		
Максвел	<i>Mкс</i>		
Метр	<i>m</i>		
Хвилина	<i>xв</i>		
Ньютон	<i>N</i>		

**Десяtkові приставки до назв одиниць:**

Г – гіга ( $10^9$ )	м – мілі ( $10^{-3}$ )
М – мега ( $10^6$ )	мк – мікро ( $10^{-6}$ )
К – кіло ( $10^3$ )	

**2. Спiввiдношення мiж деякими одиницями.**

$1 \text{ \AA} = 10^{-8} \text{ см}$ $1 \text{ Ферми} = 10^{-13} \text{ см}$ $1 \text{ дж} = 10^7 \text{ ерг}$	$1 \text{ е} = 1,6 \cdot 10^{-12} \text{ ерг}$ $1 \text{ до} = 3 \cdot 10^9 \text{ СГСЕ}$ $1 \text{ ом} = \frac{1}{9 \cdot 10^{11}} \text{ СГСЕ}$	$1 \text{ А} = 3 \cdot 10^9 \text{ СГСЕ}$ $1 \text{ В} = 1/300 \text{ СГСЕ}$ $1 \text{ рiк} = 3,15 \cdot 10^7 \text{ сек}$
--	---	--

### 3. Головні фізичні константи

Швидкість світла у вакумі	$c = 2,998 \cdot 10^{10} \text{ см/сек}$
Гравітаційна постійна	$\gamma = 6,67 \cdot 10^{-8} \text{ см}^3/(\text{г сек}^2)$
Число Авагадро	$N_A = 6,02 \cdot 10^{23} \text{ моль}^{-1}$
Число Лошмідта	$n_0 = 2,69 \cdot 10^{19} \text{ см}^{-3}$
Універсальна газова постійна	$R=8,314 \text{ Дж/(град\cdot моль)}$
Стандартний об'єм газу	$V_0 = 22,42 \text{ л/моль}$
Постійна Больцмана	$k = 1,38 \cdot 10^{-16} \text{ ерг/град}$
Постійна Планка	$h = 1,054 \cdot 10^{-27} \text{ ерг\cdot с}$
Елементарний заряд	$e = 4,80 \cdot 10^{-10} \text{ СГСЕ}$
Питомий заряд електрона	$e/m = 5,273 \cdot 10^{17} \text{ СГСЕ/г}$
Число Фарадея	$F = 96520 \text{ К/г екв}$
Постійна Стефана-Больцмана	$\sigma = 5,67 \cdot 10^{-12} \text{ Вт}/(\text{см}^2 \cdot \text{град}^4)$
Постійна закону зсуву Віна	$b = \lambda_m T = 0,29 \text{ см}\cdot\text{град}$
Стала Рідберга	$R_\infty = \frac{m_e e^4}{2 h^3 c} = \begin{cases} 2.07 \cdot 10^{16} \text{ рад/сек} \\ 109737,31 \text{ см}^{-1} \end{cases}$

Перший борівський радіус	$r_1 = \frac{\hbar^2}{m_e e^2} = 0.529 \cdot 10^{-8} \text{ cm}$
Енергія зв'язку електрона в атомі водню	$E = \frac{m_e e^4}{2\hbar^2} = 13,59 \text{ eB}$
Комптонівська довжина хвилі	$\Lambda = \frac{\hbar}{mc} = \begin{cases} 3,86 \cdot 10^{-11} \text{ см (e)} \\ 2,10 \cdot 10^{-14} \text{ см (p)} \end{cases}$
Класичний радіус електрона	$r_e = \frac{e^2}{m_e c^2} = 2.82 \cdot 10^{-13} \text{ см}$
Перетин томсонівського розсіювання	$\sigma_T = \frac{8\pi}{3} r_e^2 = 6,65 \cdot 10^{-25} \text{ см}^2$
Стала тонкої структури	$\alpha = e^2 / \hbar c = 1/137$
Магнетон Бора	$\mu_B = \frac{e\hbar}{2m_e c} = 0,927 \cdot 10^{-20} \text{ erg/E}$
Ядерний магнетон	$\mu_n = \frac{e\hbar}{2m_p c} = 5,05 \cdot 10^{-24} \text{ erg/E}$
Одниця маси ( <i>a.o.m.</i> = 1/12 маси атома $^{12}\text{C}$ )	$1 \text{ a.o.m.} = \begin{cases} 1,660 \cdot 10^{-24} \text{ e} \\ 931,44 \text{ MeB} \end{cases}$

## ЛІТЕРАТУРА

1. М.М.Бредов, В.В.Румянцев, И.Н.Топтыгин. Классическая электродинамика. М.1985.
2. С.И.Баскаов. Электродинамика и распространение радиоволн. М.1992.
3. В.М.Галицкий, В.М.Ермаченко. Макроскопическая электродинамика. М.1988.
4. А.Н.Матвеев. Электродинамика. М.1980.
5. Ю.В.Новожилов, Ю.Я.Яппа. Электродинамика. М.1978.
6. В.И.Сугаков. Теоретическая физика. Электродинамика. Л.1974.
7. Л.П.Терлецкий, Ю.П.Рыбаков. Электродинамика. М.1990.
8. А.М.Федорченко Теоретическая физика. Классическая электродинамика. К.1988.
9. А.И.Алексеев. Сборник задач по классической электродинамике. М.1977
10. В.В.Батыгин, И.Н.Топтыгин. Сборник задач по электродинамике. М.1970.
11. Дж.Кронин, .Гринберг, В.Телегди. Сборник задач по физике с решениями. М.1971.
12. Д.М.Мазуренко, М.М.Альперин. Задачі і вправи з теоретичної фізики. К.1978.
13. Г.Корн, Т.Корн. Справочник по математике. М. 1970.
14. Э.Маделунг. Математический аппарат физики. М.1968.